

## Autoensamblaje en Tiempo Real de Construcciones Artificiales Visibles Estereomicroscópicamente en Muestras Incubadas de Productos de ARNm, Principalmente de Pfizer y Moderna: Un Estudio Longitudinal Exhaustivo

Young Mi Lee, MD <sup>1</sup>, Daniel Broudy, PhD <sup>2</sup>

<sup>1</sup> Médico en ejercicio, especialista en Obstetricia y Ginecología, Clínica para Mujeres Hanna, Doryeong-ro 7, Edificio KumSung, 2<sup>do</sup> Piso, Jeju, Jeju-do, 63098, República de Corea. Tel: +82-64-711-7717, email: [youngmil95@gmail.com](mailto:youngmil95@gmail.com) (ORCID: 0000-0002-1210-4726)

<sup>2</sup> Profesor de Lingüística Aplicada, Universidad Cristiana de Okinawa, Nishihara-cho, Okinawa 903-0207, Japón, email: [dbroudy@ocjc.ac.jp](mailto:dbroudy@ocjc.ac.jp) (ORCID: 0000-0003-2725-6914)

### Resumen

Aquí se publican, por primera vez y en un contexto revisado por pares, análisis sistemáticos de lesiones observables en tiempo real a nivel celular en receptores de los inyectables contra la COVID-19, considerados “seguros y eficaces”. La administración global de estos productos, a menudo obligatoria desde finales de 2020, desencadenó numerosos estudios de investigación independientes sobre las terapias génicas inyectables de ARN modificado, en particular las fabricadas por Pfizer y Moderna. El contenido de los inyectables contra la COVID-19 se examinó con un estereomicroscopio con aumentos de hasta 400X. Se cultivaron muestras cuidadosamente conservadas en diversos medios distintos para observar las relaciones de causa y efecto inmediatas y a largo plazo entre los inyectables y las células vivas, en condiciones cuidadosamente controladas. A partir de esta investigación, pueden extraerse inferencias razonables sobre las lesiones observadas en todo el mundo que han ocurrido desde que los inyectables fueron impuestos a miles de millones de personas. Además de la toxicidad celular, nuestros hallazgos revelan numerosas entidades artificiales autoensambladas visibles (del orden de  $3-4 \times 10^6$  por mililitro del inyectable), que varían en tamaño desde aproximadamente 1 hasta 100  $\mu\text{m}$ , o incluso más, y presentan diversas formas. Se observaron entidades animadas similares a gusanos, discos, cadenas, espirales, tubos y estructuras en ángulo recto que contenían otras entidades artificiales en su interior, entre otras. Todo esto supera con creces cualquier nivel esperado y aceptable de contaminación en los inyectables contra la COVID-19. Los estudios de incubación revelaron el autoensamblaje progresivo de numerosas estructuras artificiales. Con el transcurso del tiempo durante la incubación, estructuras simples unidimensionales y bidimensionales evolucionaron a lo largo de dos o tres semanas, adquiriendo formas y tamaños más complejos y transformándose en entidades tridimensionales visibles estereoscópicamente. Se asemejaban a filamentos, cintas y bandas de nanotubos de carbono, algunas con aspecto de membranas transparentes, delgadas y planas, y otras como espirales tridimensionales y cadenas de cuentas. Algunas de estas parecían aparecer y desaparecer con el tiempo. Nuestras observaciones sugieren la presencia de algún tipo de nanotecnología en los inyectables contra la COVID

*Palabras clave:* ARNm, ARN modificado, incubación de vacuna contra la COVID-19, examen estereomicroscópico, nanotecnología

## Introducción

En los inicios del impulso por someter a la población mundial al experimento global de “vacuna” contra la COVID-19, un pequeño número de médicos e investigadores independientes comenzaron a expresar su preocupación por la ineficacia observada, e incluso el impacto negativo, de los inyectables de ARN modificado (Beattie, 2021 ; Hughes, 2022 ; Santiago, 2022 ; Nyström y Hammarström, 2022 ). Además de las dudas planteadas sobre sus ingredientes, su supuesto mecanismo de defensa del organismo se centró en inducir la producción sérica de anticuerpos IgG neutralizantes en lugar de generar anticuerpos secretores más eficaces (IgA). Estos últimos, presentes en la mucosa respiratoria, siempre han constituido la principal línea de defensa natural contra las infecciones respiratorias víricas. Dada la posibilidad de que nuevas variantes del SARS-CoV-2 pudieran ser inducidas rápidamente por miles de millones de inyecciones promovidas por las autoridades de todo el mundo, un número creciente de muertes se atribuyó a cepas de SARS-CoV-2 y a secuelas graves (Lyons-Weiler, 2020 ; Vojdani & Kharrazian, 2020 ; Vojdani et al., 2021 ), lo que condujo a numerosas muertes en núcleos de población de todo el mundo (Beattie, 2021 ).

Los informes oficiales del Gobierno coreano, a fecha de diciembre de 2022, por ejemplo, mostraron aproximadamente 2600 muertes y más de 18 000 secuelas agudas derivadas de los inyectables contra la COVID-19. La contradicción entre las afirmaciones de eficacia y la evidencia material de daño es ineludible: Corea del Sur podía presumir de una de las tasas de vacunación más altas del mundo (un 88 % vacunado al menos 3 veces), mientras que, efectivamente, también exhibía la tasa de infección más alta (un 89 %) en abril de 2022, cuando la temporada de gripe y los catarros respiratorios están en su mínimo. Estos hechos, por sí solos, son indicios de que los inyectables no proporcionaron protección y no estaban previniendo la COVID-19. Sucedió lo contrario. Los inyectables no fueron ni seguros ni efectivos. Estas cifras, por sí solas, deberían motivar a médicos e investigadores a reconsiderar la máxima de que “correlación no implica causalidad”. En algunos casos, sí es así (Beattie, 2021 , 2024). Aquí mostramos correlaciones observables y en tiempo real entre causas y efectos en células vivas de seres humanos, a medida que reaccionan a la toxicidad de los inyectables contra la COVID-19. También mostramos evidencia microscópica de estructuras autoensambladas que aparecen en diversos medios en los que se incubó el fluido de los inyectables contra la COVID-19, particularmente los productos de Pfizer y Moderna, durante 12 meses o más.

A raíz del programa de vacunación masiva, ya en marzo de 2021 y durante los meses siguientes, han aparecido en pacientes aumentos significativos en el exceso de muertes por causas “desconocidas” y graves secuelas: coágulos sanguíneos, hemorragias inexplicables, daño (e insuficiencia) multiorgánico, picos repentinos (cardiotoxinas) en enfermedades cardíacas, cánceres de la sangre, incluidos leucemia y linfoma, una variedad de otros cánceres “turbo”, abortos espontáneos, y trastornos neurológicos y autoinmunes, por nombrar algunos (Nyström y Hammarström, 2022 ; Santiago & Oller, 2023 ; Perez et al., 2023 ; Mead et al., 2024a<sup>1</sup> ).

Estas observaciones despertaron nuestro interés por examinar el panorama más amplio, tanto en la sociedad como en el laboratorio, donde imágenes más nítidas de los contenidos inyectables podrían someterse a un análisis minucioso bajo el microscopio. Este informe de nuestros resultados contó con el apoyo de la investigación independiente de una cohorte conocida como Korea Veritas Doctors (KoVeDoc), con quienes compartimos inyectables fabricados por Pfizer, Moderna, AstraZeneca y Novavax. Todos estos productos se utilizaron ampliamente en Corea del Sur y parecieron causar diversos efectos negativos en la salud de los pacientes, tales como: etapas avanzadas de cáncer de mama agresivo, sangrado uterino disfuncional, aborto espontáneo, aumentos repentinos de enfermedades cardíacas (disnea y palpitaciones), neumotórax, múltiples enfermedades cutáneas y la aparición rápida y agravada de afecciones autoinmunes.

---

<sup>1</sup> Nota del editor: El artículo de Mead et al. (2024a) fue retirado poco después de su publicación en la revista *Cureus*. La Parte 1 (Mead et al., 2024b) de la respuesta, dividida en dos partes, a dicha retractación injustificada ya ha aparecido en *IJVTTPR*, y la Parte 2 se publicará próximamente (2024c).

Los estudios observacionales comenzaron el 10 de diciembre de 2021. El análisis preliminar de los contenidos reveló que los productos de Pfizer y Moderna eran sustancialmente diferentes de otros inyectables contra la COVID-19, como AstraZeneca y Novavax. Estas diferencias, que se analizarán en este informe, motivaron el trabajo inicial con los productos de Pfizer y Moderna. A medida que se preparaban los contenidos para su análisis y posterior incubación en diversos medios de cultivo, se consideró la búsqueda de químicos, protocolos y soluciones que pudieran servir como agentes desintoxicantes adecuados en el tratamiento de pacientes.

En aquel momento, doce meses parecían una duración adecuada para empezar a comprender más claramente los efectos a largo plazo de los productos tras ser inyectados en el cuerpo humano y expuestos a diversas condiciones ambientales, incluidos campos electromagnéticos y radiación ultravioleta.

Puesto que el secado de los fluidos inyectables contra la COVID-19, como se mostrará en la sección de Resultados, también produce una mayor variedad de cristales, el aparente proceso de autoensamblaje de entidades puede verse camuflado por ciertos cristales de formación natural, principalmente sales, por ejemplo. Como se discute más adelante, el secado de los materiales incubados puede introducir fácilmente un sesgo que, según nuestra hipótesis actual, puede haber llevado a algunos investigadores a afirmar precipitadamente que todas las entidades autoensamblables observadas, que emergen de la nanotecnología (imperceptible con muchos microscopios ordinarios), existen en los inyectables contra la COVID-19. Creemos que Campra y sus colegas fueron los primeros en discutir la presencia de esta nanotecnología en los inyectables contra la COVID-19 (2021a, 2021b; Spectroscopy & Campra, 2021). Posteriormente, Yanowitz continuó este trabajo (2022a, 2022b, 2023a, 2023b), como documentó parcialmente Hughes (2022), con 26 referencias a Campra et al. y 26 a los primeros trabajos de Yanowitz. Campra et al. emplearon métodos y equipos espectroscópicos mucho más potentes que revelaron lo que parecían ser entidades programables a nivel nanométrico. Más recientemente, Diblasi y Sangorrin (2024) han confirmado y ampliado los resultados de Campra et al., Yanowitz y otros autores citados por Hughes (2022). En vista de sus hallazgos, así como de los nuestros, que se presentan en detalle a continuación, podemos rechazar la hipótesis de que las entidades autoensamblables que se observarán en nuestra sección de Resultados consisten meramente en cristales de formación natural, principalmente sal o colesterol, como sugirieron Bigtree y Cole (2022).

## **Materiales y métodos**

Se utilizaron cincuenta y cuatro muestras en el estudio: 50 viales inyectables residuales (43 de Pfizer, 7 de Moderna) adquiridos inmediatamente después de su uso en la campaña de vacunación contra la COVID-19, y 4 viales inyectables nuevos sin abrir (2 de Pfizer, 1 de AstraZeneca, 1 de Novavax). Las observaciones iniciales se realizaron en productos de Pfizer y Moderna bajo un estereomicroscopio Olympus el mismo día en que los viales se utilizaron por primera vez. Los fluidos residuales en los viales se conservaron a  $-20^{\circ}\text{C}$  en un congelador de laboratorio para su estudio posterior. Posteriormente, tras la descongelación, las muestras residuales se colocaron en diversos medios de cultivo para su observación a largo plazo. El objetivo era observar cualquier cambio que pudiera ocurrir con el tiempo y que fuera observable al microscopio.

Se examinaron muestras de fluidos inyectables, así como especímenes de sangre y semen, bajo un estereomicroscopio provisto de una cámara de recuento Makler. Las condiciones de laboratorio se mantuvieron con un estereomicroscopio, una cabina de flujo laminar, una plantilla de calor y una luz ultravioleta, como se muestra en la Figura 1.

El estereomicroscopio es una herramienta altamente especializada para examinar especímenes tridimensionales y dinámicos, y también resulta útil para observar los resultados de microprocedimientos aplicados comúnmente en el contexto de protocolos de reproducción asistida, como la inyección intracitoplasmática de espermatozoides, la eclosión asistida o la biopsia de blastómeras, entre otros. La cámara de recuento Makler también está especializada para el recuento de espermatozoides en un espacio limitado, con el fin de evaluar la fertilidad masculina. Todos los procedimientos se llevaron a cabo.

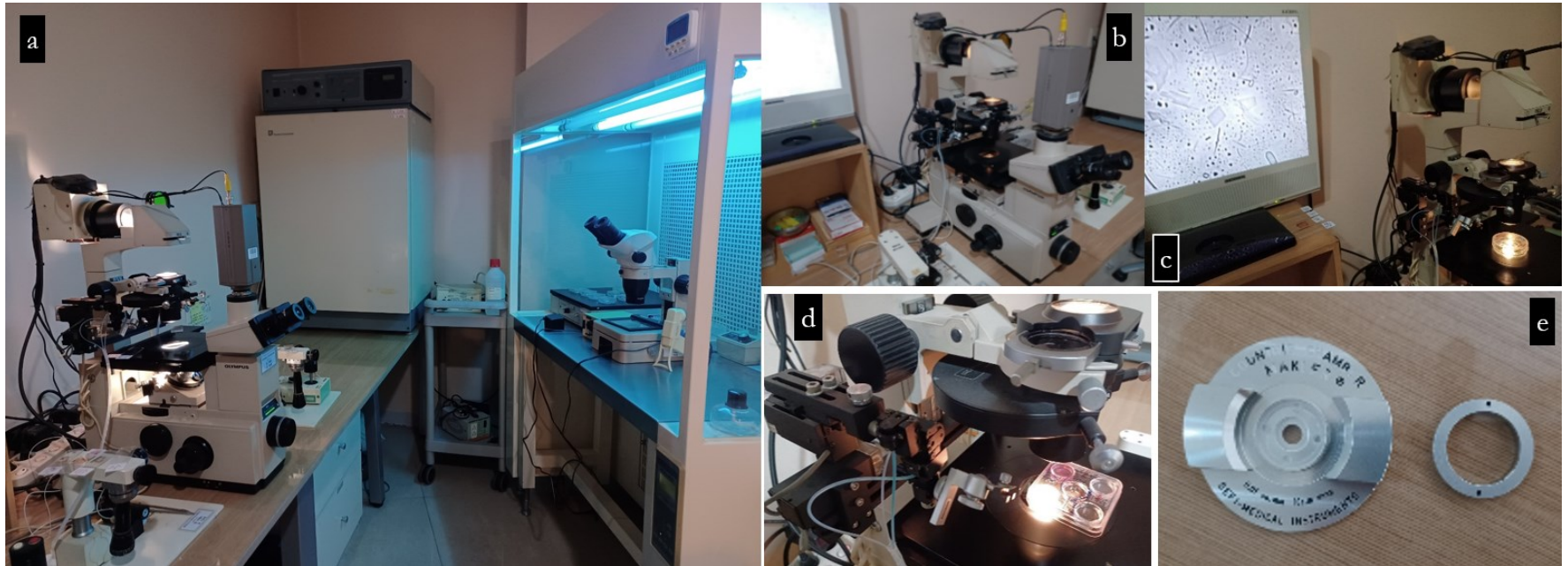


Figura 1. Equipamiento de laboratorio: (a) a la derecha, un estereomicroscopio, una cabina de flujo laminar con UV y plantilla térmica; (b) un estereomicroscopio conectado a un monitor LCD para su visualización; (c) Placa de Petri de Moderna en la platina del estereomicroscopio con monitorización de vídeo; (d) Placas de Petri de cinco pocillos en la platina; (e) Una cámara de recuento de Makler.

asépticamente en una cabina limpia en el laboratorio Hanna IVF [*In Vitro* Fertilización], registrado con el número 138 por el Ministerio de Salud y Bienestar de Corea como espacio estéril especializado. Debido a la preocupación surgida durante el período de estudio sobre una posible contaminación cruzada de las muestras, se suspendieron todos los procedimientos de tratamiento de fertilidad. Debido, asimismo, a la preocupación adicional sobre la naturaleza impredecible y el comportamiento potencial de los nanomateriales expuestos, el laboratorio se cerró permanentemente al acceso público.

## 1. EXAMEN MICROSCÓPICO DIRECTO DE INYECTABLES DE ARNm COVID-19

Se examinaron con el estereomicroscopio cincuenta y cuatro inyectables de COVID-19 (tanto residuales como nuevos), así como 1 vacuna contra la gripe y una muestra separada de solución salina fisiológica (ambos como controles). El análisis incluyó 45 viales de Pfizer (43 residuales, 2 nuevos, 11 números de lote) y 7 viales de Moderna (todos residuales con 5 números de lote), 1 nuevo de AstraZeneca y 1 nuevo de Novavax.

La cámara de Makler facilitó un método preciso para el recuento de materiales flotantes no identificados en los diversos productos.

Todos los viales se conservaron refrigerados a  $-20\text{ }^{\circ}\text{C}$  y se examinaron al microscopio tras su descongelación a temperatura ambiente (TA), buscando aproximar las condiciones ambientales de los lugares donde se administraron los inyectables: hospitales, clínicas y otras instituciones sanitarias. Debido a que el estudio involucró numerosos puntos de datos, resultó sumamente difícil controlar todas las muestras y los números de lote asociados, por lo que ofrecemos la Tabla 1, que contiene solo aquellos que fueron rastreados y pudieron ser confirmados.

Tabla 1  
Números de lote de los inyectables contra la COVID-19 que fueron estudiados

Inyectable contra la COVID-19	Pfizer (P1) para adultos	Pfizer (P2) para niños	Moderna (M)	AstraZeneca (AZ)	Novavax (NV)	Jeringa precargada de Vaxigriptetra para la gripe	Cloruro de sodio al 0,9 por ciento en solución (solución salina fisiológica)
Número de lote	FT1940	FP8290	2100653	CTMAV578	ND022200 2	V3H13	Jeil † LOTE 01619098
	FL4209		2100654				Huons BA1096
	FM3092		2100681				Huons BA1065
	FN5430		2100683				Daehan † LOTE 05W9AF3
	FK0592						
	FT7280 para refuerzo (P4)						

† Se utilizó solución salina fisiológica (Jeil & Daehan) como diluyente para Pfizer en una proporción de 1:6. No se requirieron diluciones para otros inyectables aquí listados.

## 2. BSANGRE Y SEMEN REACCIONES

También se examinaron muestras de sangre y semen para determinar su exposición y posibles reacciones a los cuatro inyectables contra la COVID-19, utilizando la vacuna antigripal y la solución salina fisiológica (cloruro de sodio al 0,9%) como controles.

Para descartar sesgos y una posible confusión con sangre potencialmente contaminada procedente del contenido inyectable, se recolectó una muestra de sangre total de un participante no vacunado y se preparó plasma a partir de una capa sobrenadante mediante sedimentación natural durante aproximadamente 3 horas a temperatura ambiente, a fin de evitar cualquier daño mecánico derivado de la centrifugación. En aras de preservar los mecanismos naturales de coagulación y evitar intervenciones bioquímicas inesperadas, y por la pureza de las muestras (sangre o plasma), este procedimiento no utilizó contenedores recubiertos con EDTA.

Se prepararon ocho portaobjetos de vidrio separados para observar cómo los inyectables interactuaban con las muestras de sangre. Cada uno de los primeros cuatro portaobjetos contenía una gota de sangre total y una microgota de cada inyectable. Las gotas se colocaron de tal manera que la interacción pudiera lograrse y observarse fácilmente mediante el uso de cubreobjetos, que permitieron la mezcla progresiva de las muestras. Posteriormente, se trataron cuatro muestras de plasma para su observación de la misma manera, con el fin de comprender las interacciones de los materiales inyectables en diversos medios: plasma sanguíneo de personas no inyectadas, sangre total de dichas personas, muestras de semen de hombres inyectados y no inyectados, y varios otros medios líquidos a lo largo del tiempo. La documentación digital de los cambios en los fluidos corporales y las células vivas se llevó a cabo mediante grabaciones de vídeo repetidas a intervalos regulares de 5-10 minutos, 30 minutos, 1 hora, 2 horas o más. Para los estudios que involucran solo los materiales inyectables incubados en varios fluidos, las grabaciones variaron desde intervalos de días hasta semanas y meses, como se informa en nuestra sección de Resultados.

Como representantes ideales y fácilmente interpretables de células vivas, a través de su motilidad reconocible incluso durante estudios de cultivo a corto plazo, las muestras de semen proporcionan una base excelente para examinar el impacto progresivo de la citotoxicidad a lo largo del tiempo. Con respecto a las cuatro muestras de semen que examinamos en detalle, tres muestras procedían de participantes vacunados que habían recibido 2 o 3 inyecciones contra la COVID-19, y que posteriormente informaron de problemas de fertilidad y dieron su consentimiento para utilizar sus muestras de semen recolectadas con anterioridad para nuestros propósitos experimentales. La muestra restante procedía de una persona que no había recibido ninguna inyección contra la COVID-19. En el momento en que se recolectaron inicialmente las muestras de semen, ninguno de los donantes "vacunados" había notificado ningún "efecto secundario" negativo de las inyecciones contra la COVID-19 que habían recibido. Antes del estudio experimental, todas las muestras de semen se clasificaron como normales, de acuerdo con los criterios de la Organización Mundial de la Salud en cuanto al recuento, la morfología y la motilidad de los espermatozoides (WHO, 2021). De manera significativa, la muestra de control del individuo "no vacunado" era de excelente calidad. El donante era relativamente joven, aún en la veintena, y no había estado expuesto a los efectos tóxicos que los otros tres donantes podrían haber experimentado por haber sido inyectados con una "vacuna" contra la COVID-19. Entre los fluidos suplementarios y otros materiales conocidos o potencialmente tóxicos que estudiamos en relación con la motilidad de las muestras de esperma, se incluyeron soju (licor destilado coreano, 20 proof), vino tinto, cerveza y agua de sílice. Adicionalmente, al añadirlos a la solución salina fisiológica (como control), examinamos el impacto de la vitamina C, la mica y los medios de incubación de extractos cutáneos tomados de un receptor vacunado. Preveíamos que el grado de citotoxicidad de cualquiera de los medios examinados se manifestaría en la motilidad de los espermatozoides de los diversos donan-

### 3. INCUBACIÓN ESTUDIO

Además de lo anterior, se aplicaron múltiples metodologías para incubar los componentes de los diversos inyectables. Este aspecto de la incubación en el estudio fue motivado por el interés en observar y extraer inferencias razonables con respecto a los efectos a largo plazo de los productos contra la COVID-19, inyectados en 13 400 millones de dosis a 5130 millones de personas distintas hasta el 8 de abril de 2024.

(Tecnología Farmacéutica, 2024). Una muestra diminuta (0,03 ml) de cada producto inyectable (Pfizer 1, 2 y 4, Moderna, AstraZeneca y Novavax) se añadió a solución salina fisiológica, agua destilada estéril y solución de Hartmann, contenidos individualmente en una placa de Petri separada (ya fuera una placa de Petri de 1,2 ml para cultivo de preembriones, una placa de Petri de 5 pocillos o una placa de Petri de 8 ml) a temperatura ambiente (15~25 grados Celsius, ajustado según los cambios estacionales) sin ningún material añadido especial. La Figura 2 muestra tres tipos de placas de Petri y un esquema de cada una. Gracias a la forma en que cada placa se cubrió y mantuvo en condiciones relativamente estériles, la posibilidad de contaminación externa fue mínima. A lo largo de todos los estudios de incubación realizados en paralelo, hay pruebas sólidas de que ninguna de las placas de Petri se contaminó con bacterias externas ni esporas de hongos. Sin embargo, con el transcurso del tiempo se pudieron observar entidades ajenas, como se sugiere en la vista lateral de la ilustración dibujada a mano de una placa de Petri en la Figura 2. Se observó el desarrollo de entidades de una (1D) a tres (3D) dimensiones en el fondo plano de la placa, que se transformaban con el tiempo en formas tridimensionales complejas que parecían animadas o, al menos, capaces de flotar a través del medio fluido, tal y como se sugiere en el extremo derecho de la ilustración dibujada a mano en la Figura 2.

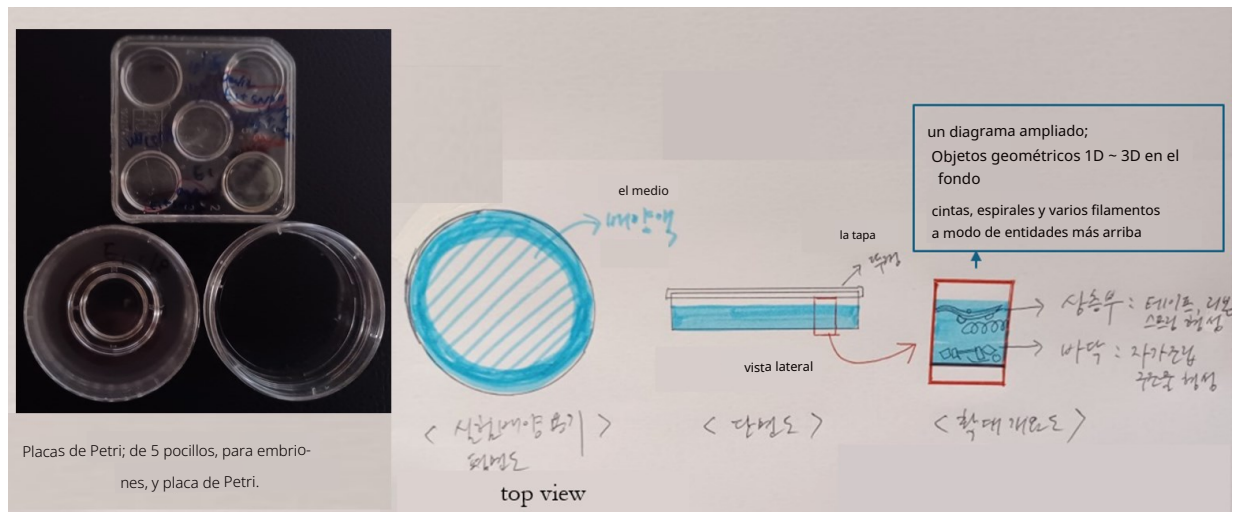


Figura 2. Varias placas de Petri con esquemas y anotaciones dibujados a mano en coreano e inglés para ilustrar la configuración y la cobertura de cultivos incubados a lo largo del tiempo: a la izquierda se muestran placas de Petri vistas desde arriba. Luego, leyendo de izquierda a derecha, la vista superior se contrasta con una vista lateral que muestra el fluido interior cubierto con una tapa transparente. Y en el extremo derecho, una vista lateral ampliada representa objetos geométricos de 1 a 3 dimensiones y estructuras filamentosas flotantes, así como entidades geométricas tridimensionales en el fondo plano de la placa, mientras que cintas, espirales y objetos filamentosos aparecen más arriba, nadando o flotando en el medio fluido.

Tres productos de Pfizer —designados aquí como P1 para adultos, P2 para niños y P4 como refuerzo—, así como el inyectable Moderna COVID-19, fueron incubados en diversas soluciones con ciertos productos químicos y cristales añadidos, con el fin de observar sus posibles efectos terapéuticos o perjudiciales. Las soluciones químicas utilizadas consistieron en dióxido de cloro ( $\text{ClO}_2$ ) altamente tóxico, hipoclorito de calcio ( $\text{Ca(OCl)}_2$ ) y peróxido de hidrógeno ( $\text{H}_2\text{O}_2$ ), que se examinaron cuidadosamente en condiciones controladas y dependientes de la dosis, es decir, teniendo muy en cuenta las proporciones de los componentes potencialmente terapéuticos o perjudiciales añadidos a cada solución.

Las soluciones que contenían cristales añadidos incluían: (1) varias marcas de plata y oro coloidal, mica (un complejo mineral coreano), (2) EDTA (ácido etilendiaminotetraacético, un quelante que se adhiere fácilmente al hierro y al calcio, que es un ácido aminopolicarboxílico con la fórmula  $[CH_2N_2]_2$ ), (3) agua de sílice y (4) bicarbonato de sodio.

También se estudiaron las reacciones del plasma sanguíneo con muestras separadas obtenidas de dos personas no vacunadas. Cada muestra consistió en el sobrenadante de la sangre total de la persona, separado mediante sedimentación natural. La muestra de sangre se dejó reposar durante aproximadamente 3 horas en un recipiente para obtener el plasma, una vez que la mayoría de las células sanguíneas se habían acumulado en la parte inferior del recipiente. Posteriormente, cada una de las dos muestras de plasma se incubó con pequeñas cantidades de los inyectables de Pfizer y Moderna. Dado que el suministro de sangre de cada persona era limitado tras la preparación de una o dos muestras de plasma, se añadió agua destilada o solución salina fisiológica para mantener su liquidez.

Todos los medios se reponían semanalmente, o cuando era necesario, para mantener una consistencia suficiente del líquido y evitar la evaporación total, que produce una mayor cristalización. Inferimos, a partir de la experiencia previa con cristales naturales en diversos medios biológicos, que el secado de los fluidos camuflaría cualquier estructura real que surgiera de los nanomateriales invisibles contenidos en ellos. Con esta idea en mente, diseñamos nuestro enfoque para poder desentrañar cualquier nanotecnología autoensamblable en los inyectables de COVID-19 mediante una microscopía más intensiva y una metodología científica de laboratorio más rigurosa que la aplicada hasta el momento. Ahora suponemos, basándonos en muchas horas de observación de muestras de los inyectables, que el aumento de la cristalización salina en cualquier medio por secado también tendería a obstaculizar el autoensamblaje de cualquier nanoestructura invisible que pudieran contener los inyectables. A partir de nuestros resultados (véase más adelante), parece claro que existen estructuras autoensamblables que se originan como nanomateriales invisibles en los productos fluidos incubados en diversas soluciones. Tendremos más que añadir sobre cómo esas estructuras se hacen visibles a través del autoensamblaje observable, ya que los fluidos inyectables incubados para COVID-19 —especialmente los productos de Pfizer y Moderna— fueron observados a lo largo del tiempo hasta un año. Se realizaron exámenes periódicos con el estereomicroscopio y se guardaron los registros de las observaciones en formato digital para un análisis posterior más detallado, intensivo y re-

#### 4. HEAT, EMF, 5G, AND UV LIGHT STUDY

##### *a) Calor*

Se añadieron muestras de Pfizer y Moderna a distintas placas de Petri con solución salina fisiológica y se colocaron sobre una plantilla de calor ajustada a la temperatura corporal normal, 36.5°Celsius, durante 48 horas. Se llevó a cabo un examen microscópico antes y después de la exposición al calor.

##### *b) Cargador inalámbrico con teléfono móvil*

Para este estudio se utilizaron muestras de Pfizer y Moderna en soluciones separadas de solución salina fisiológica o agua destilada, con un tiempo de incubación de aproximadamente 101 días para Pfizer y 36 días para Moderna. Las placas de Petri se colocaron sobre un teléfono móvil situado en un cargador inalámbrico y se configuraron en modo de transmisión 5G durante 1~2 horas. Las mediciones del campo electromagnético (CEM) se realizaron mediante un dispositivo de medición trifásico (Figura 3) y se obtuvieron valores de 300 v/m, con un valor de 0 en el campo H sobre el cargador inalámbrico. La temperatura osciló entre 15 y 20 grados Celsius.

### c) Exposición a un disco duro externo

Se utilizaron las mismas placas de Petri con muestras de Pfizer (día 101) y Moderna (día 36) incubadas en solución salina fisiológica o agua destilada, y se colocaron sobre un disco duro externo durante 2 horas para evaluar los posibles efectos de los CEM. El disco duro externo se conectó a un PC y se activó al realizar diversas tareas de gestión de archivos. Las mediciones tomadas en la superficie arrojaron valores de aproximadamente 30 v/m y 4  $\mu$ T en el campo magnético del disco duro. La temperatura osciló entre 23 °C y 25 °C.

### d) Estudio con luz UV

Las muestras se colocaron en placas de Petri separadas y se expusieron a luz ultravioleta durante la noche. Antes y después de cada experimento, se realizaron exámenes microscópicos y se registraron imágenes de vídeo, que se guardaron en una unidad de almacenamiento para su posterior consulta y análisis detallado.

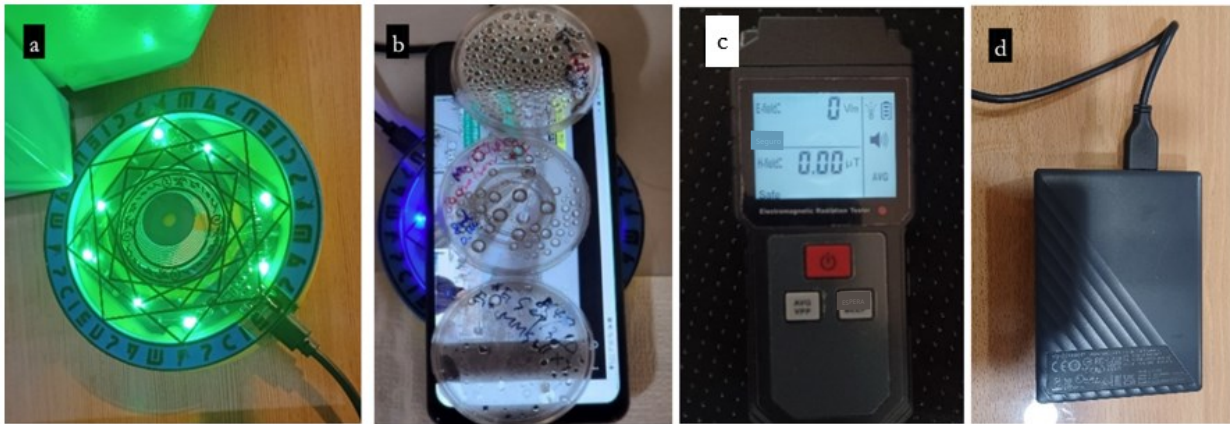


Figura 3. Equipo de campo electromagnético (CEM) utilizado: (a) un cargador inalámbrico; (b) múltiples placas de Petri colocadas sobre el teléfono móvil; (c) el dispositivo de medición trifásico; y (d) el disco duro externo para una exposición adicional.

## 5. BIO-CHEMICAL ANALYSIS OF INJECTABLE CULTURE MEDIA

Para aislar y comprender indirectamente los componentes inyectables, se realizaron pruebas de cribado bioquímico con una tira reactiva de orina (Abbot, UroCro4, U040H012A). Para evitar una posible contaminación de los medios de cultivo, cada tira reactiva se expuso a 1 microgota de cada medio inyectable. El cambio de color de cada muestra se interpretó mediante un colorímetro estándar.

## 6. RECYCLING PATTERN

Durante el período inicial de incubación, se colocaron extractos de piel (una variedad de Morgellons) de un sujeto inyectado en solución salina fisiológica. El donante de los extractos fue un paciente que sufría los efectos secundarios de una crisis paralítica sufrida pocos días después de la inyección del producto experimental de ARNm. Sus muestras del inyectable de Moderna se anonimizaron y codificaron como Extracto 1 (E1). Durante el examen inicial del extracto de piel, aparecieron partículas circundantes que parecían exhibir una relación simbiótica, según la observación directa al estereomicroscopio. Tras un mes de incubación de E1, se observaron suficientes partículas con forma de semilla, de menos de 1  $\mu$ m en su dimensión máxima y suficientemente desarrolladas en tamaño, flotando y moviéndose alrededor de la porción principal del extracto de piel en la solución salina de la placa de Petri. Las partículas se recolectaron cuidadosamente y

Se incubaron en diferentes placas de Petri con solución salina fisiológica durante aproximadamente 1 año, o algo más. Inicialmente, no se prestó atención al examen periódico al microscopio de los cambios en estas partículas a lo largo del tiempo, ya que el investigador simplemente olvidó realizar las grabaciones. Sin embargo, la incubación de los extractos de piel se mantuvo en solución salina fisiológica. Después del día 366, sin embargo, el investigador recordó este aspecto de los estudios en curso y, a partir de entonces, se examinaron, registraron y conservaron imágenes de alta resolución para un análisis detallado posterior.

## Resultados

### 1. DIRECCIÓN MICROSCÓPICA EXAMINACIÓN

#### *Inyectables*

Con respecto a la solución salina fisiológica como referencia de control, a un aumento de 400X, no se observaron materiales flotantes anormales (Figura 4a), pero en 4 viales de vacuna antigripal se observaron 2-3 partículas flotantes con el mismo aumento (Figura 4b); asimismo, 1 vial nuevo de AstraZeneca y 1 vial nuevo de Novavax mostraron 1-2 partículas flotantes en el rango de 1-3  $\mu\text{m}$  con el mismo aumento (Figura 4c).



Figura 4. (a) Control de solución salina fisiológica comparado con (b) vacuna antigripal y (c) solución inyectable de AstraZeneca a 400 aumentos.

En cambio, todos los viales, tanto residuales como nuevos, de los inyectables de Pfizer (incluidos dos viales nuevos, con 11 números de lote diferentes) revelaron numerosas entidades flotantes de formas variadas no identificadas, con dimensiones de aproximadamente 2-100  $\mu\text{m}$ . Estas partículas de libre movimiento se contaron algorítmicamente, estimándose una concentración de  $3-4 \times 10^6$  tales entidades por mililitro. De esas entidades, aproximadamente el 30% presentaba forma de gusano; además, también se observaron varillas, discos y mezclas cristalinas. No obstante, las diversas muestras mostraron diferencias entre viales tanto en las formas predominantes como en la densidad de estas (Figura 5a, parte izquierda). Cuando las muestras de Pfizer se incubaron a temperatura corporal hasta 2 días, mostraron un mayor desarrollo y parecieron activarse, como si respondieran a una orden de transformarse en otras formas. Aparecieron pares de acoplamiento adicionales con forma de gusano, así como discos estratificados flotantes, esferas y objetos alargados con forma de tubo (Figura 5a, véase la parte derecha, D1 y D2). En comparación con la muestra de Pfizer, los 7 viales de Moderna contenían un mayor número de partículas y también más estructuras artificiales en movimiento: discos, espirales, cadenas de cuentas y agrupaciones de espirales con forma de candelabro (Figura 5b, mitad izquierda). Cuando se repitió el proceso de descongelación y congelación, se observó un incremento de materiales y entidades flotantes no identificados que parecían haberse activado notablemente (véase la Figura 5b, marco superior, que muestra los cambios tras un ciclo repetido de congelación y descongelación). Al examinar el nuevo vial original del concentrado de Pfizer con el estereomicroscopio, solo se observaron unas pocas entidades móviles con forma de gusano o unas pocas partículas pequeñas, pero, en cambio, al diluirlo en una proporción de 1:6 (0,3 ml : 1,8 ml) con solución salina fisiológica, siguiendo la práctica recomendada para la inyección en un receptor humano, el

contenido pareció despertarse, cobrar vida y activarse, revelando una profusión de diversas formas: varillas, estructuras en forma de llave y otras formaciones, en pocos minutos. Estas nuevas entidades no se asemejaban a ninguna entidad orgánica conocida, natural o identificable (Figura 5b: nuevo Pfizer).

Todas las muestras secas de vacunas contra la COVID-19 se estudiaron bajo el estereomicroscopio. Los contenidos se presentaron como diversas formas geométricas en las muestras de Pfizer y Moderna, mientras que Moderna exhibió patrones geométricos irregulares más grandes. En contraste, AstraZeneca mostró unos pocos discos pequeños de varios tamaños, mientras que Novavax mostró notablemente menos entidades de material oscuro y una menor formación de cristales (Figura 5b, véase el lado derecho). El hecho de que la descongelación, recongelación y posterior descongelación produjeran tales cambios podría mostrar, al menos, una de las razones por las que los fabricantes instan a los usuarios a mantener los inyectables a temperaturas de congelación extremas ( $-70^{\circ}$  Celsius con Pfizer).

## 2. B SANGRE Y SEMEN REACCIONES A LOS INYECTABLES

Se realizaron experimentos para evaluar las reacciones de la sangre y el semen en condiciones controladas y observadas con precisión. Utilizamos solución salina fisiológica y la vacuna antigripal —VaxigripTetra en particular— para comparar con los inyectables, en un diseño de control doble y tratamiento múltiple. Los inyectables (Pfizer, Moderna, AstraZeneca y Novavax) constituyeron los distintos tratamientos. Uno de nuestros principales objetivos fue evaluar la citotoxicidad de los fluidos de COVID-19 al entrar en contacto directo con células vivas.

Para lograr este objetivo, se colocó cuidadosamente la microgota de COVID-19 en el portaobjetos de vidrio, donde podría entrar en contacto con una gota de plasma o sangre total, a fin de registrar las interacciones a lo largo del tiempo. Se colocó una sola gota de sangre total, o plasma, en la porción izquierda del portaobjetos, mientras que se colocó una sola microgota del inyectable en el lado derecho. Mediante la presión del cubreobjetos, los fluidos confluían en el centro del portaobjetos, donde cualquier interacción entre ellos podría ser observada y registrada. El estereomicroscopio ofreció una excelente visualización del movimiento y la mezcla a intervalos regulares de 5~10 minutos, 30 minutos, 1 hora, 2 horas y, posteriormente. Todas las respuestas a las interacciones se registraron en una serie cronológica fechada y con marca de tiempo.

Como se ha indicado previamente, se recogió sangre total de una vena de un participante no vacunado, y se preparó plasma mediante sedimentación natural. Los inyectables contra la COVID-19, en particular Novavax, mostraron la interacción más significativa: efectos rápidos y tóxicos en las células sanguíneas. Otros inyectables mostraron una toxicidad relativamente más lenta, pero efectos perjudiciales similares también aparecieron en los glóbulos rojos, los glóbulos blancos y las plaquetas (Figura 6 y Figura 7). En las Tablas 2 y 3 se comparan los diversos efectos negativos por gravedad a lo largo del tiempo y entre las diferentes muestras interactuantes.

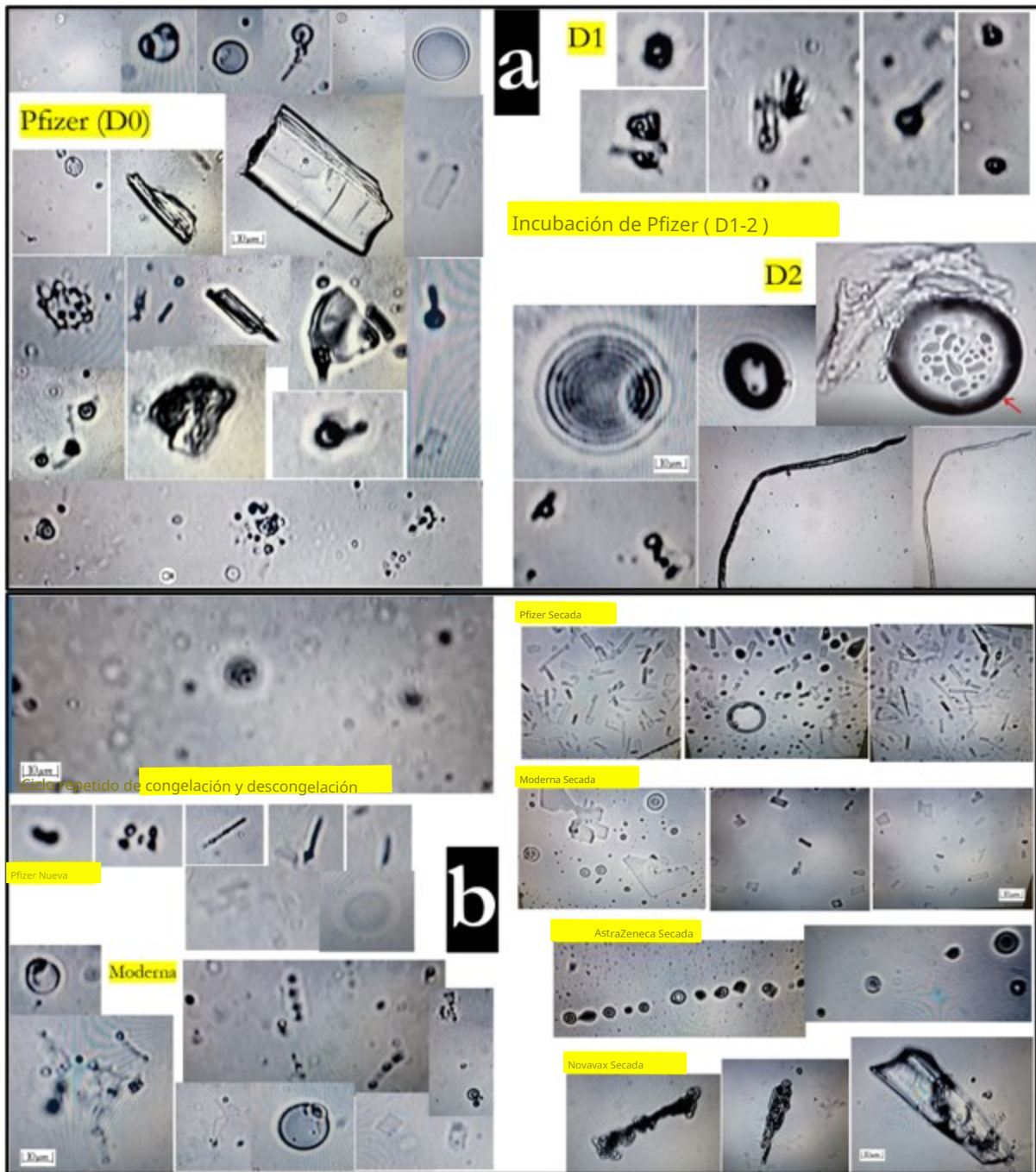


Figura 5. Hallazgos microscópicos directos observados en dos dimensiones con un aumento de 400X: (a) Restos y nuevos inyectables de Pfizer, observados directamente y tras la incubación durante 1-2 días. (b) Moderna y 4 inyectables secos contra la COVID-19 (Pfizer, Moderna, AstraZeneca y Novavax).

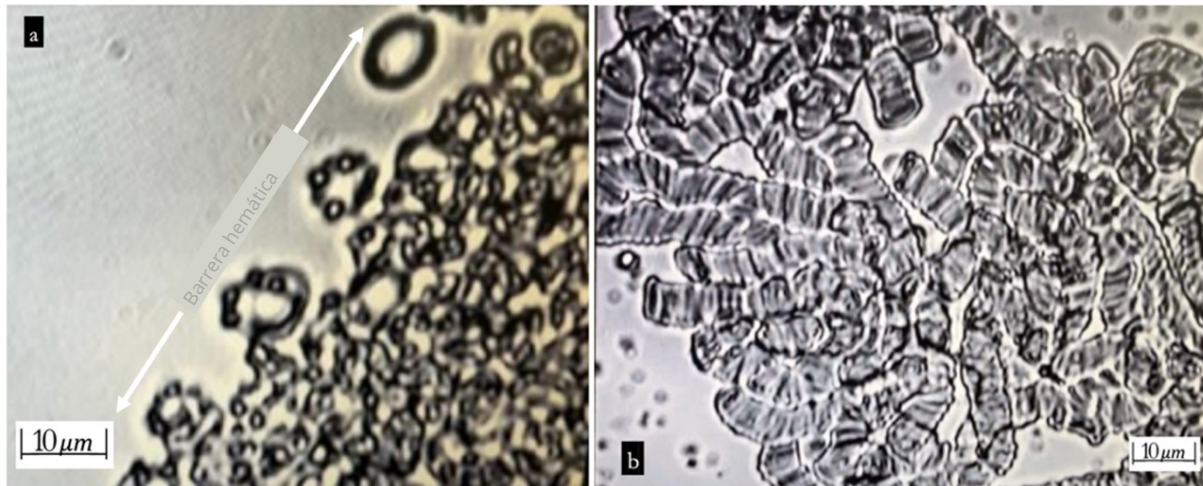


Figura 6. Interacciones observadas para sangre total (a) / plasma (b) con Novavax a 400X de aumento: (a) En el plazo de 1 hora, las células sanguíneas formaron una barrera prominente contra el contenido de la “vacuna”. (b) Después de 30 minutos, aparecieron agregados severos de eritrocitos formando pilas de rouleaux en la muestra de plasma.

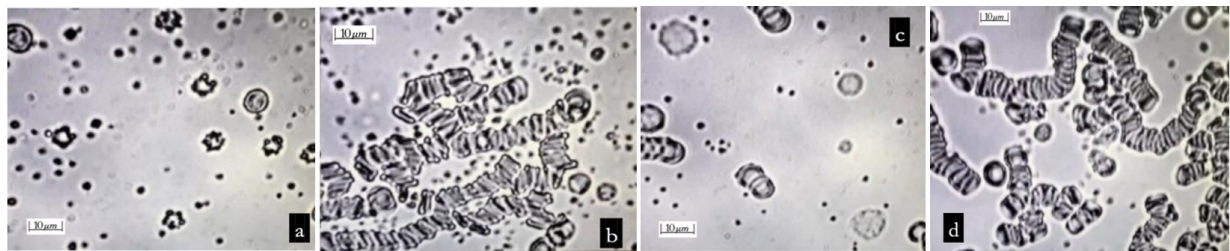


Figura 7. Reacciones del plasma tras dos horas con cuatro inyectables para la COVID-19: Pfizer, Moderna, Novavax y AstraZeneca: (a) Pfizer, mostrando colapso celular (picnosis) de leucocitos y plaquetas dañadas; (b) Moderna, con pilas de eritrocitos (rouleaux); (c) Novavax, con el núcleo de los leucocitos desintegrándose (cariorrexis), agregaciones plaquetarias anormales y algunos rouleaux de eritrocitos; y (d) AstraZeneca, con formación prominente de rouleaux de eritrocitos.

Fue notable el comportamiento de cada tipo de célula sanguínea, movilizándose como en una batalla en primera línea contra cada uno de los inyectables: glóbulos rojos contra Pfizer y AstraZeneca, glóbulos blancos contra Moderna, y plaquetas contra Novavax. A pesar de su comportamiento observado, estos fenómenos específicos de cada inyectable podrían estar relacionados con su fisiopatología sanguínea directa característica: estasis del flujo sanguíneo y la consiguiente hipoxemia (fatiga) por el patrón Rouleaux, supresión inmunitaria por daño a los glóbulos blancos, y formaciones de coágulos sanguíneos (trombosis) o tendencias hemorrágicas por daño o agregación plaquetaria.

Se realizaron estudios de semen con los mismos métodos controlados empleados en los estudios de sangre. Se examinaron muestras de tres donantes “vacunados” contra la COVID-19 y de un donante “no vacunado”, como en los estudios de sangre. Los resultados se resumen en la Tabla 4.

Tabla 2  
**Reacción de la sangre total a los diversos inyectables contra la COVID-19 listados**

	Inicialmente	Después de 1 hora
<b>Pfizer</b>	Glóbulos rojos en primera línea contra la vacuna Glóbulos blancos, algunos dañados y otros no	Glóbulos rojos, aún en primera línea Glóbulos blancos dañados levemente Plaquetas dañadas moderadamente
<b>Moderna</b>	Glóbulos blancos en primera línea	Glóbulos rojos en primera línea Glóbulos blancos colapsados en el citoplasma Plaquetas agregándose levemente
<b>AstraZeneca</b>	Glóbulos rojos en primera línea Diseminándose a la sangre (bien entremezclados entre sí)	Bien mezclado, comenzando a formar fibrina
<b>Novavax</b>	Plaquetas en primera línea de respuesta	Frontera claramente establecida entre la "vacuna" y la sangre Retracción de los glóbulos rojos

Tabla 3  
**Reacción del plasma a las diversas vacunas contra la COVID-19.**

	Inicialmente	Después de 30 minutos	Después de 2 horas
<b>Pfizer</b>	Glóbulos rojos en primera línea	Glóbulos rojos aún en primera línea	Glóbulos blancos con picnosis Plaquetas dañadas Glóbulos rojos formando agregados en pilas de monedas en grado leve
<b>Moderna</b>	Agregación plaquetaria Glóbulos rojos formándose agregados en pilas de monedas en grado leve	Glóbulos blancos dañados Agregación plaquetaria	Glóbulos rojos formando agregados en pilas de monedas en grado moderado Agregación plaquetaria
<b>AstraZeneca</b>	Glóbulos rojos formando agregados en pilas de monedas en grado moderado Agregación plaquetaria	Glóbulos rojos formando agregados en pilas de monedas en grado severo Formación similar a la fibrina	Glóbulos rojos formando agregados en pilas de monedas en grado moderado
<b>Novavax</b>	Plaquetas y glóbulos blancos en primera línea de respuesta Glóbulos rojos formando agregados en pilas de monedas en grado severo	Plaquetas en primera línea de respuesta Glóbulos rojos formando agregados en pilas de monedas en grado muy severo	Glóbulos blancos mostrando una cariorrexis notable y Glóbulos rojos dañados y formando agregados en pilas de monedas en grado severo

Tabla 4  
**Respuesta del semen a los inyectables contra la COVID-19 medida por el porcentaje (%) de motilidad**

	Pfizer (P1, 2 y 4)				Moderna			AstraZeneca			Novavax			Vacuna antigripal Control			Solución salina fisiológica Control			
	10m	30m	1h	2~3h<	10m	30m	1h<	10m	30m	1h<	10m	30m	1h	10m	30m	1h<	10m	30m	1h<	
<b>Semen 1 de un hombre de 47 años</b>	10%	5%	1%	0%	10%	1%	0.1%	20%	1%	0%	5%	1%	0%	70%	60%	50%	70%	70%	70%	
<b>Semen 2 de un hombre de 44 años</b>	P2 40%		P2 20%	P1 2h 30% 3h 20%	30%	0 %			2h 70% 5.5h 30%		10%	2h 1~5%		60%		70%			2h 60%	
P2 1,5h 5%																				
<b>Semen 3 procedente de un hombre de 38 años</b>				P4 2h; 50% 41h † 1%			40%			30%										30%
<b>Semen 4, hombre de 28 años, no vacunado (control)</b>	90%	P1 80%		3h P1 80% muy activo	80%	80%	3h 60%	70%	70%	3h 70%	80%	70%	3h 50%	80%	70%	3h 60%				50%
P2 70%		P2 50%																		

† = vida útil máxima; m = min; h = hora

Semen 4 exhibió la mejor calidad, con  $120 \times 10^6$  células espermáticas por mililitro y un 80% de motilidad.

La muerte progresiva de los espermatozoides ocurrió pocas horas después de la exposición, incluso a bajas concentraciones, a los diversos inyectables. Esta rápida destrucción de los espermatozoides no coincidió con nuestras expectativas iniciales, pero el proceso fue coherente con las reacciones observadas en las muestras de sangre, donde también vimos un daño progresivo, aunque menos rápido. Al igual que en los estudios de sangre, Novavax mostró la toxicidad más significativa en contacto con los espermatozoides. Fueron rápidamente inmobilizadas y murieron poco después. Mientras que AstraZeneca mostró resultados dispares en su impacto sobre las muestras de esperma, Pfizer y Moderna fueron sistemáticas al causar efectos letales progresivos en cada muestra de semen. La solución salina fisiológica o la vacuna antigripal condujeron a la degradación natural esperada con el transcurso del tiempo, sin ningún incremento notable de toxicidad. La motilidad generalmente se mantuvo solo durante unas pocas horas.

Si bien 24 horas fue la duración máxima de supervivencia observada en los espermatozoides de un donante joven y sano que no había recibido ningún inyectable contra la COVID-19, se detectó un hallazgo excepcional. En la muestra 3 (Semen 3, fila 4 de la Tabla 4), unas pocas células espermáticas, incubadas con el inyectable de Pfizer (aproximadamente el 1% de los espermatozoides del donante (Semen 3) que recibió dos inyecciones de Pfizer, como se indica en la cuarta fila y la quinta columna de la Tabla 4), sobrevivieron durante 41 horas. ¿Podría ser que estas escasas células espermáticas supervivientes de un individuo que había recibido el inyectable de Pfizer en dos ocasiones estuvieran, de algún modo, protegidas contra la susceptibilidad a lesiones debido a dichas inyecciones? Parece que solo las células espermáticas vulnerables a la destrucción por el inyectable de Pfizer, el 99 % de la muestra (Semen 3), ya habían muerto. No obstante, nuestra hipótesis es que la longevidad de las células está relacionada con su salud innata inicial. Es decir, la respuesta y la vitalidad de las células espermáticas a los inyectables dependen más de su calidad intrínseca que de cualquier exposición tóxica posterior. Sin embargo, todos los inyectables contra la COVID-19 mostraron un impacto consistentemente letal en algunas células espermáticas en cuestión de minutos u horas. Además, aunque AstraZeneca y Novavax no se basan en ARNm, también exhibieron efectos letales muy graves y directos en espermatozoides y células sanguíneas. Aunque supuestamente los procesos de producción de la proteína spike difieren en AstraZeneca y Novavax con respecto a los de Pfizer y Moderna, la proteína spike recombinante, supuestamente contenida en Novavax, pareció especialmente tóxica para las células vivas. En la Figura 8 se ofrecen resúmenes de los resultados que observamos al microscopio.

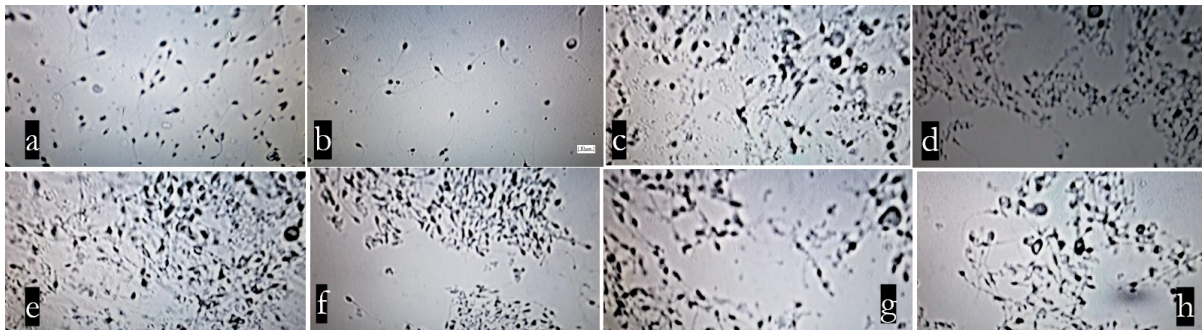


Figura 8. Reacción del semen a los inyectables de COVID-19 a un aumento de 200X: (a) semen con solución salina fisiológica como control, añadido después de dos horas; (b) con la vacuna contra la gripe añadida como control después de 1,5 horas, se observaron células espermáticas con morfología intacta y con una reducción natural progresiva típica de la motilidad espermática; (c) 30 minutos después de añadir el inyectable Pfizer-1, la motilidad espermática mostró una rápida reducción; (d) Pfizer-1 después de una hora: cese total de la motilidad espermática; (e) 30 minutos después de añadir el inyectable de Moderna; (f) una hora después de añadir Moderna: las células espermáticas estaban completamente inmóviles; (g) 30 minutos después de añadir Novavax; (h) una hora después de Novavax: cese total de la motilidad.

En resumen, los inyectables de COVID-19 tienen efectos citotóxicos directos sobre las células vivas, especialmente sobre las células sanguíneas (glóbulos rojos, glóbulos blancos y plaquetas) y sobre las células espermáticas. Además de estas interacciones observadas, es casi seguro que también se están produciendo efectos nocivos adicionales en las células vivas y en los sistemas del cuerpo. Los equilibrios normales y la homeostasis del pH, la osmolaridad, la temperatura y los electrolitos en diversas concentraciones son todos susceptibles de verse afectados por los daños que se producen a nivel celular. Si bien hubo variabilidad entre las muestras, los especímenes de los participantes vacunados mostraron consistentemente efectos perjudiciales inmediatos o progresivos, directamente atribuibles y observables durante su aparición, al contacto con los materiales inyectables. Hubo diferencias entre las marcas estudiadas, pero todas ellas causaron daños observables atribuibles a toxicidad. Quizás el contraste más interesante observado fue el hecho de que las células espermáticas del participante no vacunado parecían estar menos dañadas que las del semen de individuos que habían recibido uno o más de los inyectables contra la COVID-19. Las posibles razones de esta resistencia observada en el control S4 (detalles en la Tabla 4) podrían estar relacionadas con la juventud y la salud del participante.

Los resultados de los estudios comparativos de semen y medios sanguíneos de los inyectables incubados se presentan en la Tabla 5 (véase el Apéndice A). En las tablas 5, 7, 8, 9, 10 y 11, el signo más (+) indica la presencia de estructuras extrañas no especificadas, mientras que el signo menos (-) indica su clara ausencia. El grado de observabilidad de estas estructuras se indica con dos (++) , tres (+++) o cuatro signos más (++++). La observación de estructuras cuestionables (o ambiguas) se indica con un signo más/menos (+/-). El grado en que las estructuras extrañas son difícilmente discernibles se indica con un signo más y entre dos y cuatro signos menos (+/-) (+/---) (+/----), siendo este último el morfológicamente más ambiguo.

Si bien el semen (S3) se obtuvo de un receptor vacunado con dos dosis, y los plasmas 1 y 2 de individuos no vacunados, el estudio de incubación muestra una tendencia más evidente al desarrollo de filamentos, cintas y estructuras similares a chips en el semen que en los plasmas. Sin embargo, desconocemos la causa precisa de la diferencia observada entre las muestras de semen y los medios de plasma. A pesar de esto, en las muestras de semen y plasma, pareció que los inyectables de COVID-19 podrían producir estructuras preprogramadas autoensamblables, aunque en menor cantidad en plasma que en semen.

Se examinaron los efectos citotóxicos sobre el semen tras la exposición a diversos materiales suplementarios o licores populares (como vino tinto, cerveza y licores coreanos – 20 proof), vitamina C, mica, agua de sílice y oro coloidal. Se examinó hipoclorito de calcio ( $\text{Ca}(\text{OCl})_2$ ) (GNP1) al 0,001 % (concentración estándar consumible para la desinfección del agua potable). También incubamos extractos de piel de E1 (el participante anónimo mencionado anteriormente) en solución salina fisiológica durante varios meses. Los resultados fueron los siguientes:

La mayoría de las soluciones parecieron ser directamente tóxicas para los espermatozoides. Perdieron la motilidad y casi todos murieron en pocos minutos, hasta un máximo de 1,5 horas en el caso del donante no vacunado más joven y saludable. La mica mostró el nivel más bajo de toxicidad. Algunos espermatozoides conservaron la motilidad y permanecieron viables (alrededor del 10 %) hasta 1,5 horas después de la exposición. En el caso más extremo observado, algunos espermatozoides, aproximadamente el 0,1% de los espermatozoides del donante joven y sano, aún se movían tras un lapso de tiempo de 3 horas. Los licores coreanos, más que otros productos químicos potencialmente tóxicos observados a lo largo del tiempo, registraron el efecto tóxico directo y letal más inmediato, tal y como se muestra en la Tabla 6 (véase el Apéndice A).

Existe una limitación importante con respecto a los resultados anteriores obtenidos con células vivas. Nuestro diseño implica una especie de exposición, o incubación, *in vitro* en el laboratorio. Tales exposiciones son solo remotamente comparables a los fluidos

introducidos *in vivo* a seres humanos vivos mediante inyección en el tejido muscular. Las células sanguíneas y los espermatozoides pueden verse afectados por el transporte progresivo de fluidos durante minutos u horas, en función de la eficiencia relativa de los sistemas cardiovascular y linfático del individuo. Cabe esperar que el transporte sea superior en personas más jóvenes y sanas, lo que, potencialmente, las hace más (y no menos) susceptibles que las personas mayores con sistemas de transporte de fluidos menos eficientes, al tipo de daño celular que nuestros resultados demuestran que se produce *in vitro*. En algunos casos, las nanopartículas u otros materiales no identificados podrían entrar en el torrente sanguíneo, atravesar la barrera hematoencefálica en ambos sexos, la barrera hematotesticular en los hombres y las barreras ováricas y placentarias en las mujeres, impactando directamente la fertilidad y la salud fetal; sin embargo, presumiblemente, dicho contacto no podría ocurrir de una forma tan concentrada \*in vivo\* como la estudiada experimentalmente.

Teniendo presentes estos hechos, nuestros hallazgos experimentales son ciertamente indicativos de algunas de las consecuencias que se pueden esperar a medida que los fluidos inyectables de COVID-19 son transportados por todo el cuerpo mediante el transporte cardiovascular y linfático natural. Para comprender mejor los efectos reales en el cuerpo humano, se hizo todo lo posible por recrear una incubación estable a largo plazo, en lugar de exámenes a corto plazo. Nuestro objetivo era examinar los impactos diluidos y dispersos de una manera que, presumiblemente, sería más comparable a los que ocurren en personas vivas expuestas a los inyectables.

### 3. INCUBATION STUDY FOR THE INJECTABLES:

#### 1) *Resumen general de la incubación de los inyectables*

A lo largo de todo el período de incubación, que excedió un año, no se observaron signos de contaminación bacteriana o fúngica en ninguna de las muestras de vacunas de ARNm (Pfizer y Moderna). Esto es destacable, ya que no recurrimos a la exposición periódica a antibióticos o agentes antifúngicos típicos, práctica común en estudios básicos de incubación. Las observaciones microscópicas directas en un estudio de incubación anterior a corto plazo (no presentado aquí) nos llevaron a concluir que estos materiales extraños no son orgánicos, sino, como mínimo, organismos híbridos sintéticos o, posiblemente, estructuras robóticas animadas, lo que nos impulsó a adoptar un enfoque de incubación atípico. Nuestro enfoque se diferencia de los métodos de cultivo habituales, que suministran periódicamente agentes de laboratorio, como antibióticos y antifúngicos, u otros desinfectantes antibacterianos o antifúngicos, los cuales pueden alterar drásticamente la pureza de los materiales en observación. En nuestros estudios, el crecimiento también se mantuvo en pequeños contenedores, pero sin suministro adicional de  $O_2$  ni  $CO_2$ .

Se eligieron solución salina fisiológica y agua destilada como medios de incubación básicos. Estos resultaron ideales para el desarrollo de estructuras extrañas discernible microscópicamente. A efectos comparativos, también se emplearon otras soluciones electrolíticas específicas (a saber, solución de Hartmann, hipoclorito de calcio al 0,001 % (1X) ( $Ca(OCl_2)$ ), peróxido de hidrógeno al 3 % ( $H_2O_2$ ) y dióxido de cloro al 1 ppm (1/100 X) ( $ClO_2$ )) como medios de incubación. Estos últimos medios fueron menos favorables, según nuestros resultados, para desencadenar y facilitar el autoensamblaje de materiales extraños que la solución salina fisiológica y el agua destilada, posiblemente actuando para suprimir el desarrollo de entidades sintéticas autoensamblables.

A diferencia de los productos inyectables de ARNm de Pfizer y Moderna, AstraZeneca y Novavax no desarrollaron ninguna estructura autoensamblada en el fondo de la placa. Si bien la aparición de filamentos en la capa superior parecía ser muy infrecuente, el origen de su desarrollo seguía siendo cuestionable. Tras una incubación prolongada, AstraZeneca y Novavax se contaminaron con hongos y bacterias. Eso nunca ocurrió con los estudios de cultivos de ARNm de Pfizer y Moderna. Las vacunas de Pfizer y Moderna mostraron patrones de crecimiento únicos y constantes. La Figura 9 muestra la etapa de máxima actividad de

patrones geométricos de autoensamblaje durante dos a seis meses en el inyectable de ARNm contra la COVID-19 en varios medios, mientras que la Figura 10 informa sobre las diversas formas que se desarrollaron progresivamente y mantuvieron su integridad estructural hasta el momento de la redacción del presente documento.

Durante las primeras semanas, diversas estructuras geométricas se autoensamblaron en el fondo de la placa.

Semana 1: Aparecieron entidades unidimensionales, con forma de varilla, o estructuras bidimensionales simples de forma rectangular plana.

Semanas 2 ~ 3: Parecía que se añadían estructuras de dos a tres dimensiones a las entidades existentes en el fondo.

A partir del día 14, estructuras tridimensionales bien definidas se desprendieron de la estructura original en el fondo y ascendieron a la capa superior (profundidad de la capa fluida de aproximadamente 6 ~ 8 mm). Véase la Figura 2.

En las Figuras 11-19, se presentan los resultados de los estudios de incubación de los inyectables de ARNm durante todo el periodo de observación. De particular interés son las estructuras autoensambladas, presumiblemente compuestas por nanomateriales que no eran visibles con nuestra capacidad de magnificación. Estábamos limitados a un aumento máximo de 400X. Sin embargo, sorprendentes estructuras autoensambladas de gran diversidad se hicieron visibles aproximadamente en la quinta semana de incubación. En última instancia, consistían en cintas, espirales y estructuras filiformes. Se formaron y se desplazaron hacia las capas media y superior de los medios de cultivo que contenían fluidos de Pfizer y Moderna a partir del día 37.

Con respecto a las estructuras autoensambladas en la capa inferior (como se muestra en la Figura 9), se estimó que la etapa máxima de ensamblaje completo se alcanzaba entre los 2 y los 6 meses de incubación. Transcurrido este periodo, se observó una desintegración progresiva de las estructuras, hasta su completa desaparición, a excepción de un rastro residual. En su forma circular encapsulada, quizá la forma de estos remanentes significaba algún tipo de etapa de desarrollo latente, como cabría esperar observar en la fase de pupa de un parásito en desarrollo (Figura 11 —k, l, m, y Figura 19 —j, k, l).

Curiosamente, en agua destilada estéril, las muestras de Pfizer exhibieron espirales (bobinas), cintas, filamentos, membranas y cadenas de cuentas más desarrolladas, que parecían flotar en la capa intermedia, justo por encima de la capa inferior o superior. Esto pareció suceder tras su etapa de crecimiento máximo durante los últimos meses de observación (Figuras 12, 13 y 14).

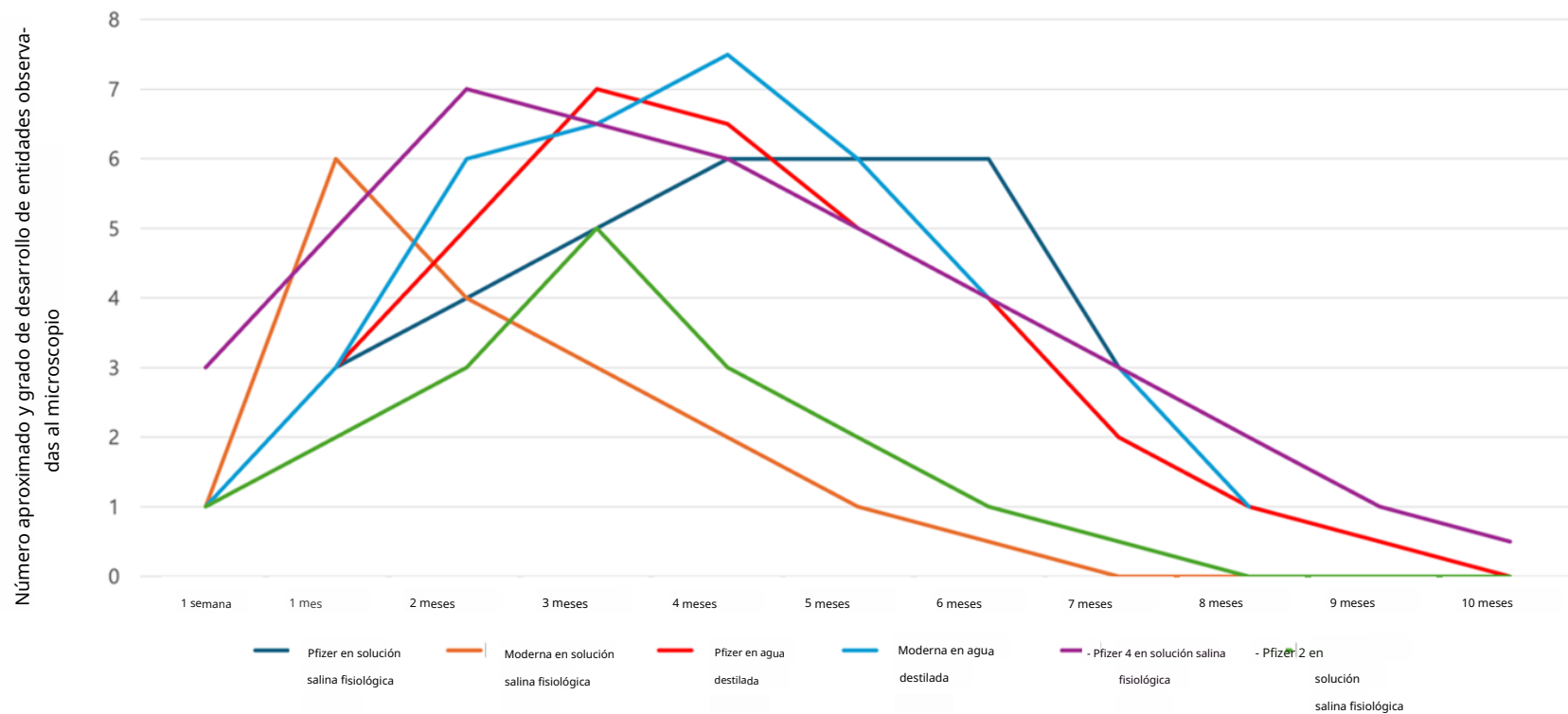


Figura 9. Un resumen visual de la aparición y el desarrollo de diversas entidades geométricas durante un período de incubación de diez meses de los inyectables de COVID-19 de Pfizer y Moderna: la tendencia de desarrollo ilustrada en el gráfico muestra que el período de incubación comprendido entre 2 y 6 meses es la etapa álgida para el autoensamblaje geométrico en el fondo de la placa de Petri, independientemente del tipo de vacuna de ARNm y sus medios de cultivo. Tras la etapa máxima de desarrollo, las estructuras ensambladas similares a chips desaparecieron progresivamente.

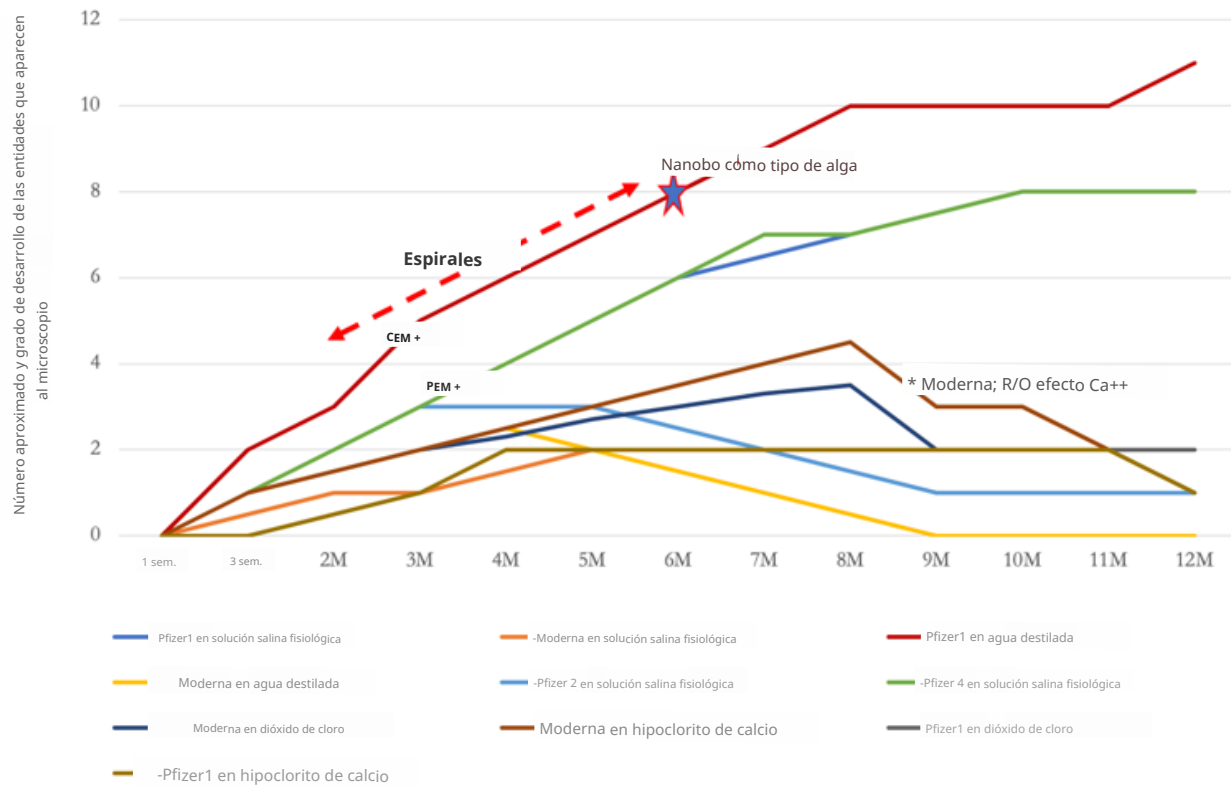


Figura 10. Patrón de crecimiento de estructuras flotantes (cintas, espirales, filamentos) en las vacunas de ARNm contra la COVID-19, en diversos medios y con exposición a campos electromagnéticos, a lo largo del estudio de incubación a largo plazo: el gráfico muestra que cintas, espirales y otros filamentos diversos aparecen y se desarrollan progresivamente hasta la etapa tardía de la incubación, especialmente en agua destilada y solución salina fisiológica. Varias espirales aparecieron transitoriamente durante 2-6 meses de incubación, especialmente en agua destilada. Una estructura magnética similar a un nanobot apareció aproximadamente a los 180 días de incubación y posteriormente desapareció en agua destilada. Un campo electromagnético procedente de un cargador inalámbrico pareció estimular especialmente la muestra de Pfizer, promoviendo el desarrollo de filamentos, tanto profusos en número como con una integridad estructural duradera, en agua destilada y solución salina fisiológica. Pfizer 2 para niños, no expuesta a un campo electromagnético, es originalmente más diluida que Pfizer 1 para adultos, por lo que la tendencia de desarrollo pareció imitar la de Moderna. Si bien Moderna no produjo estructuras filamentosas tan profusas como Pfizer, sí mostró relativamente más estructuras filamentosas y más sostenibles en hipoclorito de calcio. Este fenómeno parecía estar levemente estimulado por el electrolito Ca<sup>++</sup>.

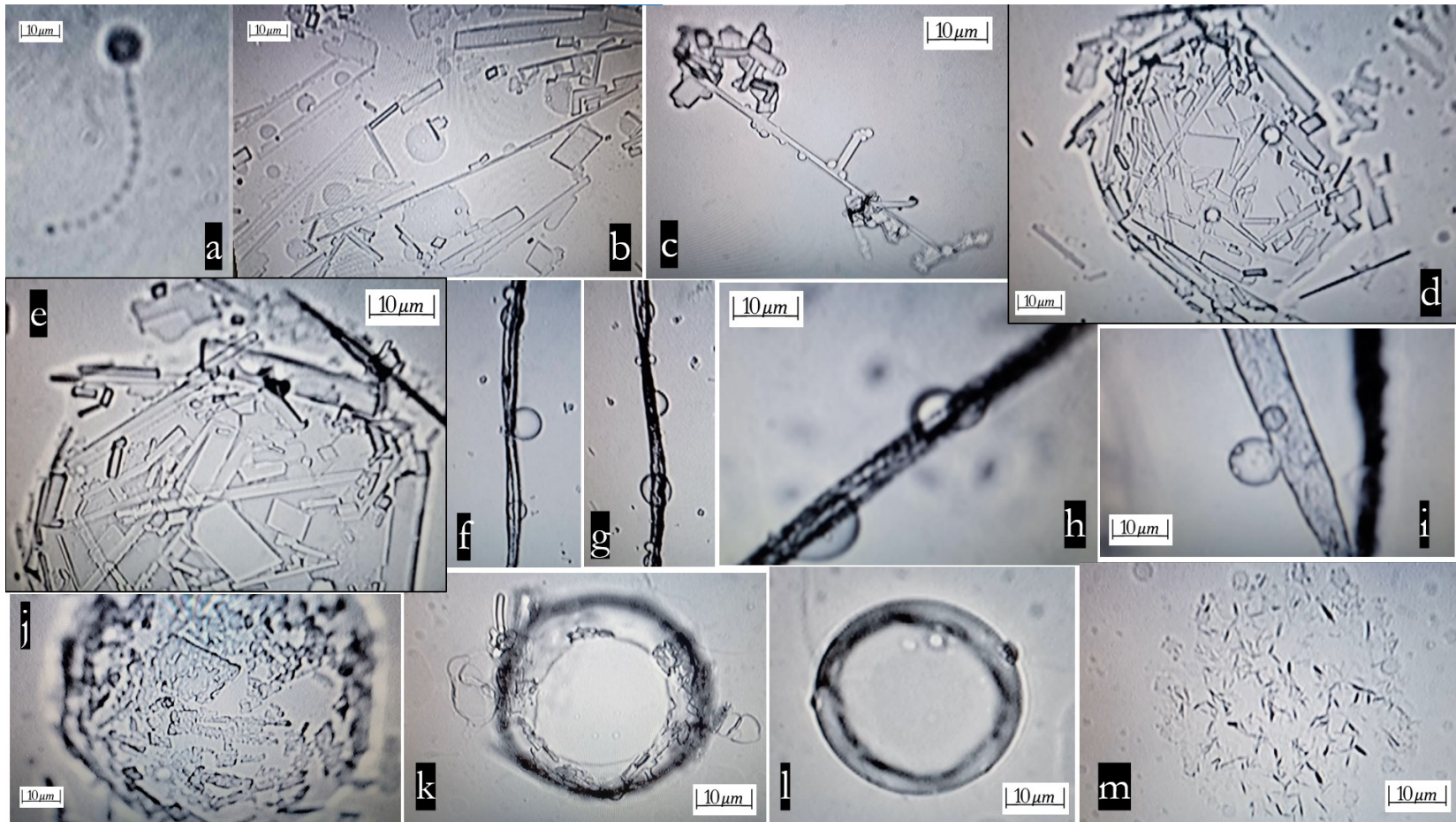


Figura 11. Hallazgos del estudio de incubación de Pfizer durante 372 días; (a) Día 22, esto es lo que describimos como una cadena de cuentas (a 400X de aumento); (b) Día 24, autoensamblaje geométrico bidimensional en el fondo (a 200X de aumento) en solución salina fisiológica; (c) Día 60, estructuras flotantes tridimensionales detalladas, similares a chips (a 400X de aumento) en agua destilada; (d) y (e) Día 60, estructuras tridimensionales acumuladas, similares a chips, dentro de un límite con forma ovalada (200X/400X) en agua destilada; (f), (g), (h), (i) Filamentos flotantes desprendiendo burbujas dentro y fuera en solución normal en el día 95 (100x/100x/200x/200x). (j), (k), (l), (m) Cambios degenerativos progresivos en agua destilada, 200X (día 82/día 256/día 306/día 372).

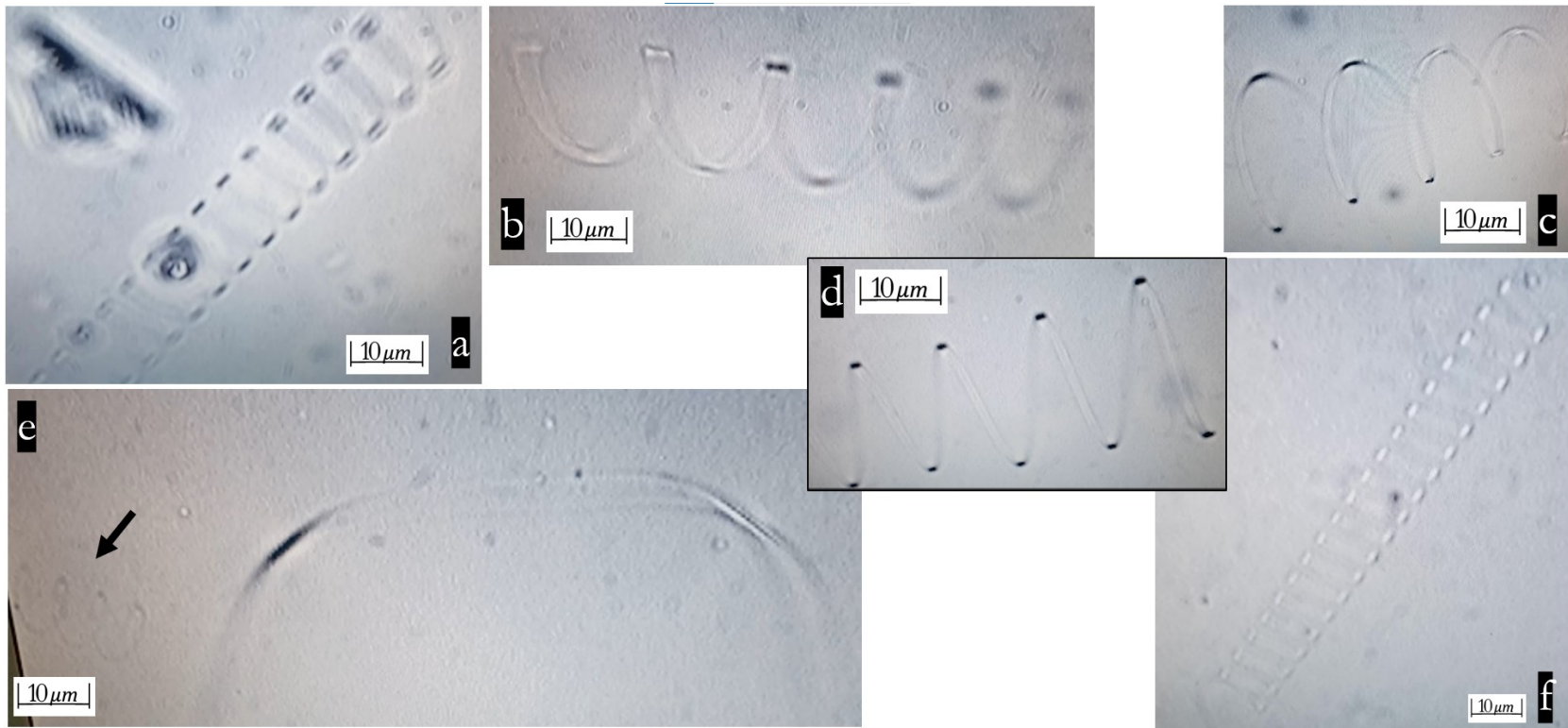


Figura 12. Diversas espirales, cintas y hélices en Pfizer, agua destilada: (a) Día 60 (con un aumento de 200X). (b) ~ (e) Día 74 (con un aumento de 200X). (f) Día 176 (con un aumento de 100X).

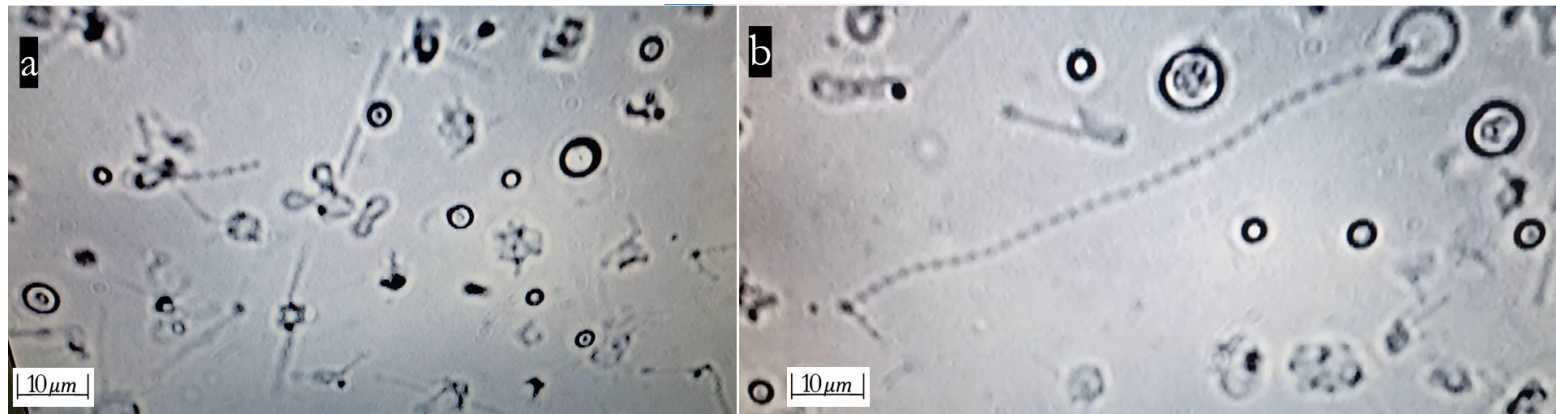


Figura 13. Cadenas de cuentas y estructuras variadas en agua destilada de Pfizer (Día 176, 400x): (a) Varias estructuras artificiales similares a satélites; (b) Largas cadenas de cuentas reunidas en la superficie central del medio.

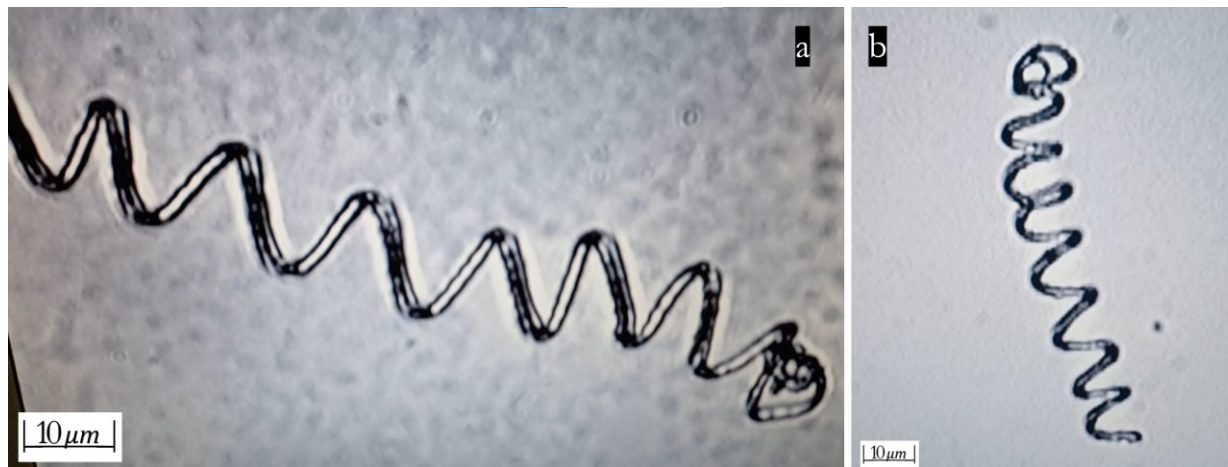


Figura 14. Espirales típicas tipo alga, similares a nanobots magnéticos, en Pfizer en agua destilada: (a) Día 176 (400x); (b) Día 337 (200x).

En lo que parecía ser la etapa de máxima actividad de desarrollo, las muestras inyectables debían reabastecerse con agua con mayor frecuencia para evitar que se secasen. Esto fue especialmente notorio durante la temporada de verano, cuando las formaciones descritas anteriormente parecían más activas. Acercándose a la última parte de lo que describimos como la etapa de máxima actividad —aproximadamente entre 150 y 180 días de incubación—, espirales específicas de tipo alga, similares a bionanorrobots magnéticos, así como espirales oscuras irregulares, aparecieron cerca del fondo del medio (Figura 14).

Después de este período, este tipo de estructuras continuaron manteniendo su forma hasta aproximadamente el día 366 (y han continuado así hasta el momento de redactar este documento) en los estudios de incubación de Pfizer, mostrando filamentos ligeramente desnaturalizados que brotaban. Algunos de estos filamentos adoptan la apariencia de haces huecos de tubos que se ramifican hacia afuera (Figuras 15 y 16).

Los filamentos flotantes, especialmente en la muestra de Pfizer en agua destilada, se transformaron en algunas figuras ramificadas y, posteriormente, se convirtieron nuevamente en cintas alargadas transparentes huecas o tubos delgados, de forma similar a las imágenes de la participante E2 desarrollándose a partir de sus extractos de piel. Extractos de piel de un vacunado con Moderna se presentarán en un próximo artículo, obtenidos al día 337 de la incubación.

En la etapa final, aproximadamente al día 337, aparecieron filamentos de aspecto familiar en la capa intermedia de la muestra de Pfizer en agua destilada. Según los materiales, algunos flotaban cerca del fondo del medio y otros en la parte intermedia. Haces transparentes de aspecto filamentosos formados por tubos huecos aparecieron flotando en la superficie del medio, de forma similar a como apareció el extracto de piel 2 (E2) y cambió a un filamento con punta en forma de trípode (semejante a un ancla para la conexión a una neurona) o cintas estriadas enrolladas que desprendían burbujas. Véanse las Figuras 15, 16, 17 y 18 para más detalles.

Las estructuras en la muestra de Moderna parecieron desarrollarse más rápidamente que las de la muestra de Pfizer, quizás debido a que Moderna incluía una mayor concentración de partículas. De la misma manera, las estructuras de Moderna también desaparecieron con mayor rapidez. En solución salina fisiológica con Moderna, aparecieron estructuras de autoensamblaje en la capa inferior, con figuras más artificiales y similares a chips que surgieron de forma más rápida y profusa, pero con filamentos y espirales menos desarrollados (Figura 19).

Durante la etapa pico de crecimiento geométrico tridimensional (3-dimensionalgeometricgrowth) (2 ~ 6 meses), notamos que los medios de incubación, en consonancia con observaciones previas, se volvieron progresivamente turbios y exhibieron una apariencia similar a una emulsión. Tras alcanzar este estado, los medios de todas las placas de Petri comenzaron a retornar a su estado transparente inicial, aun cuando la presencia de estructuras filamentosas flotantes seguía siendo evidente.

En la etapa tardía de la incubación de Moderna (día 630) en agua destilada, las nanopartículas reaparecieron flotando de nuevo, tal y como se había observado durante las observaciones microscópicas iniciales previas al inicio del cultivo. Esta reaparición sugiere un patrón de reciclaje que describimos más adelante en un modelo propuesto en la Figura 27. Mientras que Moderna mostró solo unas pocas estructuras filamentosas con extremos divididos únicos y algunos haces de nanocables transparentes delgados y sueltos, Pfizer, por el contrario, mostró muy pocas nanopartículas flotando muy cerca de los filamentos o cintas, pero en un fondo en gran medida limpio de nanodesechos circundantes.



Figura 15. Varios filamentos — cintas estriadas, surgiendo en la etapa tardía (Día 316) de incubación de Pfizer en agua destilada: (a) y (b) cintas estriadas enrolladas (100x); (c) filamentos surgiendo en Pfizer (200x).

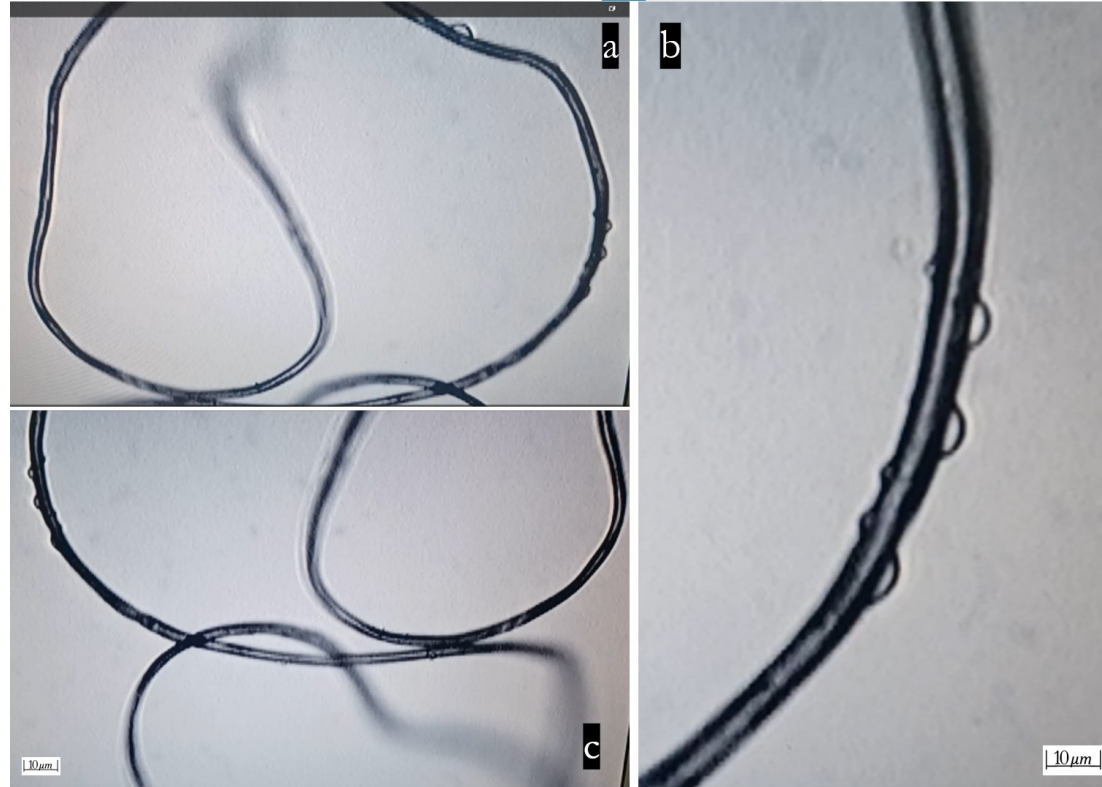


Figura 16. Haz de tubos transparentes delgados con forma de alambre, con burbujas desprendiéndose, en la incubación de Pfizer en agua destilada (Día 331) ; flotando en la capa superior (a- 40x / b-100x / c-40x).

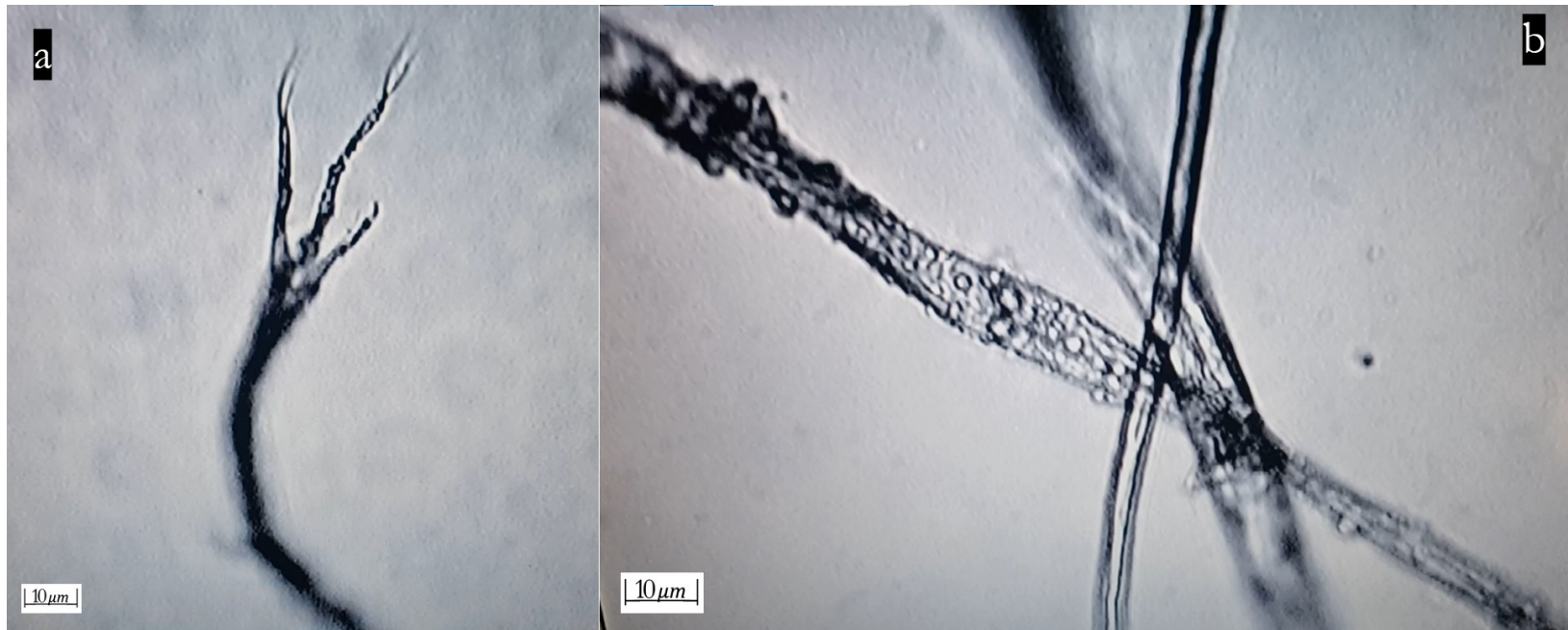


Figura 17. Filamentos estriados con forma de trípode en incubación de Pfizer en solución salina fisiológica (Día 346, 200x): (a) Estructuras con forma de trípode más desarrolladas o (b) Patrones estriados en los filamentos.

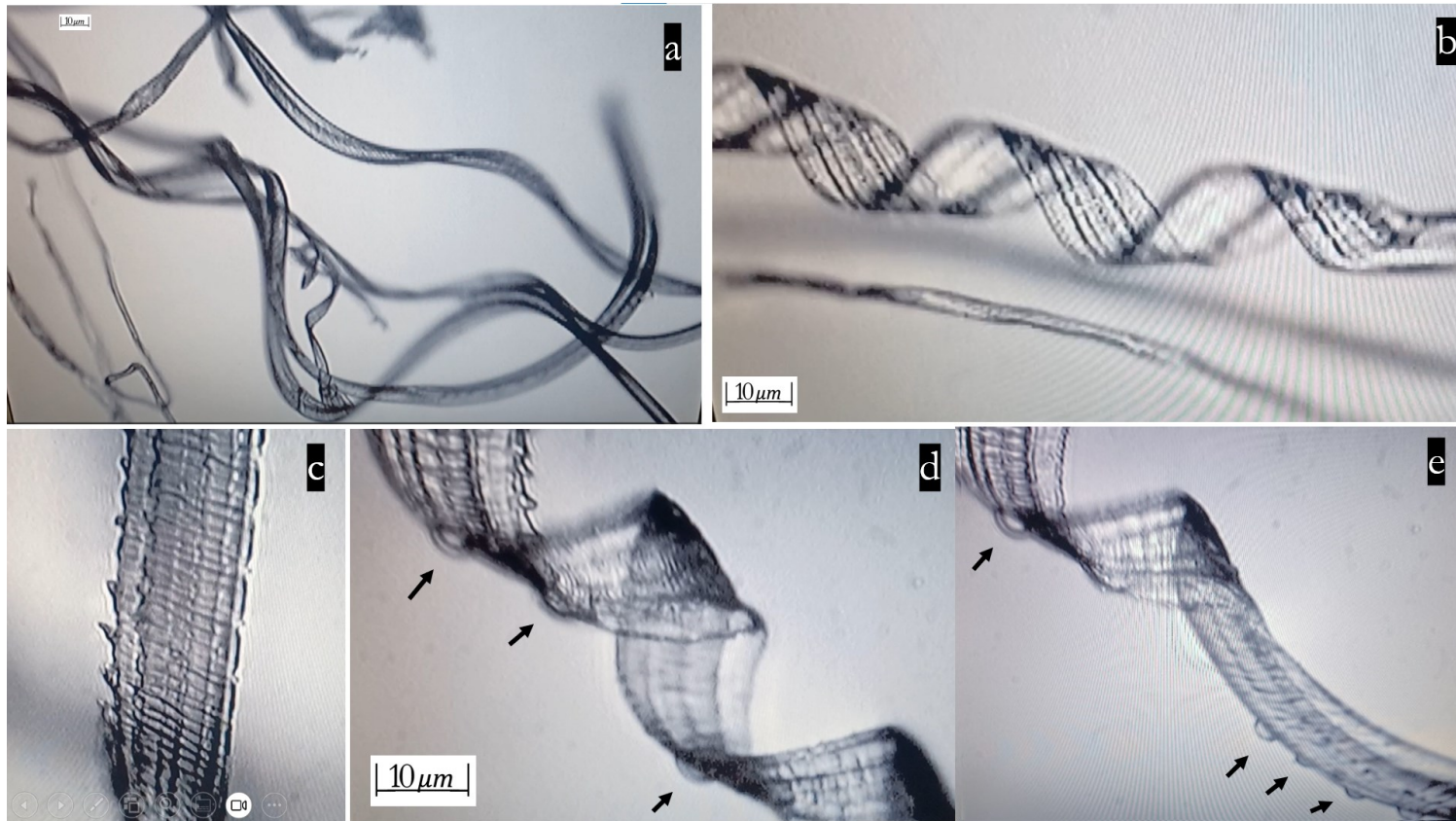


Figura18. Cintas estriadas enrolladas y burbujas en la incubación de Pfizer en agua destilada (Días 406 y 499); (a), (b) y (c) Cintas enrolladas con estriás singulares en Pfizer en ADest, 406 días de incubación (40X/100X/200X); (d) y (e); Aparecieron burbujas (flechas) en la superficie de las cintas enrolladas a los 499 días de incubación (200X).

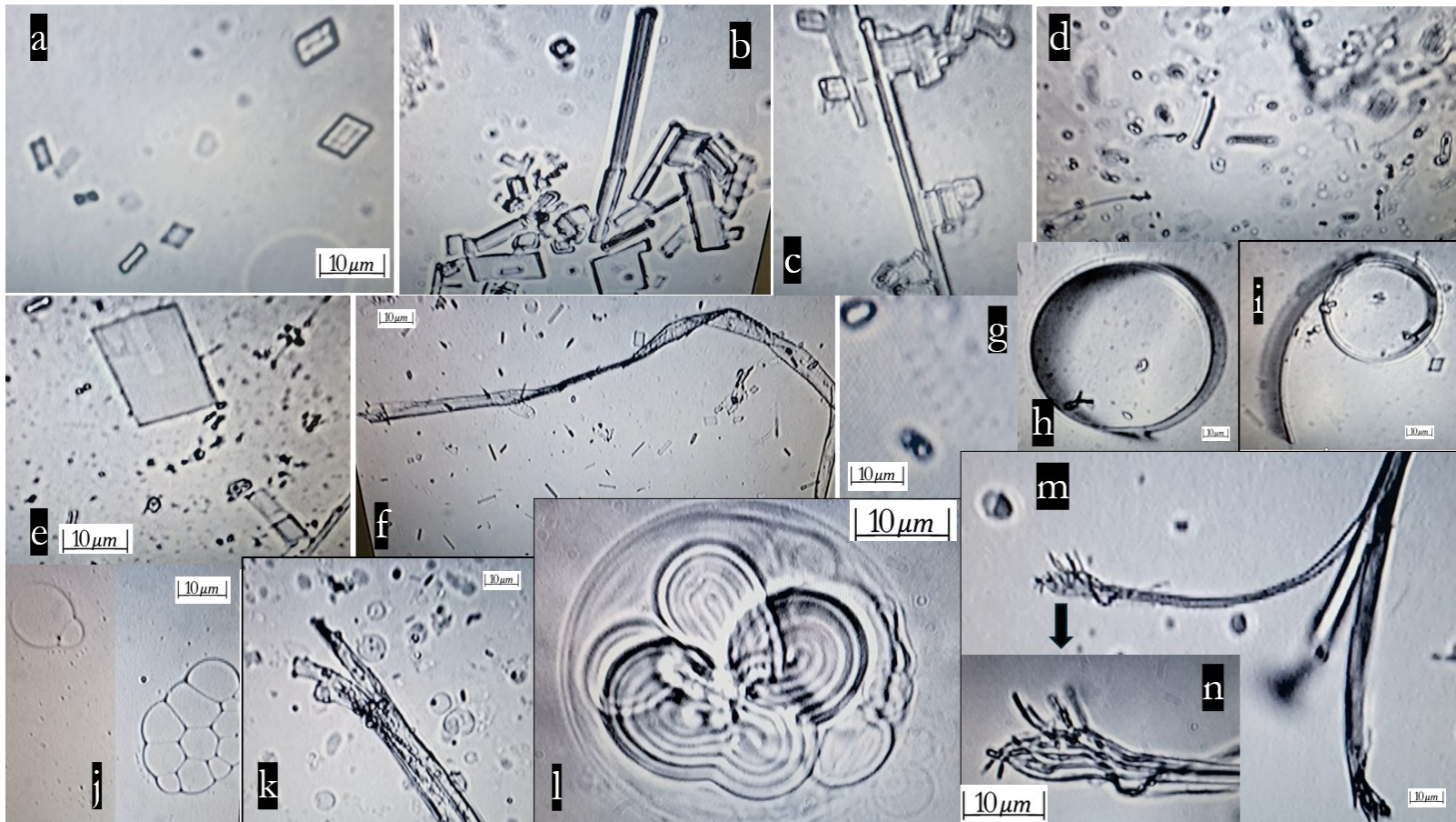


Figura 19. Ensamblaje geométrico con forma de chip, filamentos, espirales, cintas y haces de cables encapsulados en el estudio de incubación de Moderna hasta el día 630 (100~400X): (a) Día 16; (b) Día 40; (c) Día 42; (d) Día 125; y (e) Día 126 (todo a 400x) en solución salina fisiológica. (f) Día 126, chips y filamento (100x) en solución salina fisiológica. (g) Día 36, pequeña espiral observada raramente en agua destilada. (h) y (i) Día 42, pequeñas cintas circulares en solución salina fisiológica (400x/200x). (j) Día 295, burbujas lobuladas flotando en la capa superior (100x) en agua destilada. (k) Día 313, cinta con extremo dividido (200x) en agua destilada. (l) Día 313, haces de alambres encapsulados y compactados (400x) en agua destilada. (m) Día 630, filamento con extremo dividido en solución salina fisiológica (100x). (n) Día 630, filamento con extremo dividido magnificado (400x).

Durante la etapa tardía de la incubación de Pfizer (día 630), independientemente del tipo de medio (solución salina fisiológica o agua destilada), el inyectable mostró una mayor proliferación de estructuras filamentosas que Moderna, incluyendo cintas enrolladas características, también en un fondo más claro.

En resumen, el estudio de incubación arrojó resultados tangibles. Diversas estructuras geométricas similares a chips se autoensamblaron durante las dos primeras semanas de incubación, y estructuras tridimensionales más complejas emergieron, separándose de sus plantillas en el fondo de la placa de Petri, y migraron hacia la capa superior. Se observaron signos evidentes de formas geométricas distintas con bordes afilados, así como formas curvilíneas. Transcurrido aproximadamente un mes, aparecieron estructuras flotantes que continuaron desarrollándose en forma de filamentos, espirales, cadenas de cuentas, estructuras satélite y cintas. Este estudio, además de confirmar la presencia de ingredientes extraños no naturales no declarados en los inyectables, podría alentar a los investigadores a comprobar si se puede confirmar una relación directa de causa-efecto entre la aparición del autoensamblaje en el fondo de la placa de Petri y los patrones de desarrollo de estas diversas estructuras flotantes. A partir de nuestras observaciones, sospechamos tentativamente que tal relación es autoevidente.

## 2) DEVELOPMENTAL CHANGES IN VARIOUS MEDIA

Se eligieron la solución salina fisiológica (N/S) y el agua destilada (D/W) como medios de incubación básicos. Estos dos medios crearon las condiciones idóneas para el desarrollo de estructuras extrañas discernible microscópicamente, tal y como se describió anteriormente en la sección de 'Resultados'.

En el agua destilada, ambos inyectables mostraron la más amplia variedad de formas y materiales: espirales transparentes, cintas, cintas espiralizadas, filamentos alargados con burbujas, etc.

A efectos de comparación, también se utilizaron otras soluciones electrolíticas específicas (es decir, solución de Hartmann, hipoclorito de calcio al 0,001 % (1X) ( $\text{Ca}(\text{OCl})_2$ ), peróxido de hidrógeno al 0,03 % (1/100 X) ( $\text{H}_2\text{O}_2$ ), y 1 ppm (1/100 X) de dióxido de cloro ( $\text{ClO}_2$ ) como medios de incubación para investigar sus posibles efectos desintoxicantes o agravantes. Si bien estas soluciones fueron menos propicias para desencadenar el proceso de autoensamblaje de materiales extraños en la etapa inicial de incubación, posiblemente actuaron suprimiendo el desarrollo de estructuras. Sin embargo, con hipoclorito de calcio al 0,001% (1X) ( $\text{Ca}(\text{OCl})_2$ ) y dióxido de cloro a 1 ppm (1/100 X) en la etapa intermedia (día 111) de su incubación con Pfizer y Moderna, el autoensamblaje de tipo chip progresó de manera similar a otras soluciones básicas de medios de incubación y finalmente también produjo algunos filamentos más cortos.

Curiosamente, en el fondo del medio de solución de Hartmann (utilizada médicamente como conservante del volumen plasmático), y en contraste con nuestras expectativas de un mayor desarrollo en una solución rica en electrolitos, tanto Pfizer como Moderna mostraron estructuras autoensambladas menos desarrolladas y distintivas, que presentaban bordes romos y una forma irregular. A excepción de un remanente de filamentos, estas estructuras irregulares finalmente desaparecieron en un proceso de ensamblaje progresivo. La replicación de este estudio se beneficiaría de la adición de solución de Hartmann en lugar de solución salina fisiológica o agua destilada como fluido básico de infusión médica, tal como describimos anteriormente. Un resumen de los resultados se presenta en la Tabla 7 (en el Apéndice A).

En el estudio de dosis dependiente de hipoclorito de calcio,  $\text{Ca}(\text{OCl})_2$ , comenzando con la concentración estándar (1X, 0,001%) para agua potable, filamentos más desarrollados emergieron a una concentración inferior. Durante la etapa inicial de la observación, aparecieron estructuras autoensambladas que, progresivamente, se desintegraron más rápidamente que en solución salina fisiológica, quizás debido a la perturbación de los electrolitos (alterados por EMF dentro del entorno de la placa) (Tabla 8 en el Apéndice A).

Curiosamente, en la etapa inicial de incubación del estudio de dosis dependiente de hidróxido de cloro ( $\text{ClO}_2$ ), comenzando con el concentrado tóxico de 100 ppm (1X) utilizado para la desinfección de instrumentos médicos, se formaron estructuras similares, pero menos ensambladas, aunque más parecían flotar en lugar de asentarse en el fondo, como era habitual en los otros medios electrolíticos. Esta diferencia podría explicarse por los componentes cristalinos del  $\text{ClO}_2$ , que podrían dificultar el proceso de autoensamblaje estructural. Generalmente, en la concentración más baja (inferior a  $1/16 \sim 1/32$  x), las estructuras autoensambladas se desarrollaron progresivamente, mientras que en la concentración más alta (superior a  $1/16 \sim 1/32$  x) se desarrollaron más filamentos flotantes. Finalmente, en la concentración más fuerte y tóxica de  $1 \sim 1/2$  x, no se observó autoensamblaje ni estructuras flotantes en la etapa inicial.

Sin embargo, durante la etapa tardía de incubación en una concentración baja ( $1/400 \sim 1/200$ x), todavía se encontraron raramente \*chips\* en el fondo hacia el día 230; en cambio, en una concentración más alta, se encontraron estructuras no autoensambladas en el fondo, a excepción de cristales peculiares de  $\text{ClO}_2$ . Se encontró un mayor número de \*chips\* en la muestra de Moderna que en la de Pfizer en la concentración más baja (inferior a  $1/200$ x). Se encontraron filamentos en la etapa tardía de incubación en la concentración más baja, pero no se observaron estructuras en una concentración más alta (superior a  $1/16$ x). Pfizer mostró más filamentos que Moderna en la concentración más baja (inferior a  $1/16$ x) (Tabla 9 del Apéndice A).

En peróxido de hidrógeno al 3%, solución de  $\text{H}_2\text{O}_2$ , se esperaban algunos efectos significativos en el inyectable mediados por la peroxidasa presente en su contenido. No obstante, los resultados no estuvieron a la altura de nuestras expectativas. En la etapa inicial de la incubación no se observaron diferencias significativas dependientes de la dosis; las estructuras tipo chip parecían bien desarrolladas, aunque menos que en solución salina fisiológica. La muestra de Moderna desarrolló más estructuras, con características más discernibles que las observadas en la de Pfizer, en las diversas concentraciones de la solución de  $\text{H}_2\text{O}_2$ . Incluso tras 203 días de incubación con Moderna, las estructuras tridimensionales, como los chips, raramente se encontraban en el fondo a una dilución de  $1/200$ x, mientras que sí se encontraron estructuras de una o dos dimensiones a esa misma concentración. Se encontraron filamentos, aunque escasos y relativamente más cortos, en la muestra de Pfizer incubada durante 203 días con una solución de  $\text{H}_2\text{O}_2$  a una dilución de  $1/500$ x. Aún quedaban rastros dimensionales  $1 \sim 2$  de estructuras similares a chips en el fondo, pero nada a  $1/200$ x, solo débiles restos de estructuras unidimensionales que contrastaban en Moderna (Tabla 10 en el Apéndice A).

Como hemos indicado anteriormente, a través de cada estudio dependiente de la dosis, estas tres soluciones, utilizadas en concentraciones bajas, no mostraron ningún potencial definitivo de recuperación a la estasis frente a nano-contaminaciones, puesto que, en concentraciones más altas, resultan tóxicas.

### 3) VARIOUS MINERAL SOLUTIONS:

Los inyectables de Pfizer y Moderna se incubaron con agua Si, tres tipos de oro coloidal (GNP2 desconocido, GNP3 a 5 nm en 10 ppm y GNP4 a 5 nm en 240 ppm), un tipo de plata coloidal (SNP, de tamaño y concentración desconocidos), EDTA (agente quelante), mica (complejo mineral tradicional coreano) y mirra durante aproximadamente 300 días. Los resultados se resumen en la Tabla 11 (Apéndice A).

De manera significativa, Pfizer en la solución de sílice mostró un menor desarrollo de chips autoensamblados que en otras soluciones. Moderna también mostró progresivamente un menor desarrollo de chips en la solución de sílice. En lo que respecta al desarrollo de filamentos, ninguna muestra mostró diferencias notables en las reacciones a la solución de Si. Por lo tanto, las dosis de agua de sílice parecen tener el potencial de perturbar, en cierto grado, el proceso inicial de autoensamblaje de nanomateriales.

Curiosamente, incluso en la etapa tardía de incubación, día 258, las estructuras bidimensionales autoensambladas persistieron en el fondo de algunas placas de Petri, especialmente en Pfizer y Moderna con oro coloidal 2 (GNP2) y Pfizer incubado en agua de sílice.

En la plata coloidal y la mica, se desarrolló progresivamente contaminación bacteriana o fúngica. Este desarrollo sugiere que el efecto de ingeniería previsto (efecto antifúngico y antibacteriano artificial) se vio disminuido progresivamente por este tipo de minerales, que no son asépticos y están destinados únicamente a la administración oral. En la solución de EDTA, el proceso de autoensamblaje en la capa inferior no se vio significativamente perturbado, ya que finalmente comenzaron a aparecer filamentos de forma prominente y profusa en la muestra de Moderna durante los 253 días de incubación. Si bien los efectos desintoxicantes directos del EDTA sobre los polímeros artificiales inducidos por inyectables *in vitro* aún no están claros, los beneficios indirectos del EDTA *in vivo*, sin embargo, podrían materializarse a través de su efecto quelante.

En cuanto al potencial desintoxicante de la mirra, el material resultó inadecuado como medio para el estudio observacional debido a su turbidez y rápida solidificación. La única acción observable durante la etapa temprana de incubación fue la formación de burbujas durante el proceso de desecación.

Sigue sin estar claro si la mirra posee posibles efectos desintoxicantes.

En la solución altamente alcalina de bicarbonato de sodio (pH 9), Pfizer no desarrolló ningún tipo de ensamblaje ni filamentos hasta transcurridos 5 meses de incubación (no se muestra en la tabla anterior).

#### 4) PLASMA REACTIONS:

Este estudio involucró la observación de las reacciones a dos tipos de plasma obtenidos de personas no vacunadas, recolectados del sobrenadante de sangre total mediante sedimentación natural (proceso de reposo durante aproximadamente 3 horas en un recipiente) e incubados con pequeñas cantidades de los productos inyectables, Pfizer y Moderna.

Inicialmente, los productos inyectables comenzaron a desarrollar estructuras autoensambladas (1 ~ 2 dimensiones) entre las abundantes células sanguíneas en el fondo de la placa durante los primeros 7 días, pero solo quedaron rastros de autoensamblaje hasta los 27 días de incubación. Es plausible que una gran cantidad de células sanguíneas —glóbulos rojos (RBC), glóbulos blancos (WBC) y plaquetas—, ya presentes en el fondo del cultivo, pudiera haber perturbado el proceso de ensamblaje de los productos inyectables y, finalmente, haber impedido su construcción, provocando la desaparición de los materiales. Sin embargo, de manera significativa, filamentos flotantes o estructuras similares a mangueras o tuberías comenzaron a emerger progresivamente durante la etapa tardía de los estudios de observación, entre los 131 y los 146 días de incubación. Fueron especialmente evidentes las estructuras oscuras con forma de tubería y de lazo en la muestra de Moderna incubada en las muestras de plasma 1 y 2. Estas estructuras aparecieron junto con filamentos ordinarios, pero no en las placas de Petri de Pfizer. No aparecieron estructuras ni en el fondo ni en la capa superior de la muestra de Pfizer incubada en plasma 1 durante 131 días, a excepción de un escaso remanente de células sanguíneas. Dado que no se desarrollaron estructuras en la muestra de plasma 1, una posible explicación sería que cierto tipo de plasma podría poseer atributos positivos para desencadenar una defensa inmunológica natural contra los procesos de autoensamblaje. Es probable que pruebas adicionales permitan extraer una conclusión más definitiva. Véanse los detalles en las Figuras 20 y 21.

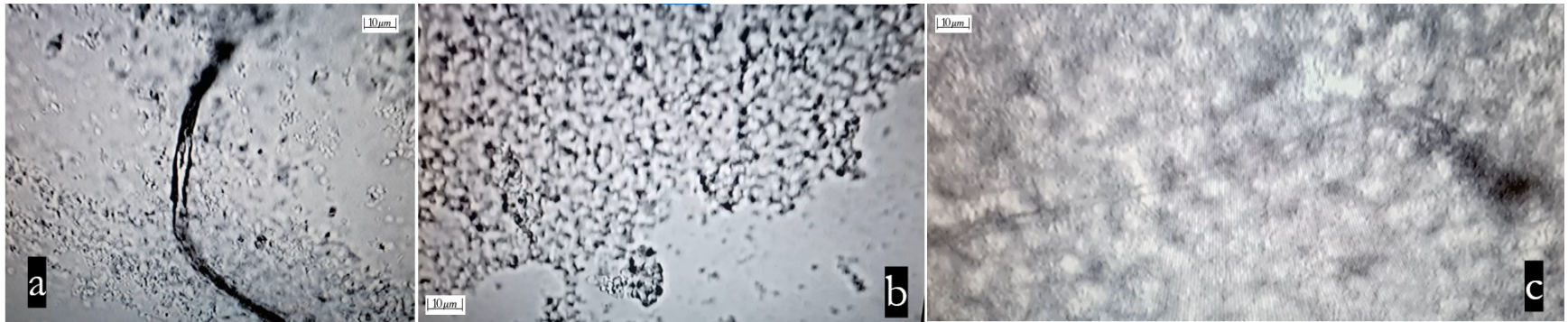


Figura 20. Estudio de incubación de Pfizer y Moderna en plasma 1 y 2 (100x): (a) Pfizer en plasma 2 durante 133 días (100x): se desarrollaron filamentos más cortos; (b) Pfizer en plasma 1 durante 146 días (100x): no se encontró nada, salvo células sanguíneas; (c) Moderna en el plasma1 durante 146 días (100x) — traza fina y más corta de los filamentos, únicamente.

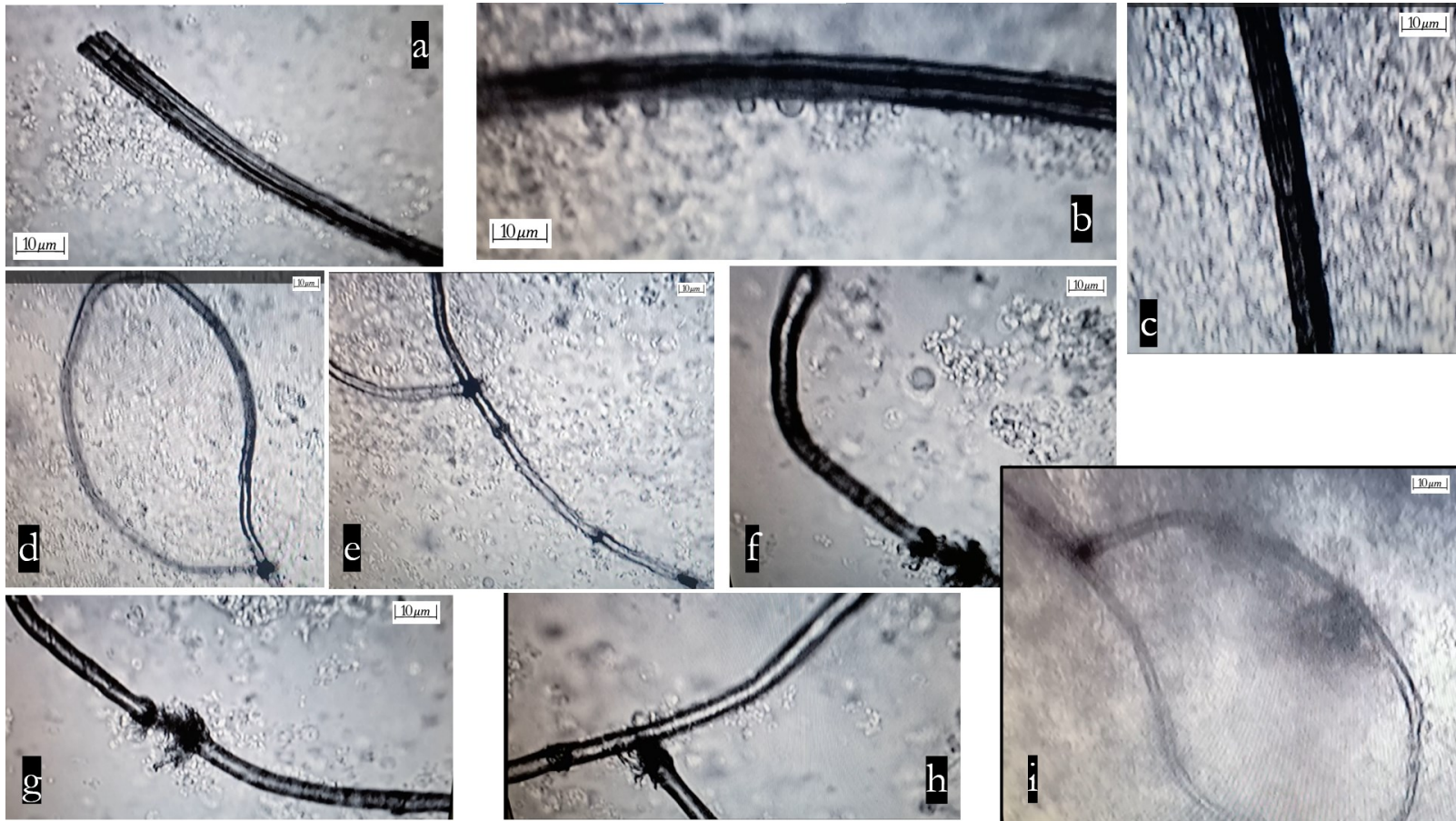


Figura 21. Hallazgos del estudio de incubación de Moderna en plasma 2: (a) Día 133: se desarrolló una estructura oscura similar a una tubería (100x); (b) con burbujas de desprendimiento (200x); (c) burbujas desaparecidas en el día 282 (100x); (d) y (e) Día 133: tubos con forma de lazo, similares a una trampa (100x); (f), (g) y (h) Día 133: puntos rotos y desconectados en el tubo con forma de lazo (200x); (i) Día 282: la misma figura se mantiene (100x).

#### 4. HEAT, EMF, AND UV EXPOSURES STUDY

##### 1) HEAT

Las placas de Petri se colocaron directamente sobre una plantilla térmica ajustada a 36,5 grados Celsius durante la noche. A la mañana siguiente, se observaron nanoestructuras autoensambladas flotando sobre la superficie del medio, con formas más discernibles y desarrolladas que antes de la exposición al calor. Se necesitaron de dos a tres semanas para el crecimiento de estructuras a temperatura ambiente (15~20 °C), mientras que el mismo crecimiento se produjo en una sola noche a temperatura corporal (Figura 22).



Figura 22. Estudio de calor (calentamiento) de Pfizer: después de 48 horas de calentamiento a BT en solución salina fisiológica: (a), (b), (c), (d) y (e): Estructuras geométricas tridimensionales bien ensambladas, flotando en la superficie del medio, tras 48 horas de calentamiento (36.5°C) en la plantilla de calor. El desarrollo acelerado coincidió de forma similar con los hallazgos de la 2<sup>a</sup>~3<sup>a</sup> semana del estudio de incubación no expuesta (400x).

El rápido desarrollo de nanoestructuras *in vivo* es probablemente significativo para el impacto de los inyectables contra la COVID-19 en seres humanos. Parece plausible que estas estructuras autoensambladas reaccionaran al calor directo que emanaba del fondo de las placas, desprendiéndose de su posición y moviéndose hacia la capa superior del medio. Cuando los viales residuales, recién descongelados, se incubaron en solución salina fisiológica sobre una plantilla de calor durante 48 horas, mostraron estructuras tridimensionales más detalladas y desarrolladas flotando en la superficie del medio, sin restos de material en el fondo; una velocidad de desarrollo acelerada que superó las 2~3 semanas observadas en los cultivos ordinarios.

## 2) CEM

### A. CARGADOR INALÁMBRICO CON UN TELÉFONO MÓVIL

Las placas de Petri se colocaron sobre el teléfono móvil, configurado en modo de transmisión 5G, sobre el cargador inalámbrico durante aproximadamente 1-2 horas. Se tomaron mediciones eléctricas y magnéticas mediante Triphase (véase la figura 3c). El campo se midió en 300 V/m, 0 en el campo H sobre el cargador inalámbrico.

La temperatura era de aproximadamente 15~20 °C. Las reacciones parecían ser las mismas tanto en solución salina fisiológica como en agua destilada. Incluso tras 1 hora de exposición al cargador inalámbrico con un teléfono móvil en modo operativo, Moderna mostró cambios inmediatos notables. Los materiales flotantes aumentaron de tamaño y número abruptamente, presentando bordes más nítidos y rectangulares (Figura 2

Por el contrario, Pfizer no mostró una respuesta inmediata, sino que, tras un mes de exposición, exhibió un efecto tardío: una proliferación moderada de filamentos flotantes, como se observa en la Figura 24.



Figura 23. Estudio del cargador inalámbrico para Moderna en agua destilada (Día 36, 200X): Moderna mostró una respuesta inmediata de multiplicación y expansión justo después de 1 hora de exposición al cargador inalámbrico. (a) antes de la exposición; (b) después de 1 hora de exposición.

Tanto en las placas de Petri de Pfizer (Día 101) como en las de Moderna (Día 36), tras la exposición al cargador inalámbrico, los restos no identificables, probablemente micromateriales, parecían desaparecer, dejando un fondo limpio en su lugar.

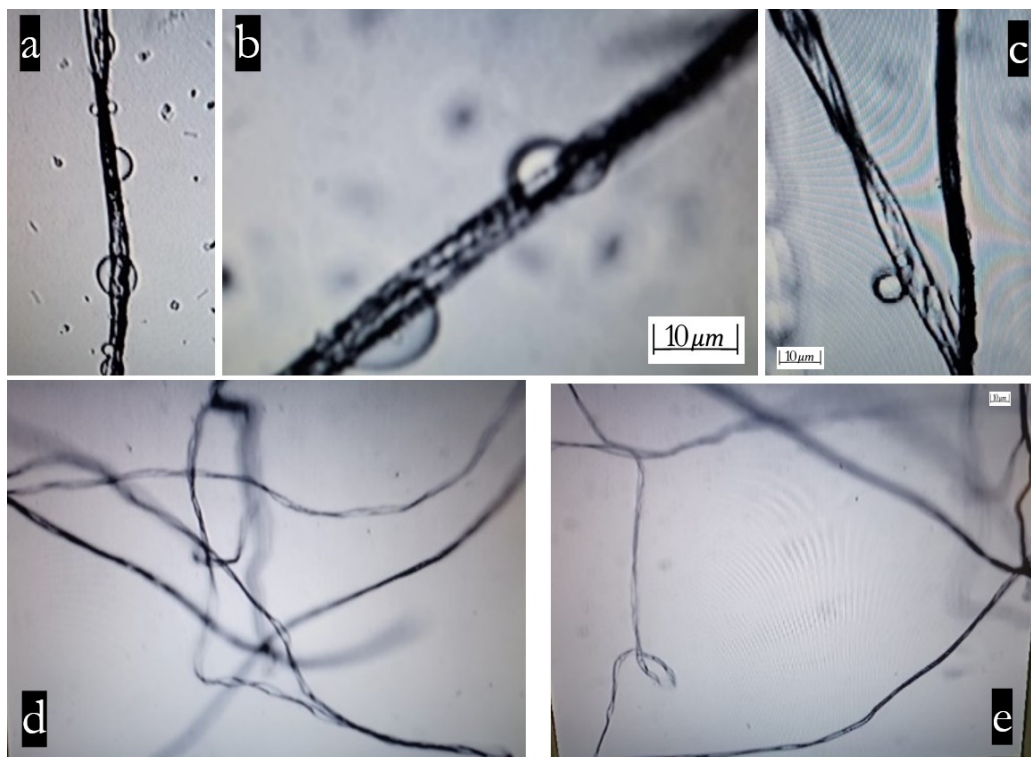


Figura 24. Estudio de cargador inalámbrico para Pfizer: (a), (b) y (c) filamentos con burbujas antes de la exposición, Pfizer en agua destilada, día 95 (100x); (d) y (e) 1 mes después de la exposición, Pfizer en agua destilada, día 126 (40x) : desaparición de las burbujas y mayor multiplicación.

## B. EXTERNAL HARD DRIVE EXPOSURE

La radiación CEM en la superficie de un disco duro externo se midió en aproximadamente 30 V/m y 4  $\mu$ T en campo H. La temperatura fue de unos 23~25 °C.

Tras dos horas de exposición al disco duro externo conectado a un PC en modo de funcionamiento, Moderna no mostró efectos notables, pero Pfizer sí mostró cambios disruptivos modestos: líneas limítrofes ligeramente difuminadas en las estructuras, con bordes más suaves asentados en el fondo de las placas de Petri. Básicamente, gracias al estudio preliminar de incubación previo, aproximadamente a los 101 días de incubación, las estructuras ensambladas en Pfizer en agua destilada se transformaron progresivamente en una neblina turbia de figuras más dislocadas y finalmente desaparecieron, quedando solo los filamentos flotantes y las cintas adheridas a diversas burbujas. Sin embargo, tras 2 horas de exposición, la degradación se hizo progresivamente más notable a medida que la mayoría de las burbujas desaparecían.

De manera significativa, al volver a colocar la misma placa de Petri de Pfizer (Día 101) sobre el cargador inalámbrico durante solo dos horas de exposición, las estructuras recuperaron, parcialmente, sus formas originales, con bordes más nítidos y mayor claridad (como se muestra en el cultivo del Día 101). En otras palabras, las diversas estructuras se reensamblaron una vez más adoptando formas similares a las que tenían antes de la exposición al disco duro externo. Véase la Figura 25 para más detalles.

A partir de los resultados de este estudio preliminar, se podría postular que cierto tipo de corriente eléctrica condicionada puede estimular la actividad de la nanoestructura, mientras que cierta corriente magnética condicionada puede inhibir su actividad. Según nuestra hipótesis, algunas modalidades de desintoxicación podrían ser eficaces en el tratamiento de órganos dañados por estas formas complejas de exposición a CEM.

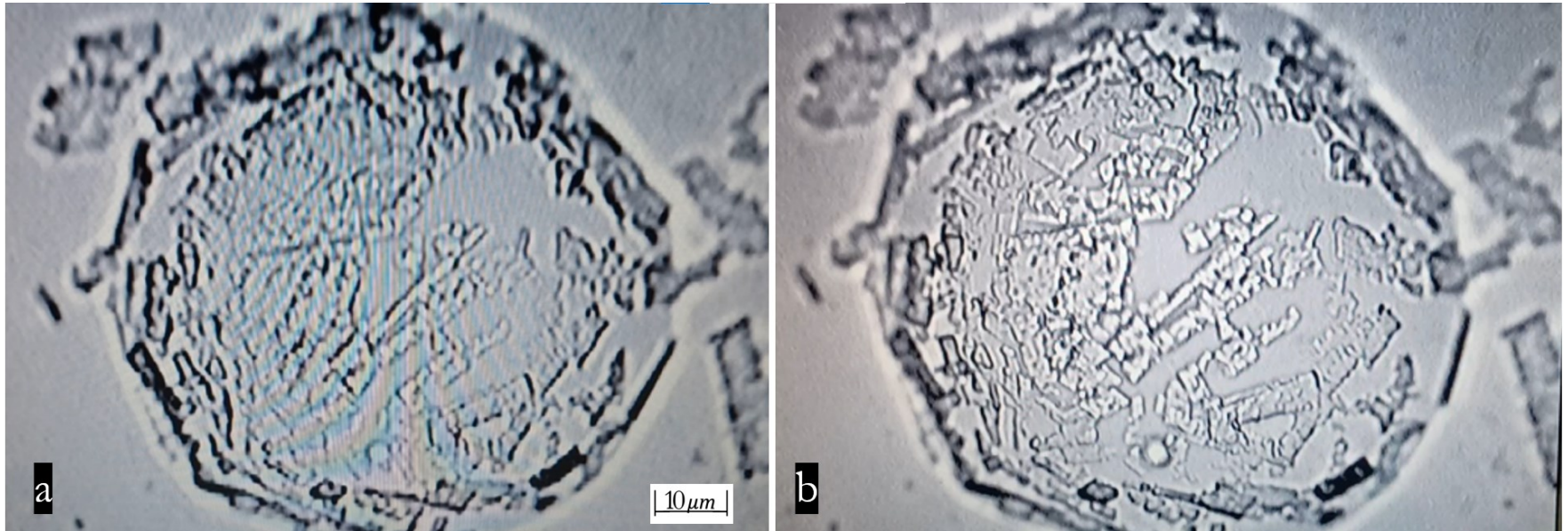


Figura 25. Estudio CEM (disco duro externo/cargador inalámbrico) de Pfizer en agua destilada (200X), 101 días de incubación: estudio de la exposición de Pfizer a un disco duro externo durante 2 horas en el día 101 de incubación en agua destilada, seguido de la exposición a un cargador inalámbrico durante 2 horas. (a) después de 2 horas de exposición a un disco duro externo: bordes más romos y alineación borrosa, con una degradación mayor que la del cambio por degeneración natural; (b) después de 2 horas de exposición al cargador inalámbrico inmediatamente después de la exposición al disco duro externo, apareció una leve recuperación (efecto de rescate).

### 3) Estudio UV

No se observaron diferencias inmediatas a corto plazo en las características de Moderna y Pfizer antes y después de la exposición. Sin embargo, tras una incubación prolongada, ambas muestras mostraron estructuras autoensambladas más persistentes, en lugar de patrones de desarrollo ordinarios, como se observó en otros medios sin exposición a la radiación UV. Esto contrasta con el autoensamblaje observado en la etapa máxima, entre seis y nueve meses, en un estudio observacional en curso.

#### 5.B ANÁLISIS BIOQUÍMICO DE LOS DIVERSOS “ MEDIOS DE CULTIVO ” DE “ VACUNAS ”

Se realizó una prueba de cribado para el análisis bioquímico de glucosa, proteínas, pH y sangre oculta mediante U-stick (Abbot, UroCor4, U040H012A <sup>0</sup>) en los diversos medios de cultivo inyectables, con el fin de evaluar cualquier cambio en los componentes químicos durante la incubación a largo plazo. El U-stick, al sumergirse en los medios de cultivo, reveló cambios colorimétricos que se resumen en las Tablas 12 y 13 (Apéndice A). De especial interés son los cambios observables a simple vista en la apariencia de los medios de cultivo: A lo largo del período de observación, la mayoría de los medios de cultivo translúcidos parecieron transformarse de transparentes a turbios, siendo este cambio más evidente hacia el día 150. Esta progresión se revirtió a su estado original de translucidez en la etapa tardía de la incubación (día 250).

La solución salina fisiológica (SSF) se utilizó como control para el estudio, mostrando todas las reacciones negativas esperadas en glucosa, proteína y pH <sup>6.0</sup>. Durante el primer día, la mayoría de los medios diluidos de Pfizer (P1, P2 y P4) y Moderna con agua destilada mostraron lo siguiente: una lectura positiva, aunque débil, en glucosa; una lectura negativa en proteína; <sup>6.0</sup> de pH; y una lectura positiva, aunque débil, en sangre oculta. La dosis de refuerzo de Pfizer (P4) mostró dos resultados positivos en sangre oculta, quizás como un falso positivo debido a sus interacciones con el peróxido. Cabe destacar que se obtuvieron resultados negativos en la detección de proteína en el primer día de incubación de todas las muestras estudiadas. La mayoría de los medios de cultivo mantuvieron un estado ácido, pH <sup>6</sup>, mientras que la glucosa mostró una lectura débilmente positiva, excepto durante la etapa temprana de incubación de Pfizer en agua destilada (día 23). Por supuesto, debería haberse detectado glucosa, ya que la FDA había informado de que la sacarosa era un componente de los “inyectables COVID-19”, especialmente los de Pfizer y Moderna.

Además, según la descripción de la FDA, no debería haber proteínas presentes. Los detalles se presentan en las figuras 28 y 29 de las páginas siguientes. Si bien no se detectaron proteínas en los medios de cultivo de Moderna durante todo el período de incubación, sí se detectaron en los medios de Pfizer, lo cual contradice claramente la descripción de la FDA. Esto incluyó dos lecturas positivas (100mg/dl) en la etapa inicial (día 23) que parecieron aumentar progresivamente hasta 300mg/dl incubadas en agua destilada en la etapa del día 79, pero finalmente se volvieron negativas en la etapa tardía de incubación (día 288). La aparición de proteínas pareció estar determinada por formas divergentes de los medios de cultivo. En solución salina fisiológica, se encontró una cantidad traza (10 mg/dl) durante la etapa tardía de la incubación (día 266), pero no se detectó nada en agua destilada durante el mismo período.

Algunos medios revelaron una lectura positiva (10 ~ 50 RBC/ $\mu$ l) para sangre oculta, pero esta lectura podría interpretarse como un falso positivo debido a la posible exposición a hipoclorito o peroxidasa. Sin embargo, en el bicarbonato de sodio, la muestra de Pfizer no mostró indicios de autoensamblaje en el fondo, posiblemente debido a la perturbación causada por los cristales de bicarbonato de sodio. No se observaron materiales flotantes y el pH se mantuvo en 9 incluso tras un mes de incubación. Quizás esto no se deba al diferente efecto del pH, sino a una perturbación causada por la formación de cristales en el fondo del cultivo debido a la exposición al bicarbonato.

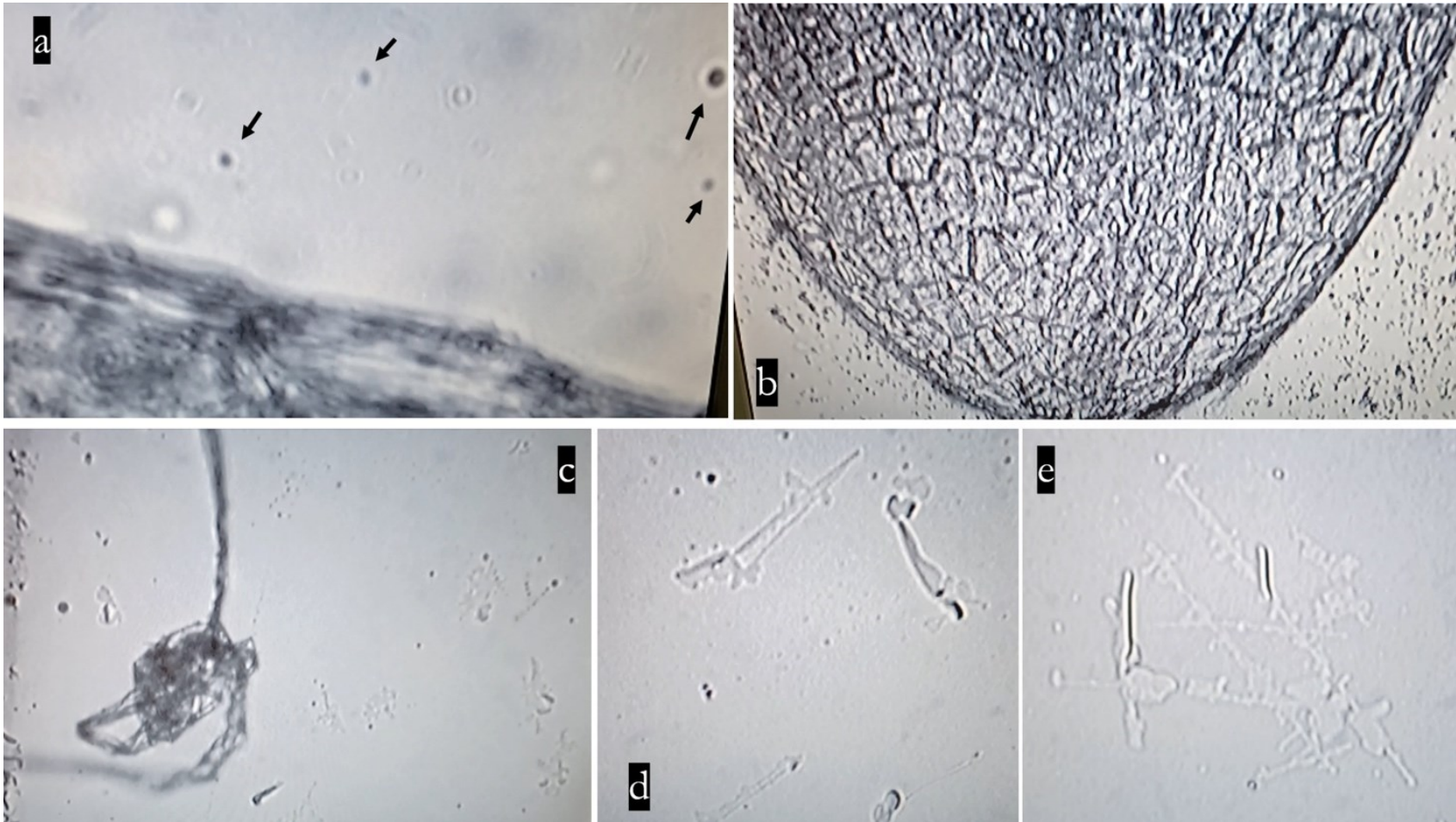


Figura 26. Estudio del patrón de reciclaje: patrón de reciclaje presuntivo del extracto de piel (E1) de un vacunado con Moderna en solución salina fisiológica: (a) pequeñas partículas oscuras similares a semillas (flechas) flotando alrededor del extracto de piel 1 (E1) en el medio de solución salina fisiológica (400 aumentos); (b) partículas diminutas dispersas alrededor del extracto cutáneo del vacunado, material oscuro de gran tamaño - estructura similar a piel de cocodrilo (100x); (c) Cultivo de semillas E1 en solución salina fisiológica: vestigio del autoensamblaje en el fondo y filamentos flotantes juntos tras 366 días de incubación (100x); (d) y (e) Vestigio de las estructuras geométricas autoensambladas tras 366 días de incubación (400x).

## 6. RECYCLING PATTERN

Cuando las partículas oscuras, similares a semillas, que flotaban alrededor del cuerpo principal del extracto cutáneo (E1), se recolectaron e incubaron en solución salina fisiológica —véase la Figura 26 en la página anterior—, tras 366 días mostraron un remanente o vestigio de las estructuras geométricas autoensambladas y algunos fragmentos de los filamentos, similares a los hallazgos de los estudios originales de incubación de ARNm. Cabe postular que los patrones de reciclaje aparecieron entre los estudios de incubación de los inyectables y la formación de materiales similares a semillas a partir de los extractos cutáneos anómalos del receptor.

Dado el comportamiento a largo plazo observado en las estructuras, ofrecemos el siguiente modelo, que sugiere el tipo de patrones de reciclaje que parecen estar presentes en las propias nanopartículas preprogramadas. Los patrones parecen coincidir con un período de inactividad en el que la actividad de autoensamblaje se encuentra latente. Cuando se cumplen las condiciones ambientales e internas adecuadas, postulamos que estas condiciones activan los materiales para reconstituir nanocircuitos/estructuras, tal y como se describe en la

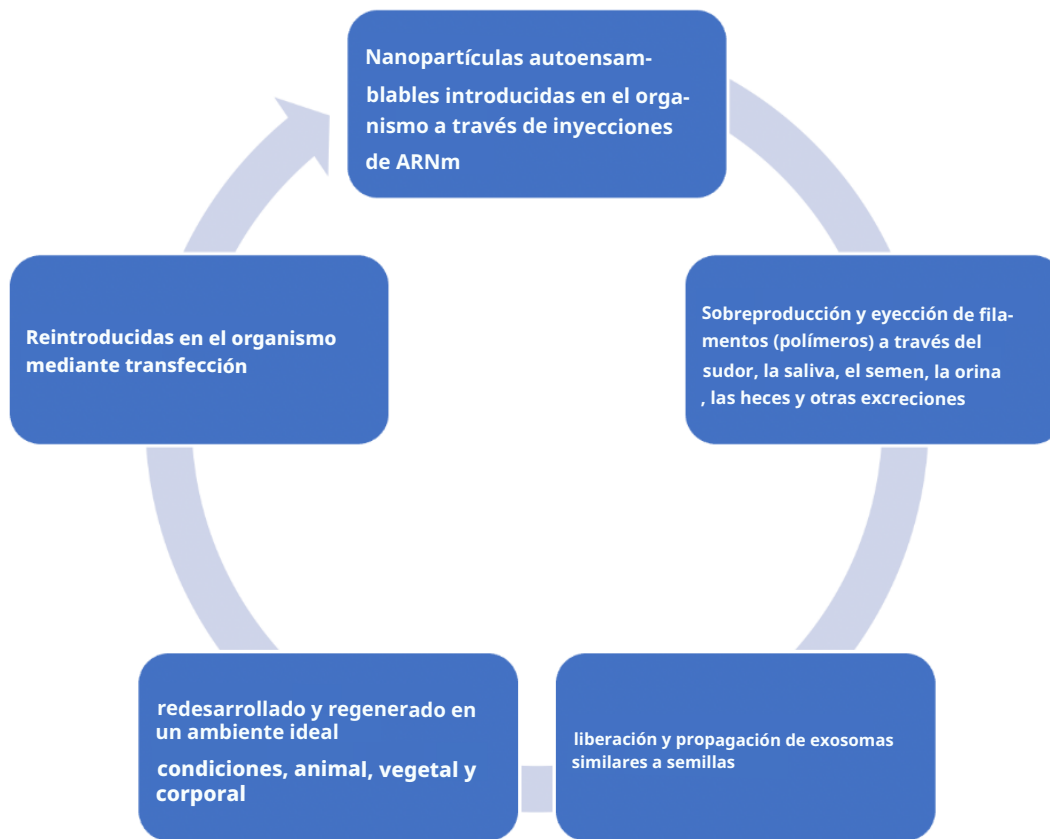


Figura 27. Modelo propuesto de patrón de reciclaje.

## Discusión

Desde la declaración de pandemia mundial por parte de la OMS el 11 de marzo de 2020, las violaciones de derechos civiles y humanos financiadas por los gobiernos —disfrazadas de remediación médica de la pandemia— estaban conduciendo en realidad a una opresión perjudicial e incluso letal en países de todo el mundo. Dado que las actividades científicas necesariamente presuponen un diálogo abierto, el pensamiento crítico y la prueba rigurosa de las afirmaciones de la verdad, sospechamos, al igual que muchos otros investigadores, que el programa para abordar una emergencia médica global era significativamente más complicado de lo que se había indicado. Una motivación adicional para este estudio, por lo tanto, fue desarrollar una visión integral de la declaración de la OMS que desencadenó el implacable impulso hacia el cumplimiento global total con las autoridades de “salud”.

Al igual que con tantos proyectos que emprendemos, se necesitan ciertos períodos de gestación, incubación o desarrollo para que emerjan diversas formas de vida, entendimiento o propósito. El propósito de este artículo es explicar fenómenos desconcertantes que aparecen bajo el microscopio y, por lo tanto, desarrollar, a partir de estudios de incubación, una mayor comprensión de la historia de la COVID-19. Comenzamos esta discusión haciendo referencia a la declaración pública de la FDA sobre los productos inyectables de ARNm comercializados por Pfizer y Moderna, que contienen los ingredientes indicados en las Figuras 28 y 29. En esta misma revista, Segalla (2023a, 2023b, 2023c) ha demostrado que muchos de los ingredientes mencionados en las Figuras 28 y 29 son extremadamente tóxicos.

En resumen, estos productos incluyen la codificación modificada para la proteína espiga inductora de ARNm, sospechosa de causar los coágulos blancos inductores de daño discutidos por Santiago y Oller (2023), junto con otros (p. ej., Mead et al., 2024a, 2024b, 2024c); la nanopartícula lipídica como portadora (en relación con los daños que esta pueda causar, véanse las referencias de Segalla); diversos adyuvantes, incluidas las propias nanopartículas lipídicas, para la estimulación inmunitaria; y deflectores incorporados, que consisten en N1-metilpseudouridinas sustituidas por uracilo en la codificación de la proteína espiga para ralentizar la degradación del ARNm en el cuerpo humano. Además, AstraZeneca y Janssen informan de que estas formulaciones contienen ADN codificado para la proteína espiga encapsulado por adenovirus. Por el contrario, se sabe que Novavax es un inyectable basado en la proteína espiga recombinante. Las proteínas espiga bioingenierizadas se recolectan y se ensamblan sobre una nanopartícula lipídica sintética de aproximadamente 50 nanómetros de diámetro, mostrando cada una hasta 14 proteínas espiga.

### **Ingredientes de la vacuna Pfizer Covid 19 (FDA)**

- mRNA, lipids ((4-hydroxybutyl)azanediyl)bis(hexane-6,1-diyl)bis(2-hexyldecanoate), 2[(polyethylene glycol)-2000]-N,N-ditetradecylacetamide, 1,2-Distearoyl-sn-glycero-3-phosphocholine, and cholesterol), potassium chloride, monobasic potassium phosphate, sodium chloride, dibasic sodium phosphate dihydrate, and sucrose.

**\*The Pfizer vaccine does not contain eggs, preservatives, or latex.**

Figura 28. Ingredientes de Pfizer.

### **Ingredientes de la vacuna Moderna Covid 19 (FDA)**

- Messenger ribonucleic acid (mRNA), lipids (SM-102, polyethylene glycol [PEG] 2000 dimyristoyl glycerol [DMG], cholesterol, and 1,2-distearoyl-sn-glycero-3-phosphocholine [DSPC]), tromethamine, tromethamine hydrochloride, acetic

Figura 29. Ingredientes de Moderna.

En nuestro estudio de las reacciones a los cuatro tipos de inyectables contra la COVID-19 (sangre total, plasma y esperma), Novavax fue la que mostró los efectos citotóxicos más rápidos. Sin embargo, los productos de ARNm de Pfizer y Moderna mostraron efectos progresivamente más perjudiciales y, en última instancia, letales sobre las células sanguíneas y espermáticas vivas. Además, produjeron estructuras geométricas autoensamblables sin precedentes, similares a chips, cintas, estructuras filamentosas y estructuras encapsuladas dentro de otras estructuras.

Si bien partimos de la base de que los ingredientes y componentes anunciados en las Figuras 28 y 29 están presentes en los productos fuertemente comercializados y respaldados por los gobiernos, un análisis más detallado y nuestros propios estudios experimentales demuestran que también deben existir nanomateriales no declarados, invisibles al examen microscópico estándar. Asimismo, a pesar de los informes ofrecidos para revisión pública que detallan los ingredientes, varios estudios adicionales descartarían la presencia de ADN o ARN convencionales, basándose en la ausencia de fósforo y nitrógeno, elementos abundantes en dichas macromoléculas (Hagimă, 2023a).

Expertos en genómica descubrieron recientemente que el gen SV40, promotor del cáncer, está presente en los inyectables contra la COVID-19 de Pfizer y Moderna (Murakami, 2023; McKernan et al., 2023). La conexión con el cáncer está bien establecida (Shah, 2006). Si la proteína Spike es producida por el ARNm programado inyectado, como se hipotetiza, el resultado podría desencadenar diversos efectos tóxicos en múltiples órganos, incluidos los vasos sanguíneos, lo que podría inducir finalmente fallos multiorgánicos: inflamación endotelial, impronta inmunitaria y tormenta de citoquinas (Blaylock, 2021, 2022a, 2022b). El contenido de la inyección podría dañar las mitocondrias intracelulares y los genes p53, sabotear la capacidad del cuerpo para reparar el ADN dañado, inducir el agotamiento del sistema inmunitario, desencadenar mutaciones genéticas y cánceres frecuentes, diversas enfermedades autoinmunes, así como fallos reproductivos (Alavi & Kheradvar, 2012; Xie et al., 2021; Idrees & Kumar, 2021; Classen, 2021; Seneff et al., 2022; Gat et al., 2022; Mead et al., 2024a, 2024b, 2024c).

A través del análisis bioquímico de los medios de cultivo inyectables, el hallazgo más significativo fue la presencia de proteína. Si los medios son alcalinos, o si contienen clorhexidina (0,25%), podrían revelar un falso positivo. Sin embargo, la mayoría de los medios de cultivo se mantuvieron ácidos durante todo el período de incubación, lo que eliminó la posibilidad de que se introdujera clorhexidina en el experimento. Si no hubo exposición a clorhexidina, como nuestro estudio ha garantizado, ¿cómo y de dónde podría haber surgido la proteína?

Durante el período de incubación inicial no se detectó la presencia de proteína. Sin contaminación bacteriana, la proteína solo podría haber sido producida por el propio inyectable en agua destilada o solución salina fisiológica. De acuerdo con la síntesis de proteínas acelular, descrita por Endo (2021), las burbujas observadas en nuestro estudio podrían ser el resultado de proteínas autosintetizadas, que podrían ser tóxicas.

Lo más interesante fue la progresión de la síntesis de proteínas, inicialmente no detectada, luego detectable (día 23 ~ día 82) y, finalmente, de nuevo indetectable. Descubrimos lo que, inicialmente, parecía ser una relación coincidente entre (a) los patrones de desarrollo de nanoestructuras autoensambladas (etapa máxima de desarrollo, de 2 a 6 meses), (b) el comportamiento del hidrogel (inicialmente transparente durante 2 o 3 semanas, posteriormente con una consistencia de emulsión tipo gel hasta el día 150 y, finalmente, volviendo a su consistencia transparente) y (c) la producción de proteínas en cierto grado. Se necesitan más estudios para aclarar las cuestiones centrales relativas a estas tres aparentes relaciones dinámicas. Volviendo al análisis de Burkhardt (2022), recordamos a los lectores los efectos de la proteína Spike y la síntesis de diversos materiales proteicos descubiertos en coágulos sanguíneos (aproximadamente 323 tipos de proteínas), especialmente 4 tipos derivados del daño del tejido endotelial.

Dados los análisis que presentamos, especulamos con que los materiales de los productos inyectables producen no solo la proteína Spike inducida, presumiblemente, por el ARNm modificado, según se ha informado públicamente, sino que también parecen existir diversas secreciones proteicas tóxicas anormales, probablemente derivadas de la presencia de las propias nanoestructuras o de bacterias de dominio cruzado a través de biología sintética híbrida (Maervoet et al., 2017). Se agradece cualquier análisis adicional.

Al informar de que las traducciones erróneas del ARNm modificado podrían producir una síntesis anómala de proteínas y estimular el sistema inmunitario humano para que reconozca estas anomalías como proteínas extrañas, Paul Marik y sus colegas (Front line COVID-19 Critical Care Alliance, 2023) demostraron el riesgo de desfase del marco de lectura ribosómico causado por la sustitución de uridina por N1-metilpseudo-uridina, con el fin de evitar su destrucción natural y asegurar un desarrollo de antígeno duradero, debido a la síntesis de la proteína espiga (Mulroney et al., 2024). Algunos investigadores han informado de que los inyectables contra la COVID-19 podrían estar relacionados causalmente con la fisiopatología de la amiloidosis y la enfermedad priónica (Perez et al., 2022; Classen, 2023; Leung et al., 2023).

Según Dhuli et al. (2023), mediante métodos de espectrometría de masas para analizar el suero sanguíneo de pacientes con "COVID persistente", se hallaron juntas tanto la proteína espiga viral como la proteína espiga inyectada durante el análisis. Este descubrimiento implica que el "COVID persistente" podría estar correlacionado tanto con la espícula viral de larga duración como con la proteína espiga inducida por la inyección.

Significativamente, ambas espículas mostraron diferencias notables. Su trabajo parece confirmar que el cambio de marco ribosómico se produce tras la inyección, lo que refuerza la especulación previa de que podría estar ocurriendo una producción anómala de proteínas. Si estas observaciones son válidas, la síntesis anómala de proteínas mencionada anteriormente podría desencadenar una variedad sin precedentes de enfermedades del tipo que están describiendo, por ejemplo, Mead et al., (2024b, 2024c).

A través de nuestros estudios observacionales de muestras de sangre y semen (compuestas en gran parte por células vivas), los inyectables contra la COVID-19 mostraron una citotoxicidad definida y constante, aunque en grados variables. Novavax y AstraZeneca, en particular, mostraron efectos tóxicos aún más rápidos que Pfizer y Moderna, a pesar de que las primeras no son productos de ARNm. Esta variabilidad podría ser significativa ante la creciente evidencia de la citotoxicidad de la propia proteína espiga.

Más allá de las secuelas de infecciones o inyecciones mencionadas, se han notificado diversos tipos de evidencia médica sobre las características tóxicas de la proteína espiga: la pérdida de fibra elástica podría inducir un envejecimiento cutáneo acelerado y la rotura vascular. Además, informes \*post mortem\* elaborados tanto por profesionales médicos como por embalsamadores han constatado un aumento significativo de signos de trombosis anómalas, probablemente debido a la presencia de coágulos fibrosos extremadamente alargados, singulares y nunca antes observados, categóricamente distintos de los coágulos sanguíneos comunes, extraídos de prácticamente todos los sistemas de conductos que transportan fluidos en el organismo.

Como informamos aquí, hemos aislado numerosos y diversos materiales no identificados —algunos de  $\mu\text{m}$  de tamaño—, que van más allá de las nanopartículas descritas en los informes de la FDA para los inyectables de ARNm, tanto en los productos de Pfizer, como, incluso más, en los de Moderna.

Tras concluir varios experimentos y estudios observacionales minuciosos, inferimos que los materiales y las etapas de desarrollo observadas no son naturales, sino sintéticos y elementales, y parecen seguir un proceso bien programado de autoensamblaje estructural. Que su producción final provisional pueda describirse como artificial ya se ha sugerido en los numerosos artículos referenciados hasta el momento.

Los resultados de los experimentos con exposición al calor y a la energía electromagnética fueron significativos: Las exposiciones a corto plazo mostraron cambios notables en las estructuras autoensambladas. La radiación ultravioleta, la luz visible, la temperatura, el nitrógeno, las fuentes de carbono en el aire, los campos electromagnéticos, diversas frecuencias de onda y otros factores pueden, evidentemente, desencadenar la reacción de nanopartículas, ya sea para ensamblar o desensamblar lo que parecen ser estructuras preprogramadas.

Suberi et al. (2023) informan sobre desarrollos recientes con un nuevo vehículo de administración de ARNm que utiliza polipléxos de poli(amina-*co*-éster) biocompatibles optimizados. Señalan que el nuevo sistema es un polímero altamente personalizable para la administración de vacunas inhalables al pulmón. Si estos inyectables previos, en tanto que nanopartículas programadas que posteriormente producen polímeros, se introducen en los deltoides de los receptores —como se hizo a través de muestras aleatorias experimentales—, la próxima generación de “vacunas” podría administrarse mediante inhalación nasal o parches cutáneos, utilizando materiales similares basados en polímeros a través de nanopartículas programadas.

Sasha Latypova, ejecutiva e investigadora de la industria farmacéutica, descubrió una desviación extrema en los efectos secundarios entre los viales de diferentes lotes de los inyectables de ARNm COVID-19. En un mundo normal, este tipo de desviación tan desigual sería intolerable en productos farmacéuticos ordinarios, sujetos a la supervisión rutinaria de organismos reguladores que se adhieren estrictamente a los protocolos establecidos y a las directrices de seguridad. No obstante, como se le ha recordado continuamente al público, vivimos en una “nueva normalidad”. Por lo tanto, ¿cómo podríamos entender, en términos más generales, esta obvia desviación de la antigua normalidad? Una manera es considerar la intencionalidad. Estos productos estaban destinados a servir, ante todo, como inyecciones experimentales para toda la humanidad, incluyendo todas las etnias, sexos y grupos de edad.

Esta descripción concuerda con la carta de aprobación de la FDA del Comirnaty (producto de Pfizer; FDA, 2021) , el requisito de seguimiento posterior a la comercialización en lactantes menores de 6 meses, la finalización del estudio prevista para el 31 de julio de 2024 y el informe final que debe presentarse antes del 31 de octubre de 2024. Resulta significativo que, en los documentos adjuntos de los productos inyectables, todos los detalles referentes a las fábricas de manufactura fueran llamativamente omitidos, lo que suscita interrogantes importantes sobre el secretismo que menoscaba el consentimiento informado.

En lo que respecta a la exposición de la “vacuna” a energía electromagnética, observaciones preliminares indican que los materiales presentes en los inyectables reaccionan positivamente a cargadores inalámbricos de teléfonos móviles, mientras que reaccionan negativamente a discos duros externos. Dada su sensibilidad a la frecuencia electromagnética, es plausible que los componentes inyectables estén diseñados para actuar como una especie de semiconductor. Numerosos investigadores han señalado los efectos biohazardos de los campos de energía electromagnética en el cuerpo humano, especialmente en lo que respecta a carcinogénesis, neurodegeneración, daños a las células reproductoras y daños de rápido desarrollo a las células fetales (Ilori et al., 2019 ; Kashini et al., 2023 ; Noor-A-Rahim et al., 2022 ; Dasdag et al., 2015 ; Russell, 2018 ; Moon, 2020 )

Los cargadores inalámbricos o los discos duros externos son dispositivos electrónicos personales útiles y muy comunes. Si los receptores de los inyectables experimentales (“vacunas”) tienen estos materiales circulando en su cuerpo y utilizan estos dispositivos electrónicos personales, dichos dispositivos podrían, más allá de la exposición rutinaria a campos electromagnéticos, aumentar el daño a su salud, particularmente a la regeneración celular, ya que los componentes reaccionan sinérgicamente con la radiación ambiental.

Si los componentes inyectables están diseñados, en parte, para servir como software y hardware para la construcción clandestina de redes intracorpóreas, tal y como sugieren Kyrie y Broudy ( 2022 ), es probable que interactúen con campos de energía electromagnética externos al cuerpo. En la presente etapa de desarrollo de las redes de comunicaciones móviles a nivel mundial, instamos a los investigadores a reproducir

nuestros esfuerzos o a establecer estudios alternativos para comprender mejor los posibles efectos remotos en la biología humana, animal y vegetal ante las futuras iteraciones 6G y 7G de WiFi y LiFi.

A pesar de la especulación desenfadada existente en la literatura con respecto al uso de productos inyectables contra la COVID-19 y al desarrollo de redes inalámbricas de área corporal (WBAN, Jornet & Akyildiz, 2013 ; Jing et al., 2023 ), es necesario un mayor trabajo interdisciplinario. Tales estudios contribuirían al desarrollo de posibles modalidades de tratamiento electromagnético para aquellos receptores que busquen alternativas a los protocolos de quelación estándar, o que deseen escapar por completo de un entorno contaminado por energía electromagnética.

Además, los estudios de incubación revelaron que el agua destilada actuaba como un medio ideal para manifestar cambios singulares en el desarrollo de los contenidos inyectables. Puesto que el agua destilada no está adulterada ni alterada por sus propias propiedades electroquímicas, postulamos que posee un potencial latente para manifestar las vías de desarrollo específicamente diseñadas, las características previstas de los contenidos inyectables, y para responder, según lo programado, de manera fácilmente observable a la energía electromagnética.

En la reacción plasmática, especulamos que el proceso de autoensamblaje de los nanomateriales se vio obstaculizado por la profusión de células sanguíneas en el fondo de la placa, donde el espacio para el autoensamblaje ya estaba ocupado. Sin embargo, tras un mes de incubación, se encontraron muy pocas astillas pequeñas en el fondo de la placa de plasma, que posteriormente desaparecieron. Posteriormente, aparecieron filamentos y estructuras similares a tuberías, aunque relativamente pequeños y escasos, que mantuvieron su morfología hasta la fase tardía de la incubación. Este hallazgo indica que el ensamblaje inicial en el fondo no es un prerrequisito para el desarrollo posterior de las estructuras filamentosas. Así pues, *in vivo* , podría ser posible producir varios nanofilamentos o nanotubos de carbono sin ningún prerrequisito.

En el análisis de coágulos sanguíneos de personas vacunadas, se hallaron algunas estructuras filamentosas adheridas a coágulos blancos turbios homogéneos de color parduzco, extraídos de la capa media del sedimento de sangre total. Cuando se encuentran muy cerca de un campo electromagnético, los filamentos podrían desencadenar la formación de un coágulo y, por lo tanto, perturbar el flujo libre de sangre o linfa. Dado su tamaño microscópico y su amplia distribución por todo el cuerpo, si estos materiales extraños interactúan con fuentes de energía internas o externas, tal y como indica la literatura, bien podrían alargarse, agrandarse y actuar como modos misteriosos de morbilidad y eventual mortalidad.

Más allá de la fisiopatología descrita, el trabajo teórico de la nanotecnología, según se describe en décadas de publicaciones, parece estar presente en la aplicación práctica de las “vacunas” de ARNm, especialmente en Pfizer y Moderna. Las observaciones anecdóticas de pacientes que sufren diversas lesiones repentinas e inusuales tras el lanzamiento inicial de las “vacunas” desencadenaron nuestras investigaciones, tanto en los estudios de incubación en laboratorio como en la literatura publicada sobre biología, nanotecnología, ciencia de campos electromagnéticos e ingeniería de materiales. Tomados del contenido original de la “vacuna”, los estudios de incubación resultaron fructíferos para identificar diversos materiales extraños y comprender mejor su posible fisiopatología *in vivo* . Sin embargo, otros investigadores han sugerido que los materiales podrían ser simplemente cloruro de sodio (NaCl) y otros contaminantes, y que los comportamientos observados serían simplemente resultado de la cristalización natural. Toda esa clase de objeciones puede abordarse recurriendo a principios de la física.

Se sabe desde hace tiempo que los fractales se forman en dimensiones lineales a través de patrones predecibles regulares, y que, cuando los factores ambientales son óptimos, como la oscilación en el universo material, los fractales desarrollan dimensiones estructurales superiores (Dubuc et al., 1989 ). Además, se ha observado de forma generalizada

que el residuo de la mayoría de las soluciones evaporadas presenta cristales similares, especialmente NaCl y diversos tipos de electrolitos, e incluso en el agua misma a través del mecanismo de hidroglicos (Wakeling citado en Bailey, 2022). Por lo tanto, era necesario cultivar las sustancias inyectables en medios que mantuvieran un estado líquido ininterrumpido, lo que permitiría verificar que este tipo de estructuras autoensambladas no son los mismos cristales naturales inducidos por procesos de evaporación normales.

Significativamente, la tecnología de ARNm se comercializa a menudo en términos de \*software\*, como una especie de sistema operativo o plataforma tecnológica (según el sitio web de Moderna). Aunque la caracterización original de Moderna de la tecnología de ARNm como un programa informático se ha eliminado de su sitio web, la ofrecemos a los lectores como recordatorio de su concepto prototípico:

Reconociendo el amplio potencial de la ciencia del ARNm, nos propusimos crear una plataforma tecnológica de ARNm que funcione de manera muy similar a un sistema operativo en un ordenador. Está diseñado para que pueda conectarse y funcionar indistintamente con diferentes programas. En nuestro caso, el “programa” o “app” es nuestro fármaco de ARNm: la secuencia única de ARNm que codifica una proteína (Moderna citado en numerosos artículos; por ejemplo, véase Reuters, 2021; Martín, 2024).

Los patrones geométricos de la mayoría de las estructuras autoensambladas, como los de los circuitos electrónicos o las estructuras tridimensionales tipo \*chip\*, se degradaron progresivamente después de aproximadamente el día 80 durante la incubación del refuerzo de Pfizer (inyección número 4, P4), cuya cronología es diferente a la de los otros inyectables (P1, P2 y Moderna), manifestándose también patrones de degradación similares. Esto significa que los nanomateriales inyectados parecen estar programados para comportarse de la manera observada y para llevar a cabo intervalos regulares de autoensamblaje y desensamblaje. Teorizamos que todo el proceso debe ser reforzado periódicamente, probablemente a través del régimen prescrito de nuevas “dosis de refuerzo”, según las recomendaciones de los CDC.

Ocasionalmente, otros investigadores han notificado hallazgos microscópicos de estructuras filamentosas en solución salina fisiológica de marcas comerciales. A pesar de las similitudes aparentes en la morfología con los filamentos inyectables, las estructuras encontradas en la solución salina difieren ligeramente en su comportamiento y patrones de crecimiento. Fueron notables las diversas estructuras inusuales que aparecieron: cintas rizadas estriadas únicas y varios filamentos, con escamas similares a la piel de serpiente, que parecían contener compartimentos huecos, como el bambú al desprender burbujas. Estas estructuras proliferaron por todo el medio, alargándose, torciéndose, anudándose, decolorándose y variando en su textura.

Durante nuestros estudios observacionales, los filamentos que parecían desprender burbujas mostraron una actividad constante. Recomendamos encarecidamente que se realicen estudios adicionales para determinar si estos filamentos proceden del medio básico o del propio producto inyectable. En cualquier caso, aislar su origen podría representar un descubrimiento significativo para determinar si muchos, o incluso la mayoría, de los otros productos farmacéuticos y/o procesos de fabricación ya están contaminados por nanotecnología. Es preocupante pensar que esta tecnología encubierta podría no limitarse a los inyectables contra la COVID-19. Se observaron estructuras autoensambladas geométricas muy detalladas, que presentaban ángulos rectos, en el fondo de las placas de Petri (en un estado líquido bien mantenido), mientras que en la capa superior aparecieron estructuras flotantes desprendidas durante las primeras semanas, como se ha indicado.

La investigación en ingeniería de nanomateriales demuestra que los robots magnéticos biohíbridos (magnobots basados en microalgas) podrían producirse e impulsarse por todo el cuerpo mediante diversos factores desencadenantes: energía electromagnética, cambios en el rango de pH, manipulación de los niveles de glucosa y variación de los espectros de luz, con el objetivo de dirigirse a determinados tejidos (Li et al., 2023). Las observaciones realizadas durante nuestros estudios de incubación sugieren la presencia de magnobots, especialmente en la muestra de Pfizer.

Nuestros estudios de cultivo revelaron que los productos de Pfizer en simple agua destilada producían una variedad de cintas transparentes, membranas delgadas similares a películas, espirales y hélices, incluso sin exposición a suplementos especiales o fuentes de energía ambiental. Estos patrones de crecimiento y apariencia en los medios de cultivo no podrían explicarse sino mediante mecanismos de acción peculiares a la nanotecnología (Cao, 2019 ; Truong et al., 2016 ). Durante la etapa inicial de incubación con diversas soluciones electrolíticas, el proceso de autoensamblaje posiblemente se vio interrumpido, en cierto grado, por la cristalización que tuvo lugar en los diversos medios y soluciones y su consiguiente propagación por el fondo de la placa.

Diversos tipos de cintas transparentes, películas, espirales y hélices aparecieron en la muestra de Pfizer incubada en agua destilada. Estas estructuras eran muy similares a los micro- y nano-robots magnéticos ya presentados en numerosos artículos académicos (Zhou et al., 2021 ). Según numerosos investigadores, estas estructuras podrían servir como conductores de señales, biosensores, interruptores o dispositivos electrónicos necesarios para el movimiento transhumanista hacia una sociedad posthumana (Kyrie & Broudy, 2022 ; Mousavi et al., 2021 ; Bailey, 2022 ; King Abdullah University, 2021 ; Alamoudi et al., 2021 ; Marsudi et al., 2021 ; Zhang et al., 2019 ; El-Husseiny et al., 2022 ; Shiu et al., 2022 ; Zhou et al., 2021 ; Johnson, Broudy & Hughes, 2024a , 2024b , 2024c , 2024d ). Estas estructuras también podrían servir como nanodispositivos, tales como antenas plasmónicas o transceptores para comunicaciones en la banda de los terahercios (Jornet & Akyildiz, 2014) . Se sabe que las nanoestructuras son estimuladas para crecer y llevar a cabo funciones a partir de diversos desencadenantes: luz visible, temperatura (calor), campos electromagnéticos, radiación ultravioleta, agua, carbono y oxígeno a través del aire, y electrolitos especiales como el  $\text{Ca}^{++}$  . Hemos podido confirmar estos fenómenos mediante observaciones longitudinales.

También es digno de mención el fenómeno observado en la capa superior y la capa media de los medios de cultivo , probablemente debido a la masa y al peso de las estructuras. Durante la etapa tardía de incubación de Pfizer en agua destilada, aproximadamente en el día 337, surgieron haces transparentes de tubos huecos con forma de alambre y, en la capa superior, mostraban una estructura similar a la del extracto de piel 2 (otro paciente anónimo designado simplemente como E2). Sin embargo, estos filamentos tenían un carácter diferente al de los filamentos ordinarios. Al momento de redactar este informe, los tubos se han transformado en cintas rizadas estriadas únicas.

Este proceso de morfología dinámica y cambiante representa un indicio clave de otro tipo de patrón de reciclaje, probablemente relacionado con la inyección y la producción de extractos cutáneos observables a partir de estudios de incubación a largo plazo. Además, los haces y las cintas podrían estar compuestos de sílice más duradera y de larga duración, o podrían ser nanotubos de polímero sintético recubiertos de grafeno, o nanohilos similares que actúan como conductores o semiconductores capaces de resistir temperaturas de 1000 °C a 4000 °C, según la literatura de investigación pertinente (Hagimã, 2023b). Si bien la presencia de materiales extraños en el cuerpo humano desencadena diversos procesos naturales de desintoxicación, algunos materiales, no obstante, persisten a pesar de todos los intentos por quelarlos o dismantelarlos. Se sabe desde hace mucho tiempo que el aluminio, por ejemplo, se aloja en el cerebro durante largos períodos, y a menudo las consecuencias son trastornos y enfermedades neurológicas (Shaw, 2017) . Por lo tanto, de nuestras observaciones inferimos que es necesaria una discusión crítica sobre posibles tratamientos o regímenes de desintoxicación.

En especial con respecto a los sujetos de prueba que han sido vacunados en el plazo de una o dos semanas, el agua de sílice podría ser útil, ya que podría perturbar la etapa temprana del ensamblaje de las estructuras similares a chips. En una etapa posterior , por ejemplo, tres semanas después de la inyección, se ha observado que el oro o la plata coloidal (de 3 a 5 nm de diámetro y 10 a 20 ppm) se adhieren a varias nanoestructuras, las interrumpen, degradan activamente y, en última instancia,

las disuelven. Los resultados a largo plazo de dichos protocolos de tratamiento se están examinando en experimentos en curso. También se ha demostrado que la mica presenta efectos positivos similares.

La exposición rutinaria a saunas calientes también puede provocar que los nanomateriales se desprendan de los tejidos y se liberen a través de los poros de las glándulas sudoríparas. Postulamos que la recuperación de órganos dañados y el flujo sanguíneo normal pueden restablecerse con el uso de oro o plata, u otros cristales especializados con sus propias frecuencias curativas únicas. Dado que la energía electromagnética estimula la formación de las nanoestructuras observadas, la (re)conexión a tierra regular del cuerpo puede ayudar a descargar el exceso de energía electromagnética acumulada en los tejidos. Evitar la exposición excesiva e innecesaria a la energía electromagnética también puede ser beneficioso. Los dispositivos electrónicos personales, como relojes inteligentes, teléfonos inteligentes, auriculares inalámbricos, routers wifi y cualquier otra forma de contaminación electromagnética, deberían reducirse significativamente, o incluso eliminarse. Los diversos remedios que describimos aquí podrían ser aplicables como regímenes de desintoxicación para las "vacunas", siempre teniendo en cuenta la variabilidad individual de cada respuesta.

## Conclusión

Una revisión de informes oficiales gubernamentales y literatura académica en biotecnología, nanotecnología, ciencia de materiales e ingeniería electrónica, combinada con estudios longitudinales de incubación, revela evidencia convincente de diversas irregularidades fundamentales. Las plataformas inyectables de ARNm modificado —ampliamente conocidas como "vacunas"— que se inyectan en los deltoides de miles de millones de seres humanos, están adulterando evidentemente lo que ya existe.

Estudios observacionales y análisis comparativos sugieren que aparecen contaminaciones intencionales en los viales de la "vacuna", en muestras de sangre extraídas de sujetos de prueba expuestos a las "vacunas" y en la subsiguiente diseminación de productos biológicos sintéticos (Woodruff & Maerkl, 2016). Tanto la morfología como las características de comportamiento de estos fenómenos observados sugieren que, lejos de ser puras (Finn, 2011 p. 138), estas sustancias inyectables están compuestas por componentes adicionales de ingeniería, hasta ahora no revelados, que responden a una variedad de formas internas y ambientales de energía, todas las cuales son rastreables y se describen en la literatura académica.

Se observan profundas desviaciones del significado generalmente aceptado del eslogan publicitario de la "vacuna" y su afirmación de "segura y eficaz" al examinar los "productos biológicos" bajo el microscopio.

El exceso de muertes, las incidencias de cáncer "turbo" y diversas enfermedades autoinmunes notificadas a nivel mundial desde el lanzamiento de los "inyectables" muestran una correlación sospechosamente alta. Las alteraciones que hemos descrito sugieren una clara correspondencia con la infraestructura de comunicaciones que ahora se vislumbra en construcción, en el largamente planificado y bien financiado Internet de los Cuerpos, el IoB (Celik et al., 2022), una suerte de sistema nervioso central global sintético, cuyos detalles se debaten e ilustran también ampliamente en el corpus académico. Los robots magnéticos biohíbridos, en particular, representan una preocupación significativa para los investigadores que intentan comprender la capacidad de respuesta de estos "productos biológicos" a las fuentes de energía. Nos unimos a las peticiones de otros investigadores que participan en estudios similares: hasta que los componentes puedan ser verificados y se comprendan sus efectos a largo plazo, una necesidad que se ignora al solicitar la Autorización de Uso de Emergencia, se precisa una prohibición global inmediata.

## Responsabilidades de los autores

Youngmi Lee: conceptualización, diseño de la investigación, análisis de imágenes, gestión de datos, redacción del borrador original.

Daniel Broudy: Análisis de imágenes, selección de datos, edición, redacción y revisión.

## Aviso legal

La información contenida en el sitio web y en el **IJVTPR** no pretende servir como diagnóstico, tratamiento recomendado, prevención o cura para afección humana alguna ni procedimiento médico al que se haga referencia. Los usuarios y lectores que sean padres, tutores, cuidadores, profesionales sanitarios o familiares de personas afectadas por cualquiera de las afecciones, procedimientos o protocolos mencionados, deberán recurrir a su propio juicio para su aplicación específica. Los autores, editores y personas asociadas, a cualquier título, con el sitio web o con la revista, declinan toda responsabilidad ante cualquier persona o entidad por cualquier daño, pérdida económica, lesión física u otra sanción que pueda derivarse del uso o aplicación, en cualquier contexto, de la información, conclusiones, resultados de investigación, opiniones, errores o declaraciones que se encuentren en el sitio web o en el **IJVTPR**. El material presentado se ofrece libremente a todos los usuarios interesados en examinarlo, siendo la forma en que decidan aplicarlo responsabilidad exclusiva del espectador/usuario. Si se cita o reimprime material, se ruega a los usuarios que reconozcan la fuente/autor y que se ajusten a los requisitos no comerciales y sin obras derivadas de la Licencia Creative Commons 4.0 NC ND o a cualquier otra licencia que tenga prioridad sobre esta

# Apéndice A

En este apéndice se presentan las tablas mencionadas anteriormente, que comienzan en la página 1196 del texto.

Tabla 5  
Comparación entre medios de semen y sangre con distintos grados de incubación con inyectables

	Pfizer 1		Pfizer 2		Pfizer 4		Moderna		AZ	
<b>Plasma 1</b> de un no vacunado	D24	D146					D24	D146		
	C +/-	C -					C +/-	C -		
	F -	F -					F -	F +/-		
<b>Plasma 2</b> de un no vacunado		D146						D146		
		C -						C -		
		F +						F +		
<b>Semen 3</b> De una persona que recibió Segunda dosis de Pfizer	D37	D362	D37	D362	D37	D362	D37	D362	D37	D362
	C +	C +(1-2Ds)	C +	C -	C +	C -	C ++ (2 Ds)	C + (1-2Ds)	C -	C -
	F + (Cuerda)	F +	Nanogusano +	F ++	F +	F +	F +	F +	F +	F +++++
			F +	SH +		f/b	T +	R +		SH +/-
			R +							

D = día de observación tras la incubación; Ds = dimensiones; C = ensamblaje geométrico tipo chip; F = filamentos observados; R = material tipo cinta; T = similar a un trozo objeto que aparece de cinta adhesiva; SH = cabeza de espermatozoide intacta; f / b = contaminación atribuida a hongos o bacterias

Tabla 6

Citotoxicidad observada en el % de motilidad de las células espermáticas a lo largo del tiempo con diversos productos químicos  
Utilizando la muestra de semen más saludable (Semen 4) disponible para el estudio

Tiempo lapso	Coreano Rojo Espiritu (vino de prueba 20)	Mica de Cerveza	Oro Coloidal (GNP1 )	Sílice Vitamina agua	C	Hipoclorito de calcio Ca(OCl) <sub>2</sub>		Medio de incu- bación de E1
						0,001 % (1X)	0,01 % (10X)	
0	0						0	
30 m	0	1%					0	
1,5 h	0	1%	0	10%	0	0	0	10%
3 h	0	0	0	0.1%			0	

E1 = Extractos de piel de un vacunado con Moderna; † = medio de incubación a largo plazo de E1 con solución salina fisiológica; m = minuto; h = hora

Tabla 7

Diferencias de crecimiento entre los medios con vacunas de ARNm (Pfizer & Moderna)

Día D	A / W				N/S			H/S				Ca(OCl) <sub>2</sub> (1X) 0.001% †			ClO <sub>2</sub> (1/100 X) 1ppm †			
	41	D60	85	D297	D51	D95	D306	D42	D60	D85	D297	D42	D85	D311	D18	D111	D 230	
<b>P1</b>	C+++ F + R ++	C++ + F + R++	C + F++ R++ S+++	C - F +++ R+ S +/- W +	C++ (3Ds) F + R ++	C+++ F ++ R +	C +/- F +++	C+/- F -	C - F -	C+/- F +	C - F +	C+++ F -	C++ (3Ds) F +	C - F +	C+/- F -	C ++ F -	C - F +	
<b>P2</b>			C - F +	C - F ++	C + (1-2Ds) F -	C++ (2Ds) F+	C - F + (retorcido , burbujeante con superficie)	C+/- F +	C - F -	C - F++	C - F +	C+ F -	C +/- F +	C +/- F +++				
<b>P4</b>					C +++ (3Ds) F +	C +++ (1- 2Ds) F +	C - F +++ ( más corto )	C + F -	C +/- F -	C +/- (1-2Ds) F +	C +/- (1-2Ds) F +	C + F -	C+++ (3Ds) F ++	C - F +++				
<b>M</b>	C +++++ F + (extremo ramificado)	C +++++ F + R +/-	C - F +/- R -	C +++++ F + R +	C++ F +/-	C - F - Círculo + La parte inferior	C +/- F -	C +/- (1-2Ds)	C +/- F +	C - F +	C + R +++	C++ F+++ R++	C - F ++ (más corto)	C+/- F -	C +++ F -	C - F +		

C = Ensamblaje tipo chip en la parte inferior; F = Filamentos en la capa intermedia; R = Cinta flotando en la capa superior; S = Espirales; W = Cables transparentes; Ds = dimensión; D = Días de incubación; + = Concentración estándar aplicable para agua potable

**Tabla 8**

Hipoclorito de Calcio, Ca(OCl)2 Estudio dependiente de la dosis para vacunas contra la Covid-19

Días	Pfizer (P1) para adultos		Pfizer (P2) para niños		Moderna		AZ	NV	
	D85	D311	D85	D311	D85	D311	D85	D85	
	C	F	C	F	C	F	C/F	C/F	
A / W	+++	++ Cinta	-	+++ Alambre	-	+	-	-/-	-/-
<b>1X †</b> (0,001 %)	++	+	-	+	+/-	+	-	++, Más corto	-/-
<b>10X ‡</b>	+	++	+/-	+++ (1-2Ds)	+/-	++	-	++++, burbujeante	C - F +
<b>20X</b>	+	+/-	-	+/-	+/-	+	-	++, Pequeño burbujeante	-/-
<b>30X</b>	-	-	-	+/-	-	-	++	+/-	++
<b>50X</b>	-	-	-	-	-	-	-	-	-/-

X = grado de concentración; C = ensamblaje tipo chip en el fondo; F = Filamentos en la capa intermedia; Ds = dimensión; D = días de incubación; D / W incubación en agua destilada para la comparación; AZ = AstraZeneca; NV = Novavax; + = concentración estándar aplicable para agua potable; Concentración estándar para la desinfección de piscinas

Tabla 9

Estudio de Dosis Dependiente de Dióxido de Cloro, ClO<sub>2</sub>, con Incubación de Vacunas de ARNm contra la Covid-19

Días	Pfizer							Moderna						
	D18	D85		D111		D230		D18	D85		D111		D230	
C/F	C	C	F	C	F	C	F	C	C	F	C	F	C	F
1/400 X	+/--	+++	-	+++	-	+/--	++	+/-	-	-	++++	-	+/----	+
1/200 X	+/--	+++	+	+++	-	-	+	+/-	-	-	++++	-	+/-----	+
1/100 X †	-	++	-	++	-	-	+	f++>b	-	-	+++	-	-	+
1/64 X	-	-	-	+	-	-	+	-	+/-	+	+	-	-	+
1/32 X	+/--	-	-	+/-	-	-	+	+/--	-	-	+	-	-	+
1/16 X	+/--	-	-	+/-	-	-	+	+/-	-	-	+	-	-	-
1/8 X	+/--	-	-	-	-	-	+	-	-	-	-	-	-	-
1/4 X	+/-	-	-	-	-	-	-	+/--	-	-	-	-	-	-
1/2 X	+/--	-	-	-	-	-	+	-	-	-	-	-	-	+
1X ‡ (100 ppm)	+/-----	-	-	-	-	-	+	+/-----	-	-	-	-	-	+

X = concentración diluida; C = estructuras geométricas autoensambladas similares a chips; F = filamentos; f > b = mayor contaminación fúngica que contaminación bacteriana; D = Días de incubación; + = concentración estándar aplicable para agua potable; † = concentración para desinfección (proceso aséptico para instrumentos quirúrgicos)

Tabla 10

**Peróxido de Hidrógeno, H2O2. Estudio dependiente de la dosis con incubación de las vacunas de ARNm contra la Covid-19**

Cultivo D	Pfizer			Moderna		
	D5	D105	D203	D5	D105	D203 (D217)
<b>Chips</b>	C	C	C	C	C	C
<b>Filamentos F</b>		F	F	F	F	F
<b>1/500X</b>	C++	C+/-	C +/----- (1~2Ds)	C +++	C+++ (3Ds)	C - +++ más largo
<b>1/200X</b>	C++	C+(1~ 2Ds)	-	C+++	C+++ (3Ds)	C +++++ (2~3Ds)
<b>1/100X (0.03%)</b>	C++	C++(2Ds)	C +/----- (Solo 1Ds) disrupción	C+++	C+++ (3Ds) F + S +	C + ( 2 ~ 3Ds ) ++ más corto

X = concentración diluida; C = ensamblaje geométrico tipo chip; Ds = dimensión; F = filamentos; S = espirales; D = días de incubación

Tabla 11

Estudio de Incubación de Vacunas de ARNm con Diversas Soluciones Minerales o Suplementarias

Vax	Pfizer									Moderna								
	D9			D36			D253			D9			D36			D253		
C/F/O	C	F	O	C	F	O	C	F	O	C	F	O	C	F	O	C	F	O
N/S	+++	-	NP	++++	-	-	+/-	+++	-	++	-	NP	+++	-	-	-	+	-
Agua de Si	+/-	-	-	+/-	+/-	NW	+	++	-	++	-	-	+	+	-	-	+	-
GNP2	+	-	-	+	-	-	++	++	f++	++	-	-	++	-	-	++	++	-
GNP3	+	-	-				-	+	-	+	-	-				-	++	-
GNP4	++	-	-				-	+	-	+	-	-				-	++	-
SNP	++	-	-	++	-	-	-	+/-	f+++	+++	+	-	+++	++	-	-	+	b++
EDTA	+	-	-	++	-	-	-	+/-	f++	++	-	-	++	-	-	-	+++	-
MICA	-	-	-	+/-	----		-	+/-	f+++	+/-	-	-	+/-	---	-	-	+/-	f++
¿Mirra?		¿ bub?		?	?	bub	?	?	Sólido									

C = fragmentos geométricos; F = filamentos; O = otros; b = contaminación bacteriana; f = contaminación fúngica; bub, NP = Nanopartículas; NW = nano-gusano en el fondo; Sólido = solidificación

Tabla 12

Análisis bioquímico de diversos medios de vacunas a lo largo del período de cultivo (vía U-stick)

Vacuna + Medio	Tipo de vacuna	Período de cultivo	Condición	Glucosa +/- ~ +++++ 100~2000mg/dl	Proteína +/-~++++ 10~1000mg/dl	pH 5,0 - 9,0	SO +~++++ 10/5-/250 ( GR / µl )	
1	P1NS	Pfizer 1	D266	CEM / 5G	+(250mg/dl)	-	6.0	-
2	P4NS	Pfizer 4	D266	CEM / 5G	+/(100mg/dl)	-	6.0	-
3	P1DW	Pfizer 1	D266	CEM / 5G	+(250mg/dl)	+/(10mg/dl)	6.0	+(10RBC/µl)
4	P1DW	Pfizer 1	D23	Durante la noche UV	-	++(100mg/dl)	6.0	+(10RBC/µl)
5	M1DW	Moderna 1	D224	-	+/(100mg/dl)	-	6.0	-
6	M1DW	Moderna 1	D23	Durante la noche UV	+/( 100 mg / dl )	-	6.0	-
7	M2DW	Moderna 2	D221	CEM / 5G	+++ (1000mg/dl)	-	6.0	++(50RBC/µl)
8	P1BS	Pfizer 1 (D27)	D1 (D27)	Durante la noche UV	-	+++ (300mg/dl)	9.0	+(10RBC/µl)
9	P1DW	Pfizer 1	D49	Durante la noche UV	-	++(100mg/dl)	6.0	+(10RBC/µl)
10	P1DW	Pfizer 1	D82	Durante la noche UV	-	-	6.0	+(10RBC/µl)
11	M1DW	Moderna 1	D45	Durante la noche UV	-	-	-	-
12	M1DW	Moderna 1	D245	-	-	-	-	-
13	P1BS	Pfizer1 ( D27 )	D26 ( D27 )	Durante la noche UV	-	+++ (300mg/dl)	9.0	-
14	N/S	Control	D0	-	-	-	6.0	-
15	P1DW	Pfizer 1	D0	-	+/( 100mg/dl)	-	6.0	+(10RBC/µl)
16	P2DW	Pfizer 2	D0	-	+/( 100mg/dl)	-	6.0	+(10RBC/µl)
17	P4DW	Pfizer 4	D0	-	+/( 100mg/dl)	-	6.0	++(50RBC/µl)
18	M1DW	Moderna 1	D0	-	+/( 100mg/dl)	-	6.0	+(10RBC/µl)
19	M2DW	Moderna 2	D0	-	+/( 100mg/dl)	-	6.0	+(10RBC/µl)

BS = Bicarbonato de Sodio; NS = solución salina fisiológica; DW = agua destilada; GNP = Oro coloidal; EMF / 5G = Exposición a campos electromagnéticos (Cargador inalámbrico) con \*streaming\* 5G; UV = Exposición a ultravioleta; P1, 2, 4 = Pfizer; M1, 2 = Vacuna Moderna; D = días de incubación

Tabla 13

Factores de Falsos Positivos y Negativos en el Análisis con Tiras Reactivas

	Glucosa	Proteína	pH	Sangre oculta
Falso positivo	Hipoclorito Oxidantes	Solución alcalina Amoniaco Clorhexidina (0,25 %)	Bacteria → Alcalina	Hipoclorito Peroxidasa
Falso negativo	Vit C (> 50mg %) Cetona Alta densidad Solución			Vit C (> 50mg %) Captopril (>100mg%)

→ = la contaminación bacteriana desencadena un estado alcalino

## Referencias

- AGC (2021). La planta de Heidelberg de AGC Biologics suministrará aún más ADN plasmídico para la vacuna de la COVID-19. AGC Biologics. <https://www.agcbio.com/news/agc-biologics-heidelberg-facility-to-further-supply-plasmid-dna-for-covid-19-vaccine>
- Alamoudi, A., Celik, A., y Eltawil, A.M. (2021). Esquemas de acceso al canal corporal capacitivo de eficiencia energética para el Internet de los Cuerpos," *2021 IEEE Global Communications Conference (GLOBECOM)* , <https://ieeexplore.ieee.org/document/9685810>
- Alavi, S.H., y Kheradvar, A. (2012). Andamio de malla metálica para la ingeniería tisular de membranas . *Tissue Eng Part C Methods* , 18(4):293-301. <https://www.ncbi.nlm.nih.gov/pmc/articles/PMC3311880/>
- Akyildiz, I. F., y Jornet, J. M. (2010). El internet de las nanosas. *IEEE Wireless Communications* , 17(6):58-63. <https://ianakyildiz.com/bwn/surveys/nanothings.pdf>
- Alavi, S.H., Kheradvar, A. (2012). Andamio de malla metálica para la ingeniería tisular de membranas. *Tissue Eng Part C Methods* , 18(4):293-301. <https://www.ncbi.nlm.nih.gov/pmc/articles/PMC3311880/>
- Anderson, M. (2022). El fenómeno MAC y la red intracorpórea de nanocomunicaciones: una revisión. *Rumble*. <https://rumble.com/v15a4r1-the-mac-phenomenon-in-people-vaccinated-from-covid19.html>
- Bailey, M. (2022). Vacunas COVID: un curioso descubrimiento sobre la cuestión del óxido de grafeno. La verdad sale a la luz. <https://drsambailey.com/resources/videos/vaccines/nz-scientist-examines-pfizer-jab-under-the-microscope/>
- Bailey, S. (2022). Vacunas COVID: un curioso descubrimiento sobre la cuestión del óxido de grafeno. Dr. Sam Bailey. <https://drsambailey.com/covid-vaccines-a-curious-discovery-on-the-graphene-oxide-question/>
- Balghusoon, A. O., y Mahfoudh, S. (2020). Protocolos de enrutamiento para redes inalámbricas de nano-sensores e internet de las nanosas: un estudio exhaustivo. *IEEE Access* , 8 , 200724-200748. <https://ieeexplore.ieee.org/stamp/stamp.jsp?arnumber=9247091>
- Balasubramaniam, S., y Kangasharju, J. (2013). Haciendo realidad el Internet de las nanosas: desafíos, soluciones y aplicaciones. *Computer*, 46 , 62-68. <https://www.computer.org/csdl/magazine/co/2013/02/mco2013020062/13rRUxNmPHo>
- Beattie, K. A. (2021). *Análisis bayesiano mundial del impacto causal de la administración de vacunas en las muertes y los casos asociados a la COVID-19: un análisis de macrodatos de 145 países* . [https://www.researchgate.net/publication/356248984\\_Worldwide\\_Bayesian\\_Causal\\_Impact\\_Analysis\\_of\\_Vaccine\\_Administration\\_on\\_Deaths\\_and\\_Cases\\_Associated\\_with\\_COVID-19\\_A\\_BigData\\_Analysis\\_of\\_145\\_Countries](https://www.researchgate.net/publication/356248984_Worldwide_Bayesian_Causal_Impact_Analysis_of_Vaccine_Administration_on_Deaths_and_Cases_Associated_with_COVID-19_A_BigData_Analysis_of_145_Countries)
- Beattie, K.A. (2024) Un resumen ejecutivo del número especial de IJVTPr — Las vacunas fueron la “pandemia de COVID-19”: una actualización del análisis bayesiano mundial de Beattie sobre los efectos de las inyecciones experimentales de COVID-19 en las muertes, los casos y el exceso de mortalidad en 210 países y 38 regiones. *International Journal of Vaccine Theory, Practice, and Research* , Por determinar.
- Betal, S., Saha, A.K., Ortega, E., Dutta, M., Ramasubramanian, A.K., Bhalla, A.S. y Guo, R. (2018) . Nanorrobot magnetoeléctrico núcleo-cubierta: una sonda controlada remotamente para la manipulación celular dirigida. *Scientific Reports*, 8 , Artículo 755. <https://doi.org/10.1038/s41598-018-20191-w>
- Bigtree, D. y Cole, R. (12 de diciembre de 2022). La investigación de The Highwire sobre las vacunas contra la COVID. *The Highwire* . <https://thehighwire.com/ark-videos/the-highwires-lab-investigation-of-covid-vaccines/>
- Blaylock, R. L. (2021). Excitotoxicidad (Inmunoexcitotoxicidad) como componente crítico de la reacción de tormenta de citoquinas en infecciones virales pulmonares, incluyendo el SARS-Cov-2. *International Journal of Vaccine Theory, Practice, and Research* , 1 (2), 223–242. <https://doi.org/10.56098/ijvtpr.v1i2.14>
- Blaylock, R. L. (2022a). Respuestas a los comentarios sobre mi artículo: “Actualización sobre la COVID: ¿Cuál es la verdad?” *Surgical Neurology International* , 13 , 316. [https://doi.org/10.25259/SNI\\_578\\_2022](https://doi.org/10.25259/SNI_578_2022)
- Blaylock, R. L. (2022b). Las “vacunas” contra la COVID-19: ¿Cuál es la verdad? *International Journal of Vaccine Theory, Practice, and Research* , 2 (2), 595–602. <https://doi.org/10.56098/ijvtpr.v2i2.57>

- Burke, P., y Rutherglen, C. (2010). Hacia un sistema RFID implantable de un solo chip: ¿Es posible una radio de una sola célula? *Biomedical Microdevices*, 12(4), 589-596. <https://doi.org/10.1007/s10544-008-9266-4>
- Burkhardt, A. (2022) Notas y recomendaciones para la realización del examen post mortem (autopsia) de personas fallecidas en relación con la vacunación contra la COVID. *doctors 4 covidethics.org* <https://doctors4covidethics.org/wp-content/uploads/2022/03/autopsy-directions-revised.pdf>
- Campra, P. (2021a). Detección de grafeno en las vacunas contra la COVID-19. Contranálisis de las vacunas contra la COVID. [https://www.researchgate.net/publication/355979001\\_DETECTION\\_OF\\_GRAPHENE\\_IN\\_COVID19\\_VACCINES](https://www.researchgate.net/publication/355979001_DETECTION_OF_GRAPHENE_IN_COVID19_VACCINES)
- Campra, P. (2021b). Microestructuras en las vacunas contra la COVID: ¿cristales inorgánicos o red de nanosensores inalámbricos? Contranálisis de las vacunas contra la COVID. [https://www.researchgate.net/publication/356507702\\_MICROSTRUCTURES\\_IN\\_COVID\\_VACCINES\\_inorganic\\_crystals\\_or\\_Wireless\\_Nanosensors\\_Network](https://www.researchgate.net/publication/356507702_MICROSTRUCTURES_IN_COVID_VACCINES_inorganic_crystals_or_Wireless_Nanosensors_Network)
- Cao, S., Shao, J., Xia, Y., Che, H., Zhong, Z., Meng, F., van Hest, J.C.M., Abdelmohsen, L.K.E.A., Williams, D.S. (2019). Programación molecular de nanogusanos biodegradables mediante cambio de morfología inducido iónicamente hacia portadores terapéuticos asimétricos. *Small*. 15(38). <https://onlinelibrary.wiley.com/doi/full/10.1002/smll.201901849>
- 849 Celik, A., Khaled N. Salama, K.N., y Ahmed M. Eltawil, A.M. (2022). Internet de los cuerpos: un estudio sistemático sobre la caracterización de la propagación y el modelado de canales. *IEEE Internet of Things Journal*, 9(1):321-345. <https://ieeexplore.ieee.org/stamp/stamp.jsp?arnumber=9490369>
- Classen, J. B. (2021) Vacunas basadas en ARN contra la COVID-19 y el riesgo de enfermedad priónica. *Microbiología y Enfermedades Infecciosas*, 5, 1-3. <https://principia-scientific.com/covid-19-rna-based-vaccines-and-the-risk-of-prion-disease/>
- Classen, J. B. (2023). Posibles tratamientos para la enfermedad priónica inducida por la vacuna contra la COVID. *Avances recientes en ensayos clínicos*, 3 (2). <https://doi.org/10.33425/2771-9057.1024>
- Cruz Alvarado, M. A., & Bazán, P. (2019). Comprensión del Internet de las Nanocosas: visión general, tendencias y desafíos. *E-Ciencias de la Información*, 9(1), 152-182. <https://www.redalyc.org/journal/4768/476862662008/476862662008.pdf>
- Dambri, O. A., Cherkaoui, S., y Makrakis, D. (2022). Diseño y evaluación de un receptor para redes de nanocomunicación cableadas. *IEEE Transactions on NanoBioscience*. <https://arxiv.org/pdf/2009.11805.pdf>
- Dasdag, S., Akdag, M.Z., Erdal, M.E., Erdal, N., Ay, O.I., Ay, M.E., Yilmaz, S.G., Tasdelen, B., Yegin, K. (2015). Efectos de la radiación de radiofrecuencia de 2,4 GHz emitida por equipos Wi-Fi en la expresión de microARN en tejido cerebral. *Int J Radiat Biol*, 91(7):555-61. <https://pubmed.ncbi.nlm.nih.gov/25775055/>
- Dhuli, M.C., Medori, C., Micheletti, K., Donato, F., Fioretti, A., Calzoni, A., Praderio, M.G., De Angeli, G., Arabia, S., Cristoni, S., Nodari, M. (2023). Presencia de proteína espiga viral y proteína espiga vacunal en el suero sanguíneo de pacientes con síndrome de COVID persistente. *European Review for Medical and Pharmacological Sciences*, 27:13-19. <https://www.europeanreview.org/wp/wp-content/uploads/013-019-2.pdf>
- Diblasí, L. y Sangorrín (2024). Análisis de inyecciones contra la COVID-19 — 50 elementos químicos no declarados, óxido de grafeno, partículas fluorescentes – Conversación con la biotecnóloga Lorean Diblasí. Entrevista con Ana María Mihálcea. <https://anamihalceamdphd.substack.com/p/analysis-of-covid-19-injections-50>
- Dubuc, B., Quiniou, J.F., Roques-Carmes, C., Tricot, C., y Zucker, S. W. (1989). Evaluación de la dimensión fractal de perfiles. *Phys. Rev. A* 39, 39(3):1500. <https://journals.aps.org/prab/abstract/10.1103/PhysRevA.39.1500>
- 9.1500 El-Husseiny, H.M., Mady, E.A., Hamabe, L., Abugomaa, A., Shimada, K., Yoshida, T., Tanaka, T., Yokoi, A., Elbadawy, M., Tanaka, R. (2022) Hidrogeles inteligentes/sensibles a estímulos: plataformas de vanguardia para la ingeniería de tejidos y otras aplicaciones biomédicas. *Materials Today Bio*. <https://www.x-mol.net/paper/article/1469390524673204224>
- Endo, Y. (2021). Desarrollo de un sistema de síntesis de proteínas acelular para uso práctico, *Actas de la Academia de Japón, Serie B, 2021, Volumen 97, Número 5*, Páginas 261-276 [https://www.jstage.jst.go.jp/article/pjab/97/5/97\\_PJA9705B-03/\\_html/-char/en](https://www.jstage.jst.go.jp/article/pjab/97/5/97_PJA9705B-03/_html/-char/en)
- FDA. 2021. Carta de Aprobación BLA. Administración de Alimentos y Medicamentos. <https://www.fda.gov/media/151710/download>

- Finn, T.M. (2011). Requisitos de la FDA de EE. UU. para las pruebas de seguridad y potencia de productos de vacunas humanas *Procedia in Vaccinology*. 5:137-140. <https://www.sciencedirect.com/science/article/pii/S1877282X11000282>
- Gat, I., Kedem, A., Dviri, M., Umanski, A., Levi, M., Hourvitz, A., Baum, M. (2022). La vacunación contra la COVID-19 con BNT162b2 deteriora temporalmente la concentración de esperma y el recuento total de espermatozoides móviles en donantes de semen. *Andrología*, Sep;10(6):1016-1022. <https://www.ncbi.nlm.nih.gov/pmc/articles/PMC9350322/>
- Hagimă, G. (2023a). Entrevista. Microscopía electrónica de Comirnaty, vacunas Moderna C19, anestésicos dentales y Pneumovax. <https://rubble.com/v3xti7w-electron-microscopy-of-comirnaty-moderna-c19-shots-dental-anesthetics-and-pn.html>
- Hagimă, G. (2023b). El peligro en el aire: investigación de análisis de agua de lluvia de Rumanía muestra nanopartículas magnéticas y filamentos. Comparación con el análisis de agua de lluvia de Clifford Carnicom. <https://www.activenews.ro/opinii/EXCLUSIV-ActiveNews-CE-SE-AFLA-IN-APA-DE-PLOAIE-PERICOLUL-DIN-AER.-Dr.-Geanina-Hagima-Apel-catre-cercetatorii-romani-dar-si-catre-patriotii-din-structurile-de-aparare-si-informatii.-FOTO-prin-microscopie-electronica-si-VIDEO-183736>
- Hughes, D. A. (2022). ¿Qué contienen las denominadas “vacunas” contra la COVID-19? Parte 1: evidencia de un crimen global contra la humanidad. *International Journal of Vaccine Theory, Practice, and Research*, 2 (2), 455-586. <https://doi.org/10.56098/ijvtpr.v2i2.52>
- Idrees, D. y Kumar, V. (2021). Interacciones de la proteína Spike del SARS-CoV-2 con proteínas amiloidogénicas: posibles pistas para la neurodegeneración. *Biochemical and Biophysical Research Communications*, 554, 94-98. <https://doi.org/10.1016/j.bbrc.2021.03.100>
- Idrees, D., Kumar, V., (2021). Interacciones de la proteína Spike del SARS-CoV-2 con proteínas amiloidogénicas: posibles pistas para la neurodegeneración. *Biochem Biophys Res Commun*. 2021 May 21;554:94-98. doi: 10.1016/j.bbrc.2021.03.100
- Ilori, A.O., Gbadamosi, O.A., Ibitola, G.A., Ajanaku, O. (2019). Evaluaciones de riesgo de la radiación de campos magnéticos de ordenadores portátiles alimentados por corriente alterna y batería. *American Journal of Science and Technology*. 6(2):14-19. <http://www.aascit.org/journal/archive2?journalId=902&paperId=7628>
- Jing, Y., Peng, H., y Liu, Z. (2023). WBNN: un algoritmo de selección del vecino más próximo basado en pesos para redes de área corporal inalámbricas. *Soft Computing*. 28:1803-1818. <https://link.springer.com/article/10.1007/s00500-023-09511-z>
- Johnson, L., Broudy, D. y Hughes, D.A. (2024a) Bajando el transhumanismo a la Tierra, Parte 1: Operaciones de inteligencia militar enmascaradas tras la falsa promesa de la trascendencia. *Propaganda in Focus*. <https://propagandainfocus.com/bringing-transhumanism-down-to-earth-part-1-military-intelligence-operations-cloaked-in-the-false-promise-of-transcendence/>
- Johnson, L., Broudy, D. y Hughes, D.A. (2024b) Futuros transhumanistas, Parte 2: La humanidad en el punto de mira. *Propaganda in Focus*. <https://propagandainfocus.com/transhumanist-futures-part-2-humanity-in-the-crosshairs/>
- Johnson, L., Broudy, D. y Hughes, D.A. (2024c) Operaciones Militares con Disfraces Civiles, Parte 3: Bio-Nano Gobernanza y Términos de Uso para Humanos 2.0. *Propaganda in Focus*. <https://propagandainfocus.com/military-operations-in-civilian-disguise-part-3-bio-nano-governance-and-terms-of-use-for-humans-2-0/>
- Johnson, L., Broudy, D. y Hughes, D.A. (2024da) ¿Quién maneja los hilos en la OMS? Inyecciones contra la COVID e Internet de las Cosas Bio-Nano, Parte 4: Pruebas de nuevos nodos humanos de conectividad. *Propaganda in Focus*. <https://propagandainfocus.com/whos-pulling-the-strings-covid-injections-and-the-internet-of-bio-nano-things-part-4-testing-new-human-nodes-of-connectivity/>
- Jornet, J.M. y Akyildiz, I.F. (2014). Nanoantena plasmónica basada en grafeno para la comunicación en banda de terahercios en nanorredes, *IEEE Journal on Selected Areas in Communications*, 31(12):685-694. [https://web.archive.org/web/20170810210901id\\_/http://bwn.ece.gatech.edu/papers/2014/c1.pdf](https://web.archive.org/web/20170810210901id_/http://bwn.ece.gatech.edu/papers/2014/c1.pdf)
- Kashani, Z.A., Pakzad, R., Fakari, F.R., Haghparast, M.S., Abdi, F., Kiani, Z., Talebi, A., Haghgoo, S.M. (2023). Exposición a campos electromagnéticos y anomalías fetales e infantiles: revisión sistemática y metaanálisis. *Open Med (Wars)*, 12;18(1):20230697. <https://www.ncbi.nlm.nih.gov/pmc/articles/PMC10183723/>
- Universidad Rey Abdalá. (2021). Una red de dispositivos de monitorización corporal que utiliza nuestro propio tejido como base para el internet de los cuerpos. *Physics.Org*. <https://phys.org/news/2021-11-network-body-devices-tissue-basis.html>

- Kingston, K. 2023. (2023). El ARNm es un Sistema Operativo: Plataforma Tecnológica según el sitio web de Moderna. El Informe Kingston. <https://karenkingston.substack.com/p/mrna-is-an-operating-system-technology>
- Khan, T., Civas, M., Cetinkaya, O., Abbasi, N. A. y Akan, O. B. (2020). Redes de nanosensores para la asistencia sanitaria inteligente. En *Nanosensors for Smart Cities* (pp. 387-403). *Elsevier*. [https://www.researchgate.net/profile/Oktay-Cetinkaya-2/publication/339260608\\_Nanosensor\\_networks\\_for\\_smart\\_health\\_care/links/600c738292851c13fe3206c6/Nanosensor-networks-for-smart-health-care.pdf](https://www.researchgate.net/profile/Oktay-Cetinkaya-2/publication/339260608_Nanosensor_networks_for_smart_health_care/links/600c738292851c13fe3206c6/Nanosensor-networks-for-smart-health-care.pdf)
- Kyrie, V. y Broudy, D. (2022). Cyborgs R Us: ¿El panóptico bionano de cuerpos inyectados? *International Journal of Vaccine Theory, Practice, and Research*, 2 (2), 355-383. <https://doi.org/10.56098/ijvtp.v2i2.49>
- Lee, S.J., Jung, C. A., Choi, K., y Kim, S. (2015). Diseño de redes inalámbricas de nanosensores para aplicación intrabodily. *International Journal of Distributed Sensor Networks*, 11(7), Art. no. 176761. [http://csc.columbusstate.edu/lee/publications/IJDSN\\_176761-2015.pdf](http://csc.columbusstate.edu/lee/publications/IJDSN_176761-2015.pdf)
- Leung, W.-Y., Wu, H.H.L., Floyd, L., Ponnusamy, A., Chinnadurai, R., (2023). Infección por COVID-19 y vacunación, y su relación con la amiloidosis: ¿Qué sabemos actualmente? *Vaccines*, 11(7):1139. <https://www.mdpi.com/2076-393X/11/7/1139>
- Li, L., Yu, Z., Liu, J., Liu, J., Yang, M., Shi, G., Feng, Z., Luo, W., Ma, H., Guan, J., Mou, F. (2023). Nanorrobots fotónicos reactivos en enjambre para la cartografía microambiental dirigida a objetivos móviles y tratamiento fototérmico guiado por cartografía. *Nano-Micro Lett.* 15, 141 <https://doi.org/10.1007/s40820-023-01095-5>
- Lyons-Weiler, J. (2020). Es probable que la sensibilización patogénica contribuya a la enfermedad grave y crítica, así como a la mortalidad en COVID-19, a través de la autoinmunidad. *Journal of Translational Autoimmunity*, 3, 100051. <https://doi.org/10.1016/j.jtauto.2020.100051>
- Maervoet, V.E.T. y Briers, Y. (2017) Biología sintética de proteínas modulares. *Bioengineered*, Taylor & Francis. 8, 196-202. <https://doi.org/10.1080/21655979.2016.1222993>
- Marik, P. (2023). Estudio impactante sobre el ‘cambio de marco ribosómico’ de las vacunas. Epoch News. [https://www.theepochtimes.com/epochtv/bombshell-study-on-vaccine-ribosomal-frameshifting-dr-paul-marik-atlnow-5548921?&utm\\_medium=AmericanThoughtLeaders&utm\\_source=SocialM&utm\\_campaign=PaulMarik&utm\\_content=12-18-2023](https://www.theepochtimes.com/epochtv/bombshell-study-on-vaccine-ribosomal-frameshifting-dr-paul-marik-atlnow-5548921?&utm_medium=AmericanThoughtLeaders&utm_source=SocialM&utm_campaign=PaulMarik&utm_content=12-18-2023)
- Marsudi, M.A., Ariski, R.T., Wibowo, A., Cooper, G., Barlian, A., Rachmantyo, R., Bartolo, P.J.D.S. (2021). Andamios Electroactivos Conductivos a Base de Polímeros para Aplicaciones de Ingeniería de Tejidos: Progreso Actual y Desafíos desde las Perspectivas de los Biomateriales y la Fabricación. *Int. J. Mol. Sci.* 22(21):11543. <https://doi.org/10.3390/ijms222111543>
- Martin, A. (2024). *The Messenger*. Connecticut College. <http://www.conncoll.edu/news/cc-magazine/past-issues/2021-issues/winter-2021/the-messenger/>
- Martins, N. R., Angelica, A., Chakravarthy, K., Svidinenko, Y., Boehm, F. J., Opris, I., Lebedev, M. A., Swan, M., Garan, S. A., Rosenfeld, J. V., Hogg, T., y Freitas, R. A. (2019). Interfaz cerebro/nube humana. *Frontiers in Neuroscience*, 13, Artículo 112. <https://doi.org/10.3389/fnins.2019.00112>
- McKernan, K., Helbert, Y., Kane, L. T., & McLaughlin, S. (2023). *La secuenciación de las vacunas de ARNm bivalentes de Moderna y Pfizer revela cantidades de nanogramos a microgramos de ADNds del vector de expresión por dosis*. OSF. <https://doi.org/10.31219/osf.io/b9t7m>
- Mead, M.N., Seneff, S., Wolfinger, R., Rose, J., Denhaerynck, K., Kirsch, S. et al. (2024a). Vacunas de ARNm contra la COVID-19: Lecciones aprendidas de los ensayos de registro y la campaña de vacunación global. *Cureus*, *Cureus*. 16. <https://doi.org/10.7759/cureus.52876>
- Mead, M. N., Seneff, S., Wolfinger, R., Rose, J., Denhaerynck, K., Kirsch, S., & McCullough, P. A. (2024b). Vacunas de ARNm modificadas para la COVID-19, Parte 1: Lecciones aprendidas de los ensayos clínicos, la vacunación masiva y el complejo biofarmacéutico. *International Journal of Vaccine Theory, Practice, and Research*, 3 (1), 1112-1178. <https://doi.org/10.56098/fdrasy50>
- Mead, M. N., Seneff, S., Wolfinger, R., Rose, J., Denhaerynck, K., Kirsch, S., & McCullough, P. A. (2024c). Vacunas de ARNm modificadas para la COVID-19, Parte 2: Lecciones aprendidas de los ensayos clínicos, la vacunación masiva y el complejo biofarmacéutico. *Revista Internacional de Teoría, Práctica e Investigación sobre Vacunas*, 3 (1), ???

- Moderna. (2022). Moderna anuncia la administración de las primeras dosis a participantes en el estudio de fase 2/3 de la vacuna candidata contra la COVID-19 en población pediátrica. [https://wikispooks.com/wiki/Moderna\\_COVID-19\\_vaccine#cite\\_note-9](https://wikispooks.com/wiki/Moderna_COVID-19_vaccine#cite_note-9)
- Moon, J.H. (2020). Efectos de los campos electromagnéticos en la salud infantil. *Clin Exp Pediatr*, 63(11):422-428. <https://www.e-cep.org/journal/view.php?doi=10.3345/cep.2019.01494>
- Mousavi, S.M., Hashemi, S.A., Gholami, A., Mazraeadoost, S., Chiang, W-H., Arjmand, O., Omidifar, N., Babapoor, A. (2021). Detección precisa de glucosa en sangre mediante puntos cuánticos de grafeno dopado con nitrógeno para un control estricto de la diabetes, *Journal of Sensors*, vol. 2021 <https://doi.org/10.1155/2021/5580203>
- Mulroney, T.E., Pöyry, T., Yam-Puc, J.C., Rust, M., Harvey, R.F., Kalmar, L. et al. (2023) N1-metilpseudouridilación del ARNm causa +1 desplazamiento del marco de lectura ribosomal. *Nature*, 625, 189–94. <https://doi.org/10.1038/s41586-023-06800-3>
- Murakami, H. (2023). El profesor Murakami analiza una secuencia de ADN promotora del cáncer en la vacuna de Pfizer. Rumble. <https://rumble.com/v2m9732-malicious-prof.-murakami-discusses-cancer-promoting-dna-sequence-found-in-p.html>
- Noh, Y.K., Du, P., Kim, I.G., Ko, J., Kim, S.W., Park, K. (2016). Andamio de malla polimérica combinado con MEC derivado de células para la osteogénesis de células madre mesenquimales humanas. *Biomater Res*. <https://pubmed.ncbi.nlm.nih.gov/27057347/>
- Noor-A-Rahim, M., John, J., Firyaguna, F., Sherazi, H.H.R., Kushch, S., Vijayan, A., O'Connell, E., Pesch, D., O'Flynn, B., O'Brien, W., Hayes, M., Armstrong, E. (2022). Comunicaciones Inalámbricas para la Fabricación Inteligente e IoT Industrial: Tecnologías Existentes, 5G y Más Allá. *Sensors (Basilea)*. 23(1):73 <https://pubmed.ncbi.nlm.nih.gov/36616671/>
- Nyström, S., & Hammarström, P. (2022). Amiloidogénesis de la proteína espiga del SARS-CoV-2. *Journal of the American Chemical Society*, 144 (20), 8945–8950. <https://doi.org/10.1021/jacs.2c03925>
- Perez, J.-C., Moret-Chalmin, C. y Montagnier, L. (2023) Surgimiento de una nueva enfermedad de Creutzfeldt-Jakob: 26 casos de la versión humana de la enfermedad de las vacas locas, pocos días después de una inyección contra la COVID-19. *International Journal of Vaccine Theory, Practice, and Research*, 3, 727–70. <https://doi.org/10.56098/ijvtpr.v3i1.66>
- Reuters. (9 de febrero de 2021). Verificación de datos: La vacuna contra la COVID-19 no es un sistema operativo diseñado para programar a los humanos. *Reuters*. <https://www.reuters.com/article/world/fact-check-the-covid-19-vaccine-is-not-an-operating-system-designed-to-program-idUSKBN2A912Y/>
- Russell, C.L. (2018). Expansión de las telecomunicaciones inalámbricas 5G: Implicaciones para la salud pública y el medio ambiente. *Environ Res*, 165:484–495. <https://pubmed.ncbi.nlm.nih.gov/29655646/>
- Santiago, D. (2022). Jugando a la ruleta rusa con cada inyección de COVID-19: el mortal juego global. *International Journal of Vaccine Theory, Practice, and Research*, 2 (2), 619–650. <https://doi.org/10.56098/ijvtpr.v2i2.36>
- Santiago, D. y Oller, J.W. (2023). Coágulos anormales y mortalidad por todas las causas durante el experimento pandémico : cinco dosis de la vacuna contra la COVID-19 son evidentemente letales para casi todos los participantes de Medicare. *International Journal of Vaccine Theory, Practice, and Research*, 3, 847–90. <https://doi.org/10.56098/ijvtpr.v3i1.73>
- Segalla, G. (2023a). Actividad adyuvante y riesgos toxicológicos de las nanopartículas lipídicas contenidas en las “vacunas de ARNm” contra la COVID-19. *International Journal of Vaccine Theory, Practice, and Research*, 3 (1), 1085–1102. <https://doi.org/10.56098/z1ydjm29>
- Segalla, G. (2023b). Citotoxicidad aparente y citotoxicidad intrínseca de los nanomateriales lipídicos contenidos en una vacuna de ARNm contra la COVID-19. *International Journal of Vaccine Theory, Practice, and Research*, 3 (1), 957–972. <https://doi.org/10.56098/ijvtpr.v3i1.84>
- Segalla, G. (2023c). Criticidad químico-física y potencial toxicológico de los nanomateriales lipídicos contenidos en una vacuna de ARNm contra la COVID-19. *International Journal of Vaccine Theory, Practice, and Research*, 3 (1), 787–817. <https://doi.org/10.56098/ijvtpr.v3i1.68>
- Seneff, S., Nigh, G., Kyriakopoulos, A.M., McCullough, P.A. (2022). Supresión inmune innata por las vacunas de ARNm contra el SARS-CoV-2: el papel de los G-cuádruplex, los exosomas y los microARN. *Food and Chemical Toxicology*, 164. <https://www.sciencedirect.com/science/article/pii/S027869152200206X?via%3Dihub>

- Shah KV. SV40 y cáncer humano: una revisión de datos recientes. *Int J Cancer*. 2007 Ene 15;120(2):215-23. doi: 10.1002/ijc.22425. PMID: 17131333.
- Shaw, C. A. (2017). *Dinámica neural de la enfermedad neurológica*. John Wiley & Sons, Inc. <https://doi.org/10.1002/9781118634523.refs>
- Shiu, B.C., Liu, Y.L., Yuan, Q.Y., Lou, C.W., Lin, J.H. (2022). Preparación y caracterización de sensores de gas basados en micro/nanofibras de PEDOT:PSS/TiO<sub>2</sub>. *Polymers (Basel)*. 14(9):1780. <https://pubmed.ncbi.nlm.nih.gov/35566945/>
- Espectroscopia y Campora, P. (2021) Detección de grafeno en vacunas contra la COVID-19. [https://www.researchgate.net/publication/355979001\\_DETECTION\\_OF\\_GRAPHENE\\_IN\\_COVID19\\_VACCINES](https://www.researchgate.net/publication/355979001_DETECTION_OF_GRAPHENE_IN_COVID19_VACCINES)
- Suberi, A., Grun, M. K., Mao, T., Israelow, B., Reschke, M., Grundler, J., Akhtar, L., Lee, T., Shin, K., Piotrowski-Daspit, A.S., Homber, R.J., Iwasak, A., Suh, H.W., y Saltzman, W.M. (2023). Las nanopartículas poliméricas transportan ARNm al pulmón para la vacunación mucosa. *Science Translational Medicine*, 15 (709), DOI: 10.1126/scitranslmed.abq0603
- Truong, N.P., Quinn, J.F., Whittaker, M.R., y Davis, T.P. (2016). Filomicelas poliméricas y nanogusanos: dos décadas de síntesis y aplicación. *Polymer Chemistry*, 26. <https://pubs.rsc.org/en/content/articlelanding/2016/py/c6py00639f>
- Vojdani, A., & Kharrazian, D. (2020). Posible reactividad cruzada antigénica entre el SARS-CoV-2 y tejido humano con un posible vínculo con un aumento de enfermedades autoinmunes. *Clinical Immunology (Orlando, Fla.)*, 217, 108480. <https://doi.org/10.1016/j.clim.2020.108480>
- Vojdani, A., Vojdani, E., & Kharrazian, D. (2021). Reacción de anticuerpos monoclonales humanos a proteínas del SARS-CoV-2 con antígenos tisulares: implicaciones para enfermedades autoinmunes. *Frontiers in Immunology*, 11, 617089. <https://doi.org/10.3389/fimmu.2020.617089>
- OMS, Organización Mundial de la Salud. 2021. Manual de Laboratorio de la OMS para el Examen y Procesamiento de Semen Humano. Sexta edición. <https://iris.who.int/bitstream/handle/10665/343208/9789240030787-eng.pdf?sequence=1>
- Woodruff, K. y Maerkl, S.J. (2016) Plataforma microfluídica de alto rendimiento para la transfección y el cultivo de células de mamíferos. *Scientific Reports*, Nature Publishing Group. 6, 23937. <https://doi.org/10.1038/srep23937>
- Xie, Y., Kawazoe, N., Yang, Y. y Chen, G. (2021). Preparación de andamios de colágeno con estructura de malla para ingeniería de tejidos. *Materials Advances*, 3, 1556-1564. <https://pubs.rsc.org/en/content/articlelanding/2022/MA/D1MA01166A>
- Yanowitz, S. (20 de septiembre de 2022a). Entrevista con Alexandra "Sasha" Latypova: Evidencia de estructuras autoensambladas en viales de inyección C19. <https://www.bitcute.com/video/kasL4PPvBTry/>
- Yanowitz, S. (30 de abril de 2022b). Entrevista con Alexandra "Sasha" Latypova: El análisis de sangre viva puede ayudar a identificar daños tanto en personas inyectadas como no inyectadas. <https://www.bitcute.com/video/9ZFHWKEYxlCa/>
- Yanowitz, S. (17 de febrero de 2023a). Entrevista con Maria Zee en Stew Peters Network: Sin censura — Shimon Yanowitz, ¡NUEVO! ¡La nanotecnología en personas inyectadas se ESTÁ EXTENDIENDO! <https://rumble.com/v29xlsq-live-8-uncensored-shimon-yanowitz-new-nanotech-in-injected-people-is-spread.html>
- Yanowitz, S. (19 de junio de 2023b). Presentación para Médicos por la Ética COVID: Shimon Yanowitz. <https://rumble.com/v2v3jix-shimon-yanowitz.html>
- Zhang, S., Chen, Y., Liu, H., Wang, Z., Ling, H., Wang, C. et al. (2020) Hidrogeles: los hidrogeles de PEDOT:PSS formados a temperatura ambiente posibilitan una bioelectrónica orgánica inyectable, blanda y reparable. *Advanced Materials*, 32, 2070005. <https://doi.org/10.1002/adma.202070005>
- Zhou, H., Mayorga-Martinez, C.C., Pané, S., Zhang, L. y Pumera, M. (2021). Microrobots y nanorobots accionados magnéticamente. *Chemical Reviews* 121(8):4999-5041. <https://pubs.acs.org/doi/10.1021/acs.chemrev.0c01234>